Le magnétisme nucléaire

Action d'un champ magnétique

Le phénomène de résonance magnétique

La relaxation

Le signal

Principe de l'écho de spin

Le contraste en T1, T2 et densité protonique

Mise en place des évènements d'une séquence

Les principes de l'IRM

"Intensif Remue Méninges"



B. KASTLER

Chef de service Radiologie Cardiaque et pulmonaire, sénologie et traitement de la douleur CHU Besançon Directeur UA 6834 Laboratoire I4SUniversité FC

- 1946 : principe de la RMN décrit par deux équipes celle de Bloch à Stanford et de Purcell à Harvard (prix Nobel de physique en 1952).
- 1950 -1970 : applications en chimie et en biochimie in vitro.
- 1971 : Damadian montre que les T1 et T2 des tissus normaux et cancéreux sont différents.
- 1973 : Lauterbur réalise les premières images de deux tubes remplis d'eau.
- 1976 : Moor et Hinshaw réalisent les premières images humaines.
- 1976 : Mansfield met au point une technique d'imagerie ultra-rapide qui ne cessera de s'améliorer : l'échoplanar.
- 1982 : USA, 1985 : France.
- 2003 : prix Nobel décerné à Lauterbur et Mansfield.

Nobel Prizes in Magnetic Resonance

1944



Isidor Isaac Rabi Noted Princip Physics

1952



Felix Bloch and Edward Mills Purcell maded Print In Physical



Richard R. Ernst Nation Print In Chamipton



Kurt Wüthrich Netted Prize in Chemistry.



Paul C. Lauterbur and Sir Peter Mansfield Nation from the Physiology or Healthies

1930s

Isidor Isaac Rahii

1940s

Felix Bloch Edward Mills Purcell

Nicolaas Bloembergen Robert Pound Edward Mills Purcell

Description of a Real Print Street Street of August Street Street

1950s

Erwin Hahn Former of the after only physical to receive support recommends

Richard R. Ernst Weston A. Anderson First that become empty of police SME rights prefers included annihily and facilities over antiferent ware small permits.

1960s

1970s

Allan M. Cormack Godfrey N. Hounsfield Command to the Command of States

Semigrants of the LT current offelt and monetication from projection, the forestime of crudy many augmentutes imaging system in and looks

Paul C. Lauterbur Sir Peter Mansfield

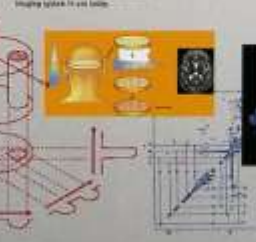
1980s Kurt Wüthrich

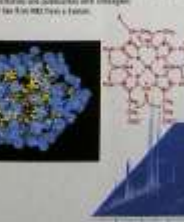
Strong of the effect of decomposite of the yipped of colors which extra to the expectable. Independent out of the excellent for the colors and the excellent for the











Timeline of the Chain of Research that Led to the Development of MRI

International Society for Magnetic Resonance in Medicine • 2118 Milyla Street, Suite 201, Berkeley, California 94704 USA • http://www.ismm.org

Sinaïa

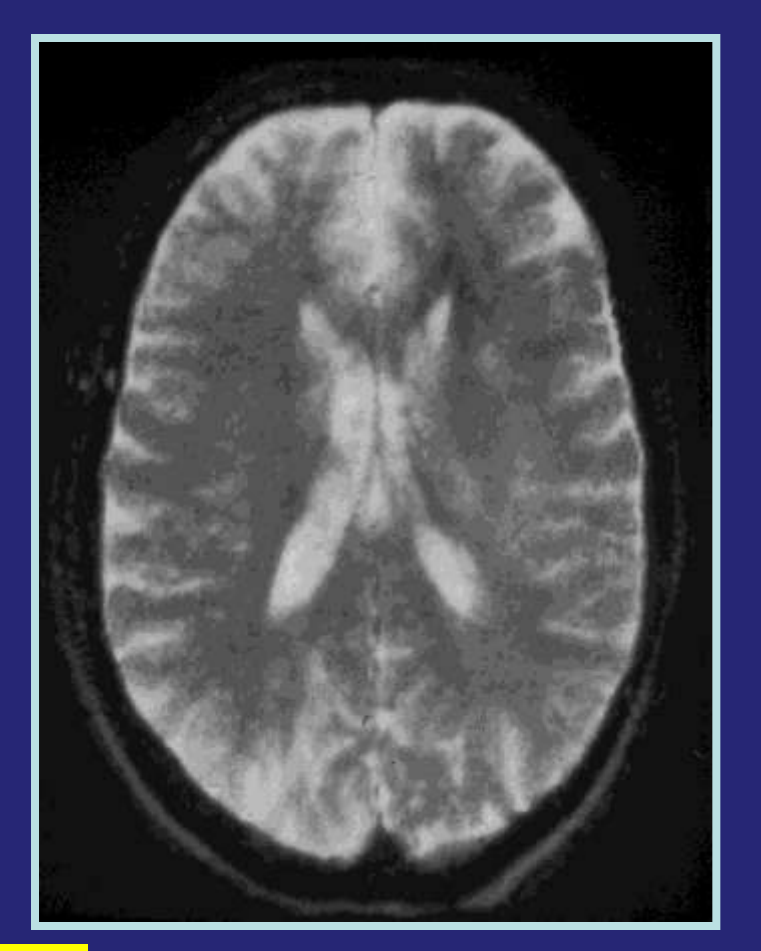
Summer School on MRI and MRS (20-22/06/2005)



(Bloch, Hansen) George Packard (1946)

- 1982 : USA, 1985 : FRANCE





Le magnétisme nucléaire

Action d'un champ magnétique

Le phénomène de résonance magnétique

La relaxation

Le signal

Principe de l'écho de spin

Le contraste en T1, T2 et densité protonique

Mise en place des évènements d'une séquence

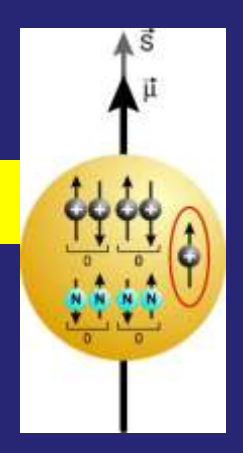
Magnétisme

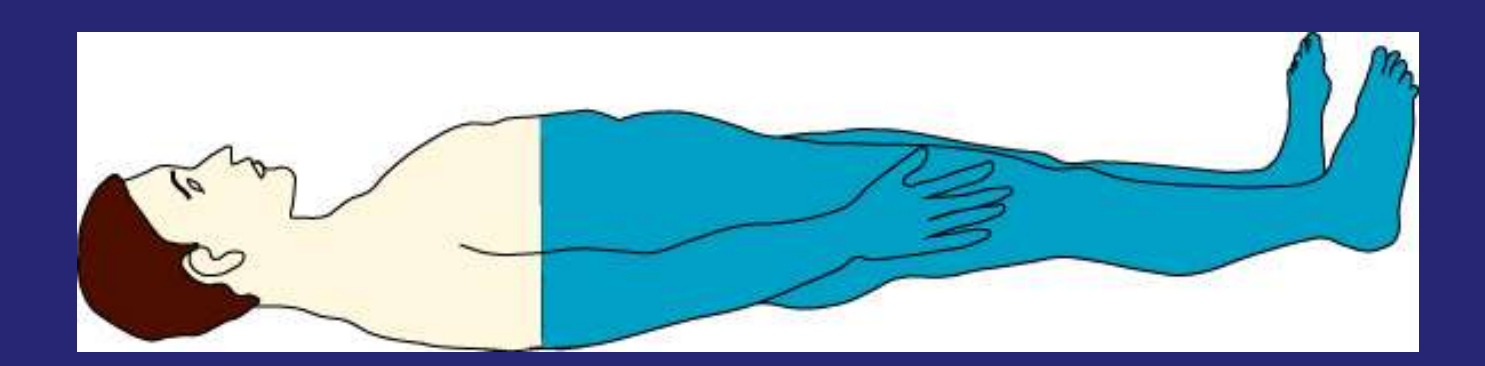
3 Niveaux:

- 1) Nucleaire
- 2) Champ magnétique statique Bo
- 3) Champ magnétique B1: onde RF

champ magnétique / électricité

L'organisme est constitué de 2/3 d'eau.





En imagerie, on va s'intéresser au noyau d'hydrogène ? (1 proton)

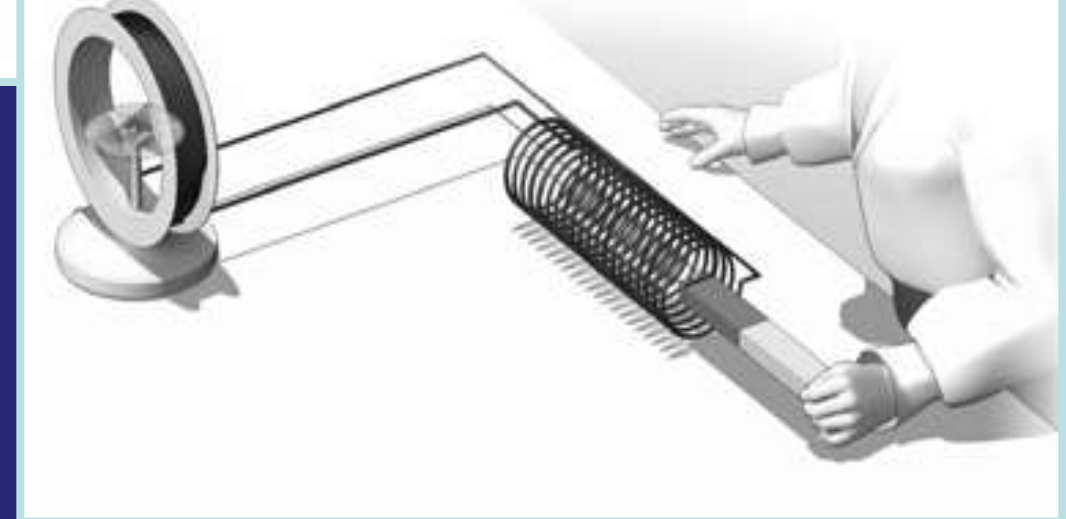
⇒ IRM « protonique ».

MAGNETISME NUCLEAIRE

 Réciprocité : magnétisme et déplacement d'une charge électrique

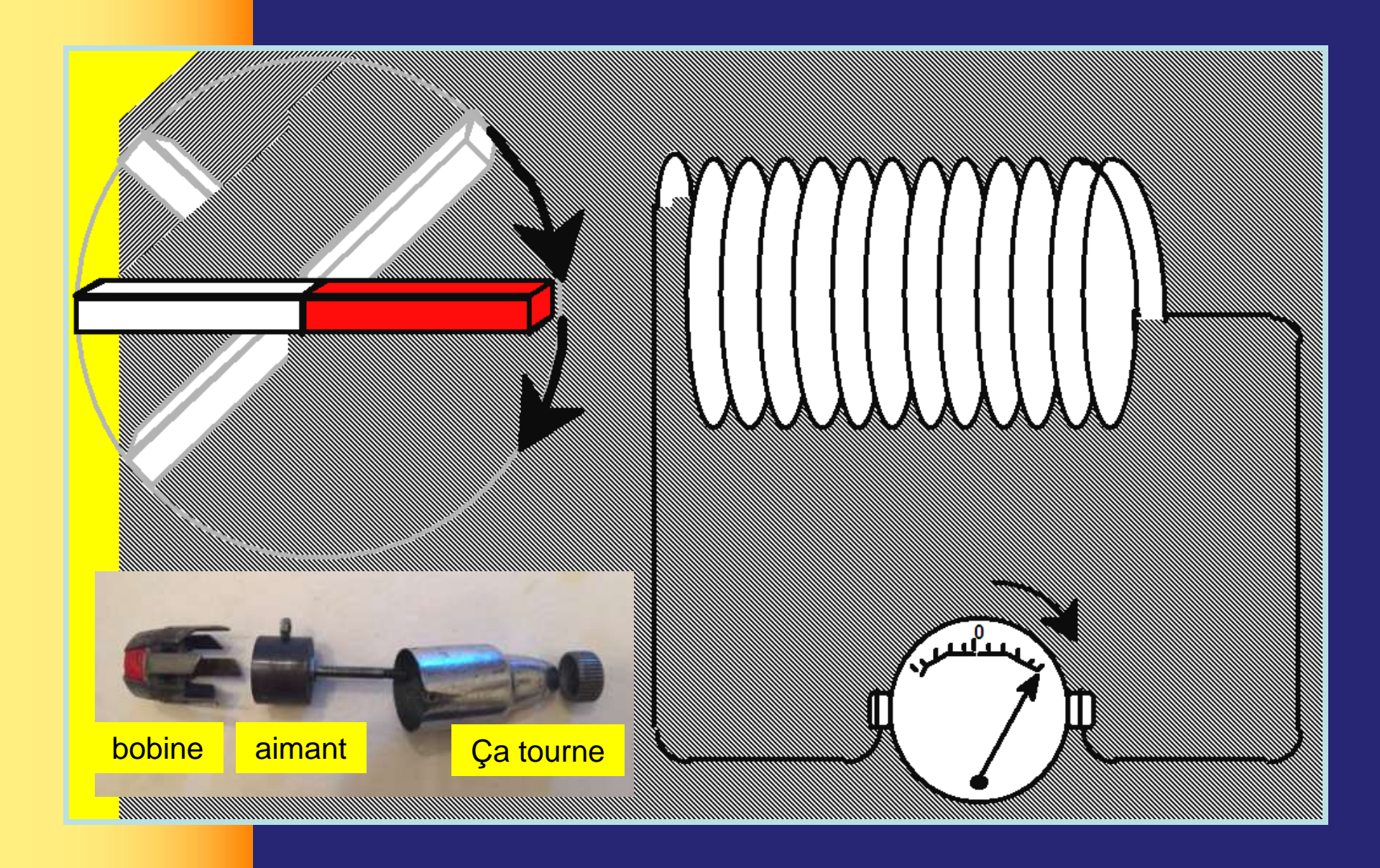
Oersted 1820 Faraday 1831





MAGNETISME NUCLEAIRE

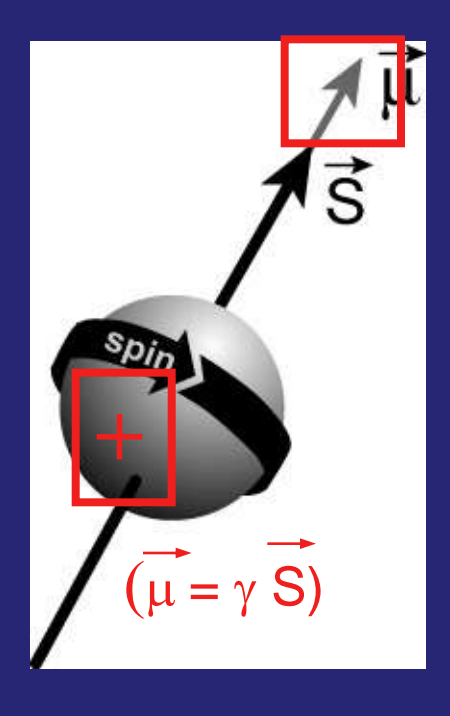
- Réciprocité magnétisme et déplacement d'une charge électrique:
- Un courant électrique (déplacement d'électrons de charge négative) dans un fil conducteur induit une force magnétique ou champ magnétique (Bo).
- De même, un champ magnétique en mouvement engendre un courant électrique (Signal IRM).
- Dynamo de bicyclette moteur électrique.



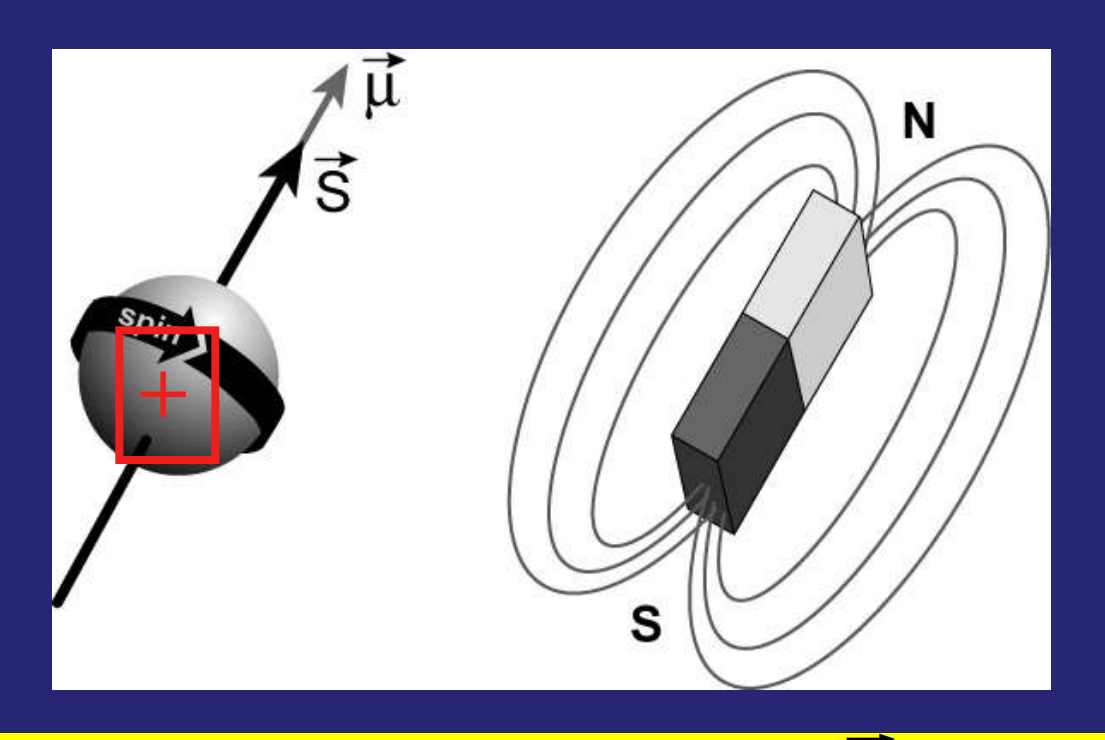
1) Magnétisme nucléaire

- -Noyau constitué de protons
- -Rotation autour de leur axe possèdent un moment cinétique intrinsèque appelé *spin*, représenté par un vecteur S (propriété toupie).

Proton possède de plus une charge + qui en rotation induit autour d'elle un champ magnétique appelé moment magnétique, représenté par le vecteur d'aimantation microscopique μ . (S et μ)



protons petits aimants,



Soumis à un champ magnétique (B₀), ils vont s'aligner

-en prenant 2 orientations, en fonction de leur spin 1/2 (2*I* + 1 orientations pour un spin *I*)

Le magnétisme nucléaire

Action d'un champ magnétique

- Le champ statique Bo
- Répercussion sur un seul proton
- -Répercussion sur un échantillon de protons

Le phénomène de résonance magnétique

La relaxation

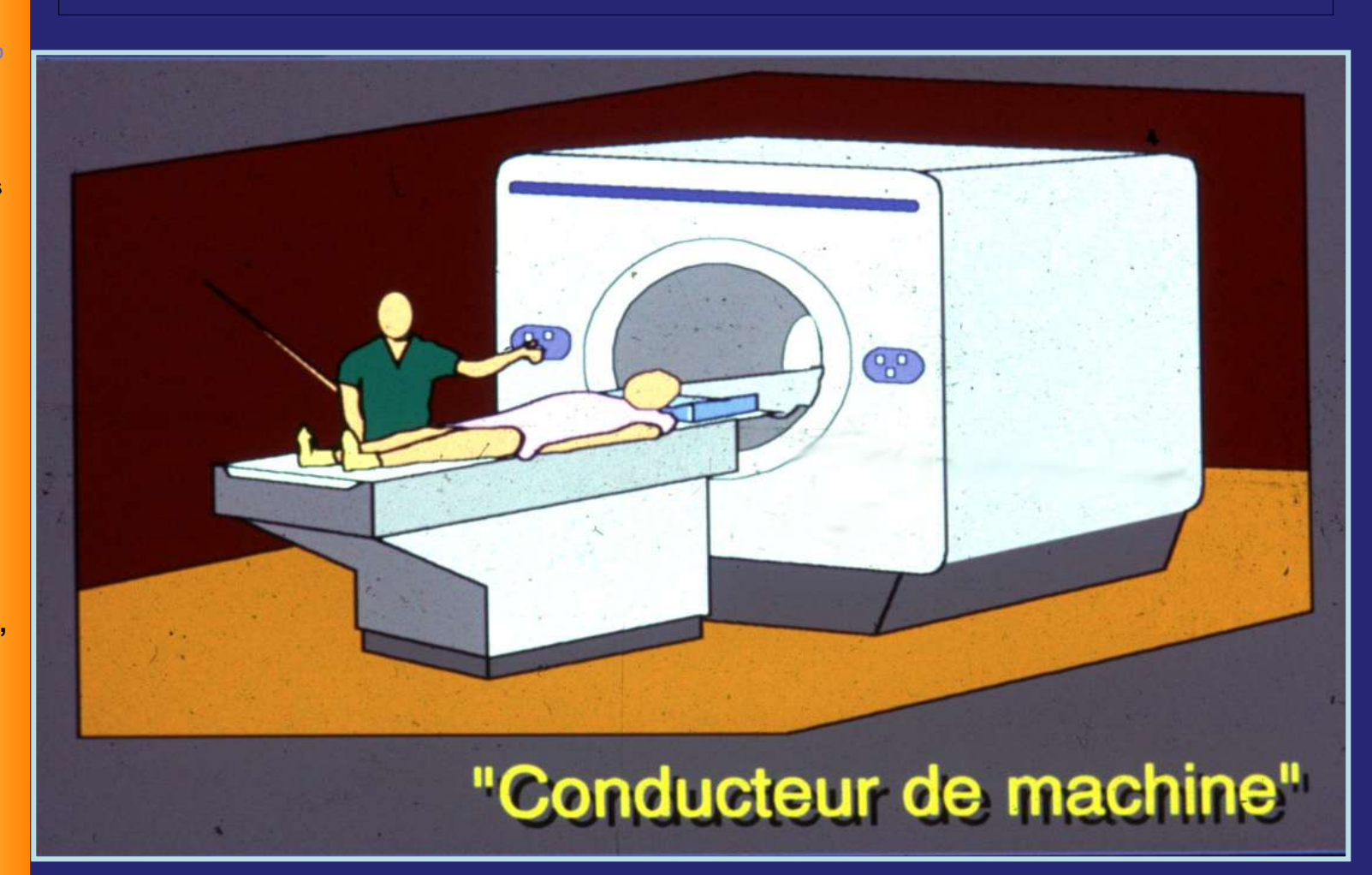
Le signal

Principe de l'écho de spin

Le contraste en T1, T2 et densité protonique

Mise en place des évènements d'une séquence

MAGNETISME CHAMP Bo



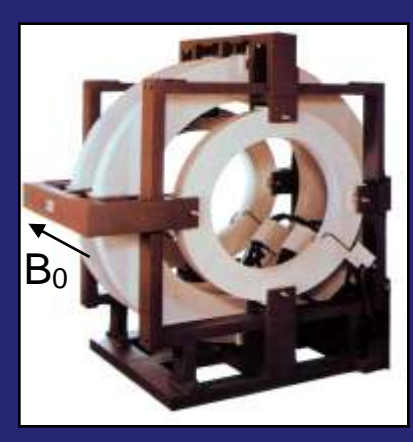
2) champ magnétique intense \overrightarrow{B}_0 .



Aimant permanent



Aimant supraconducteur



Aimant résistif



Aimant dédié

de 0,02 à 3 T et plus!

Effet cible !!!



Aimant permanent



Surveillance (aimant tunnel)



- → Effet cible!
- →Interphone
- → Caméra vidéo
- → Poire d'appel

CONTRE-INDICATIONS

RELATIVES

ABSOLUES

PROTHESE METALLIQUE

PACE-MAKER ET NEUROSTIMULATEUR

AGITATION

CORPS ETRANGER

METALLIQUE

INTRA-OCULAIRE

CLAUSTROPHOBIE

CLIP VASCULAIRE

FERRO-

MAGNETIQUE

INTRA-CRANIEN

OBESITE

Le magnétisme nucléaire

Action d'un champ magnétique

- Le champ statique Bo
- Répercussion sur un seul proton
- -Répercussion sur un échantillon de protons

Le phénomène de résonance magnétique

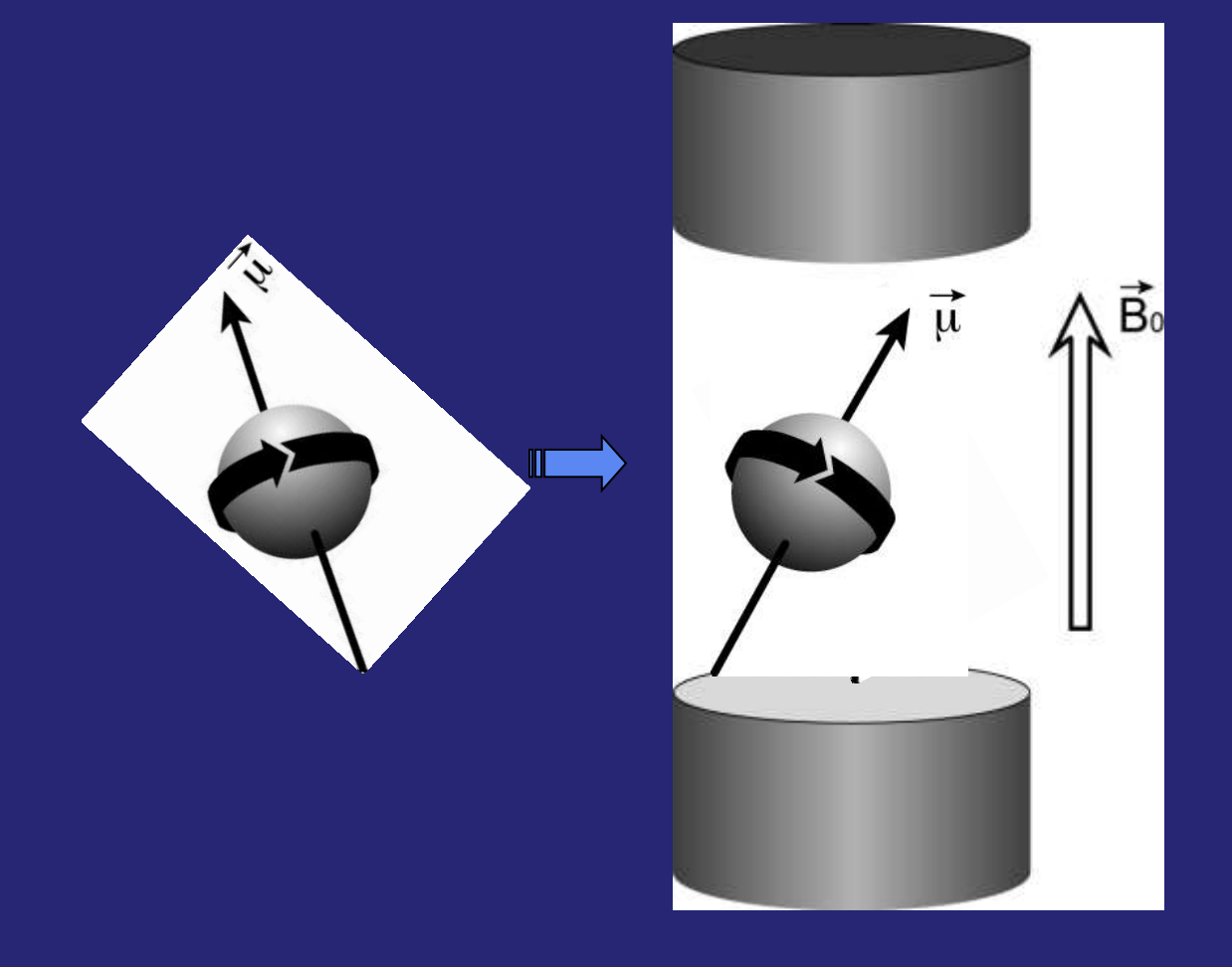
La relaxation

Le signal

Principe de l'écho de spin

Le contraste en T1, T2 et densité protonique

Mise en place des évènements d'une séquence 2) Lorsqu'on place un proton dans un champ magnétique intense B₀



Alignement selon Bo (angle et deux orientations)

Le magnétisme nucléaire

Action d'un champ magnétique

- Le champ statique Bo
- Répercussion sur un seul proton
- -Répercussion sur un échantillon de protons

Le phénomène de résonance magnétique

La relaxation

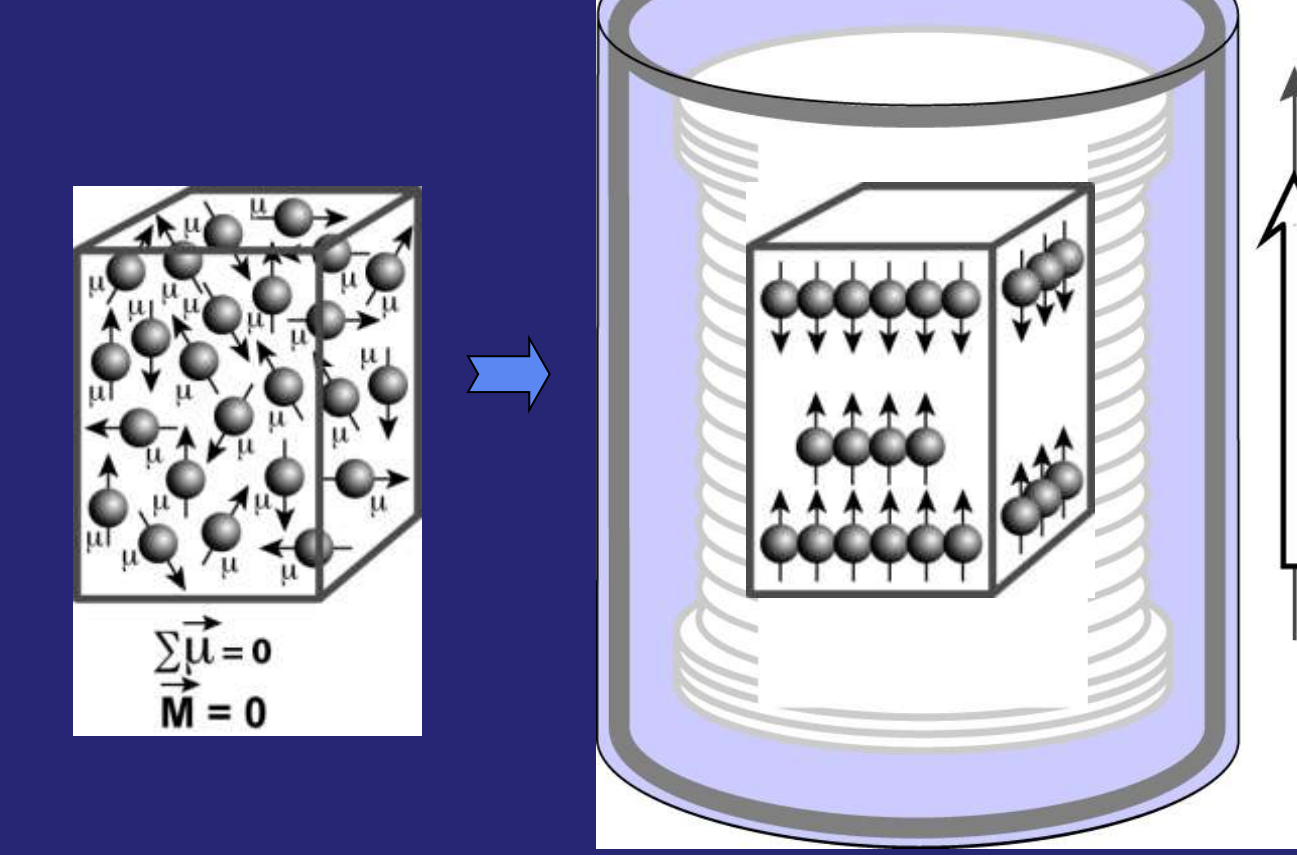
Le signal

Principe de l'écho de spin

Le contraste en T1, T2 et densité protonique

Mise en place des évènements d'une séquence

2) Lorsqu'on place un échantillon de protons dans B₀



Ils vont se répartir en deux populations sensiblement égales, parallèles et antiparallèles, avec un petit excès de protons pour la position parallèle.

Le magnétisme nucléaire

Action d'un champ magnétique

- Le champ statique Bo
- Répercussion sur un seul proton
- -Répercussion sur un échantillon de protons
- Aspect vectoriel
- Aspect quantique
- Composantes de l'aimantation tissulaire

Le phénomène de résonance magnétique

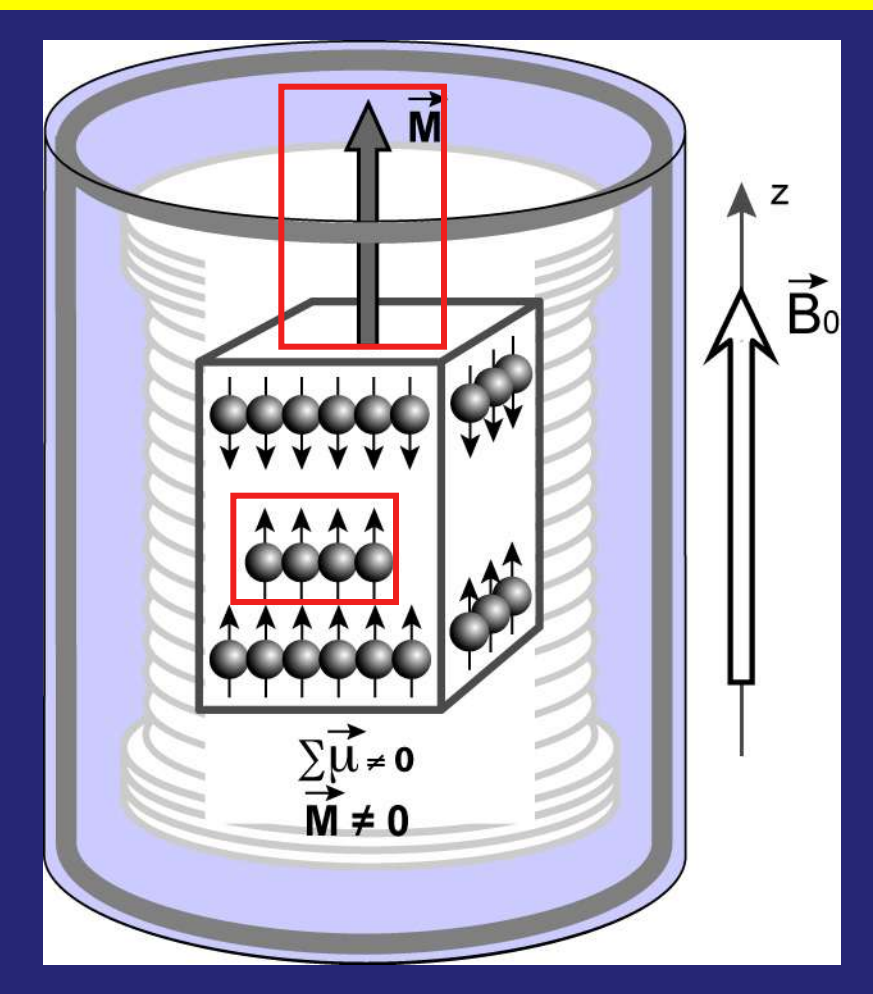
La relaxation

Le signal

Le contraste en T1, T2 et densité protonique Ce surnombre de protons en position parallèle est à l'origine de l'apparition d'un vecteur d'aimantation macroscopique M non nul

faible: environ 4 pour 2 millions de protons, à 0,5 T et à température corporelle





Dans 1 cm³ d'eau (6,69 10 ²³c protons), la quantité de protons en surnombre est de 1,34 x 10¹⁷, soit environ 134 millions de milliards de protons !

Le magnétisme nucléaire

Action d'un champ magnétique

Le phénomène de résonance magnétique

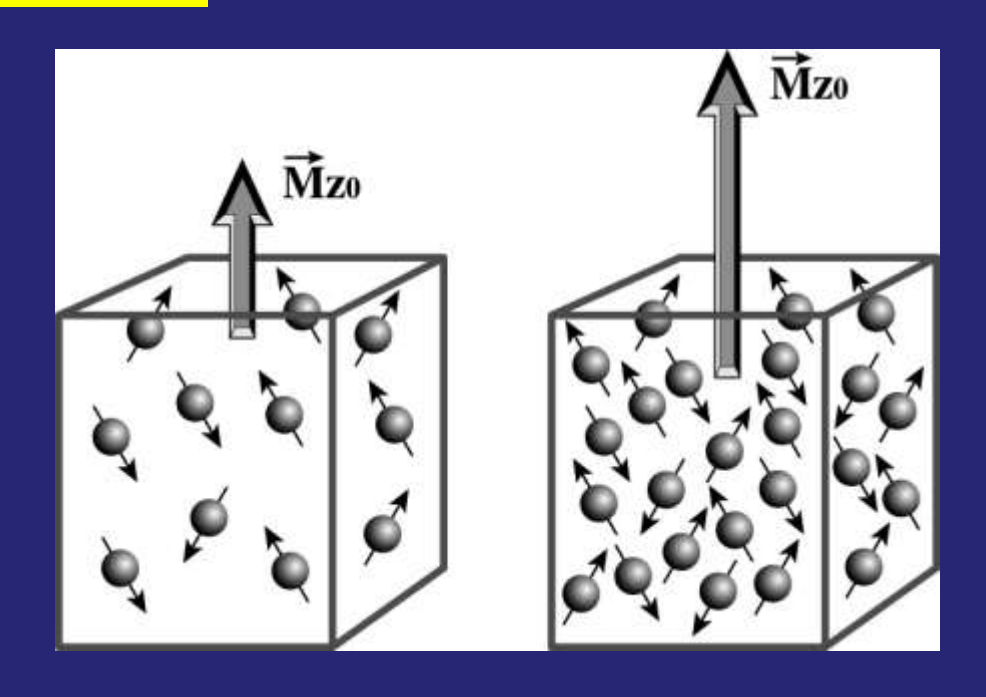
La relaxation

Le signal

Principe de l'écho de spin

Le contraste en T1, T2 et densité protonique valeur de Mz₀ ?

 La densité de protons des tissus



Le magnétisme nucléaire

Action d'un champ magnétique

Le phénomène de résonance magnétique

La relaxation

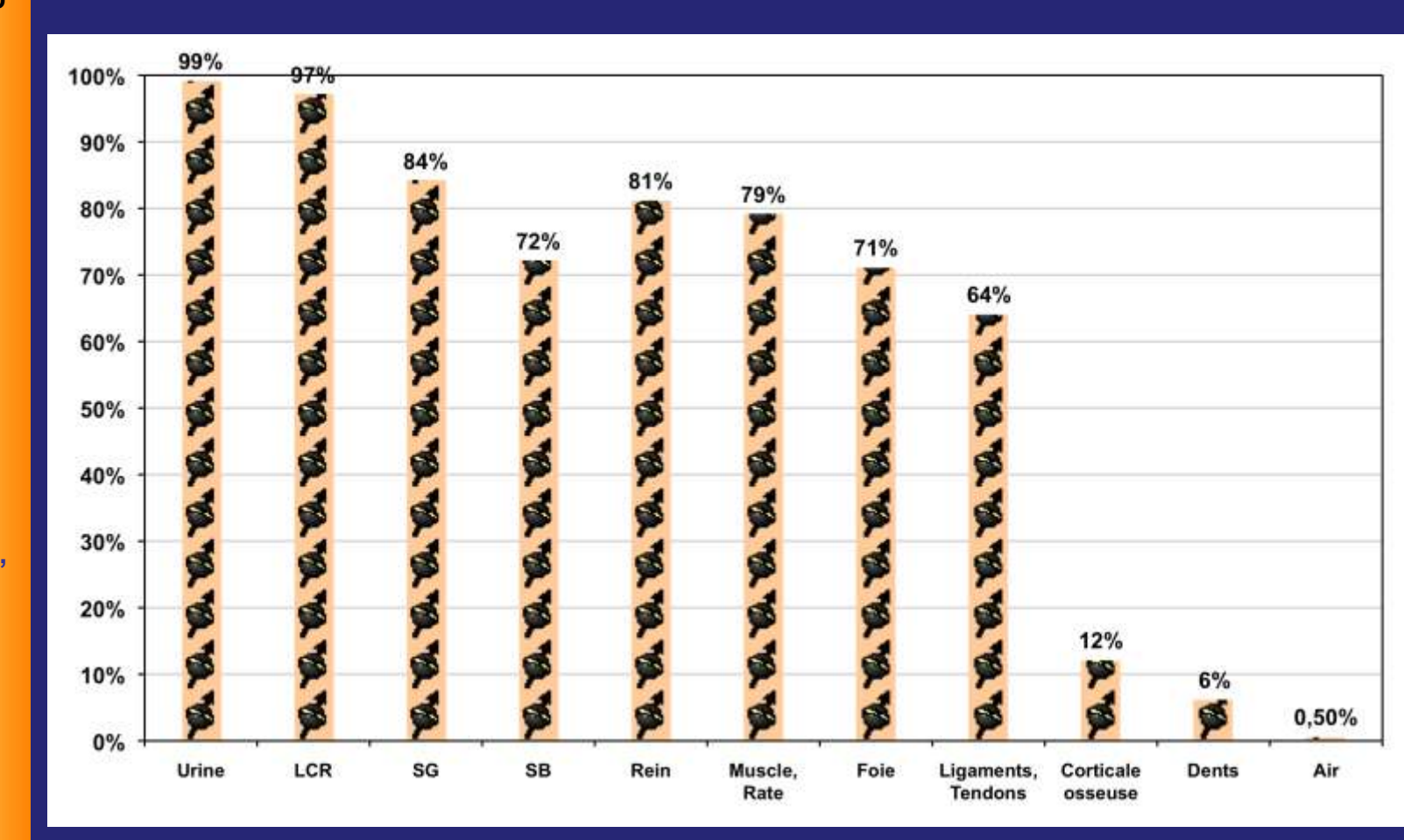
Le signal

Principe de l'écho de spin

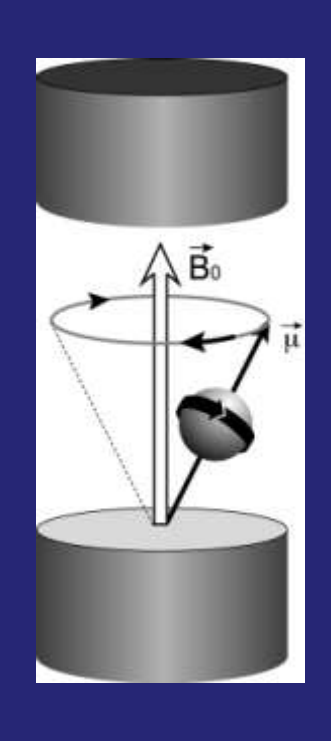
Le contraste en T1, T2 et densité protonique

- Influence du TR
- Influence du TE
- Pondération en T1
- Pondération en p
- Pondération en T2

La teneur en eau de différents tissus biologiques permet d'évaluer leurs différences en densité de protons :



Mz₀ va se mettre à tourner de l'axe de ce champ magnétique





$$\omega_0 = \gamma \cdot B_0$$

Relation de LARMOR

C'est le mouvement de précession

Il s'apparente à celui d'une toupie

Le magnétisme nucléaire

Action d'un champ magnétique

- Le champ statique Bo
- Répercussion sur un seul proton
- -Répercussion sur un échantillon de protons
- Aspect vectoriel
- Aspect quantique
- Composantes de l'aimantation tissulaire

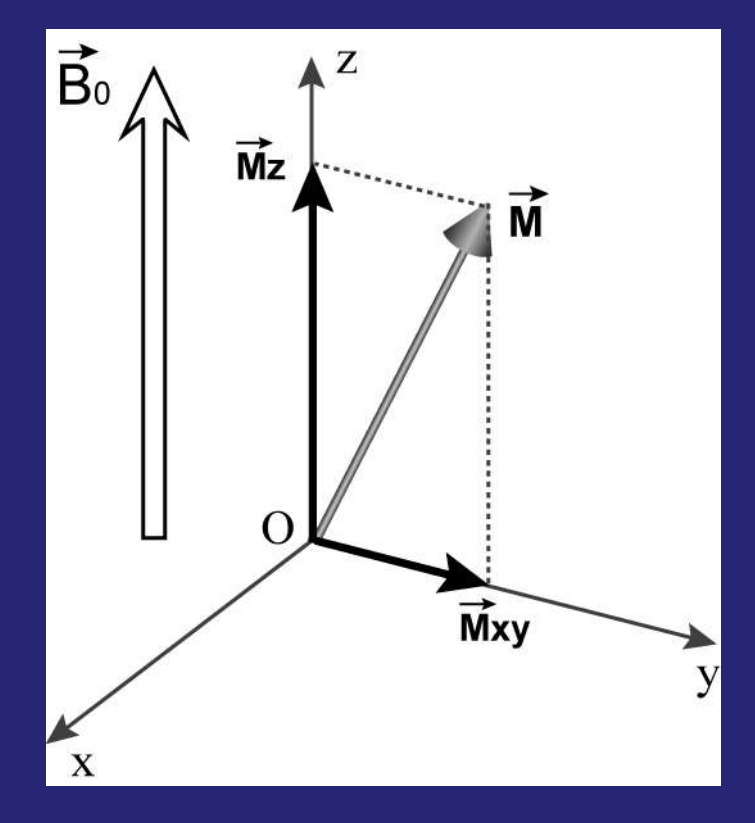
Le phénomène de résonance magnétique

La relaxation

Le signal

M macroscopique

(sommes 4 protons) aussi un mouvement de précession autour de B_0 à la fréquence ω_0) $(2\pi v_0)$



Mz = aimantation longitudinale

⇒ projection de M suivant l'axe de B₀ que l'on choisit habituellement comme axe Oz

Mxy = aimantation transversale

⇒ projection de M dans un plan xOy perpendiculaire à B₀

Le magnétisme nucléaire

Action d'un champ magnétique

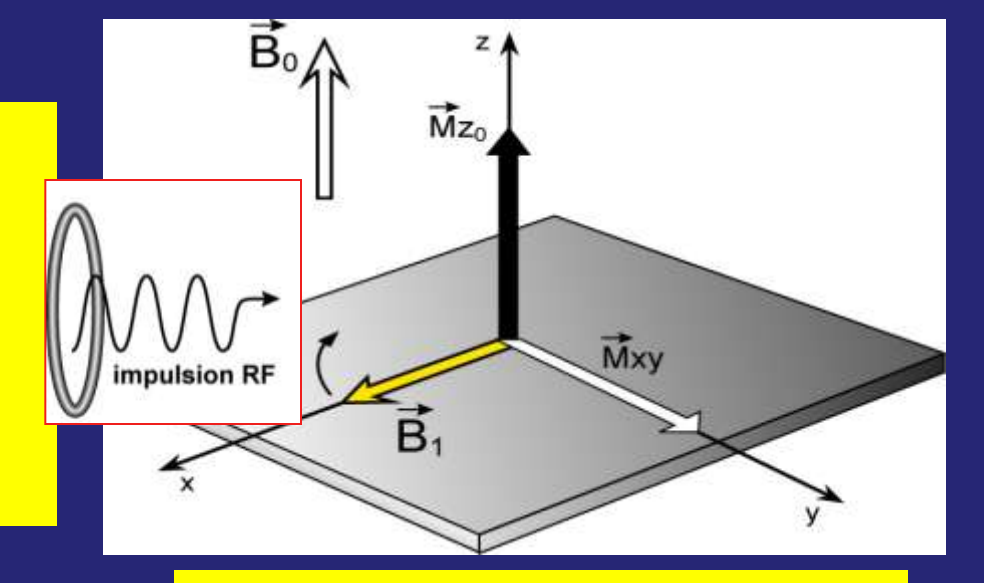
Le phénomène de résonance magnétique

- La résonance
- Répercussion sur Mz
- Répercussion sur Mxy
- Répercussion sur M

La relaxation

Le contraste en T1, T2 et densité protonique 3) champ
magnétique
tournant B

(mécanique
classique) ou onde
électromagnétique
RF



 $(\omega_0 = 63.8 \text{ Mhz à 1.5 T})$

Pour qu'il y ait transfert d'énergie au système en état d'équilibre, il faut que la fréquence de rotation ω_r du champ magnétique tournant B_1 (ou la fréquence de l'onde électromagnétique) soit egale à la fréquence de Larmor ω_0 : c'est la condition de résonance.

$$\omega_r = \omega_0 = \gamma \cdot B_0$$

$$E = hv_r = \Delta E$$

Le magnétisme nucléaire

Action d'un champ magnétique

Le phénomène de résonance magnétique

La relaxation

Le signal

exemples de phénomènes de résonance :

• Pour pousser un enfant sur une balançoire (transfert d'énergie de l'adulte à l'enfant), il faut le faire avec une fréquence adaptée (en résonance) à la fréquence propre de la balançoire.

• Une onde sonore peut briser un verre : lorsque le verre entre en résonance, l'énergie relativement faible des vibrations sonores est amplifiée jusqu'à faire éclater le verre.

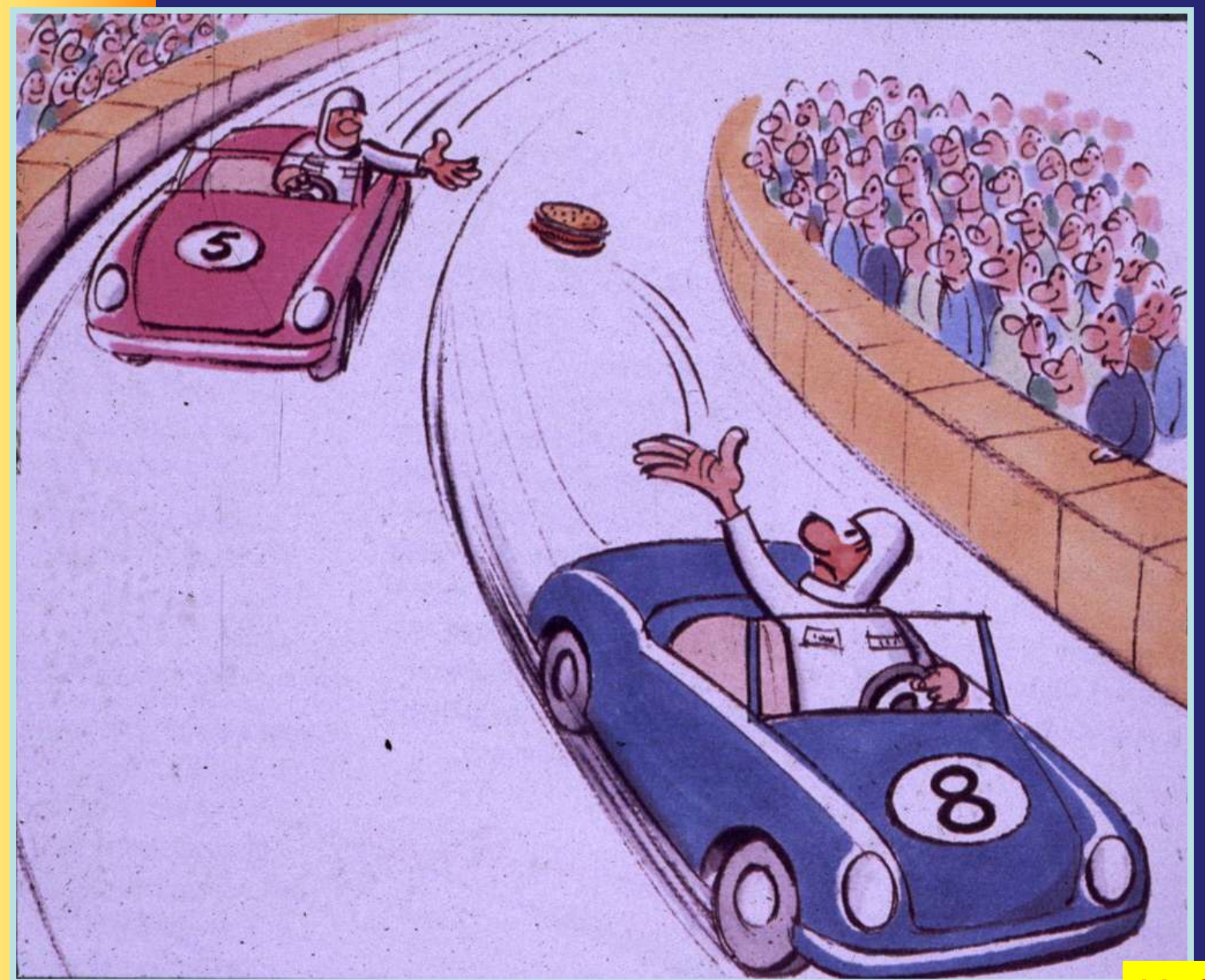
$$\omega_r = \omega_0 = \gamma$$
. B_0

$$E = hv_r = \Delta E$$

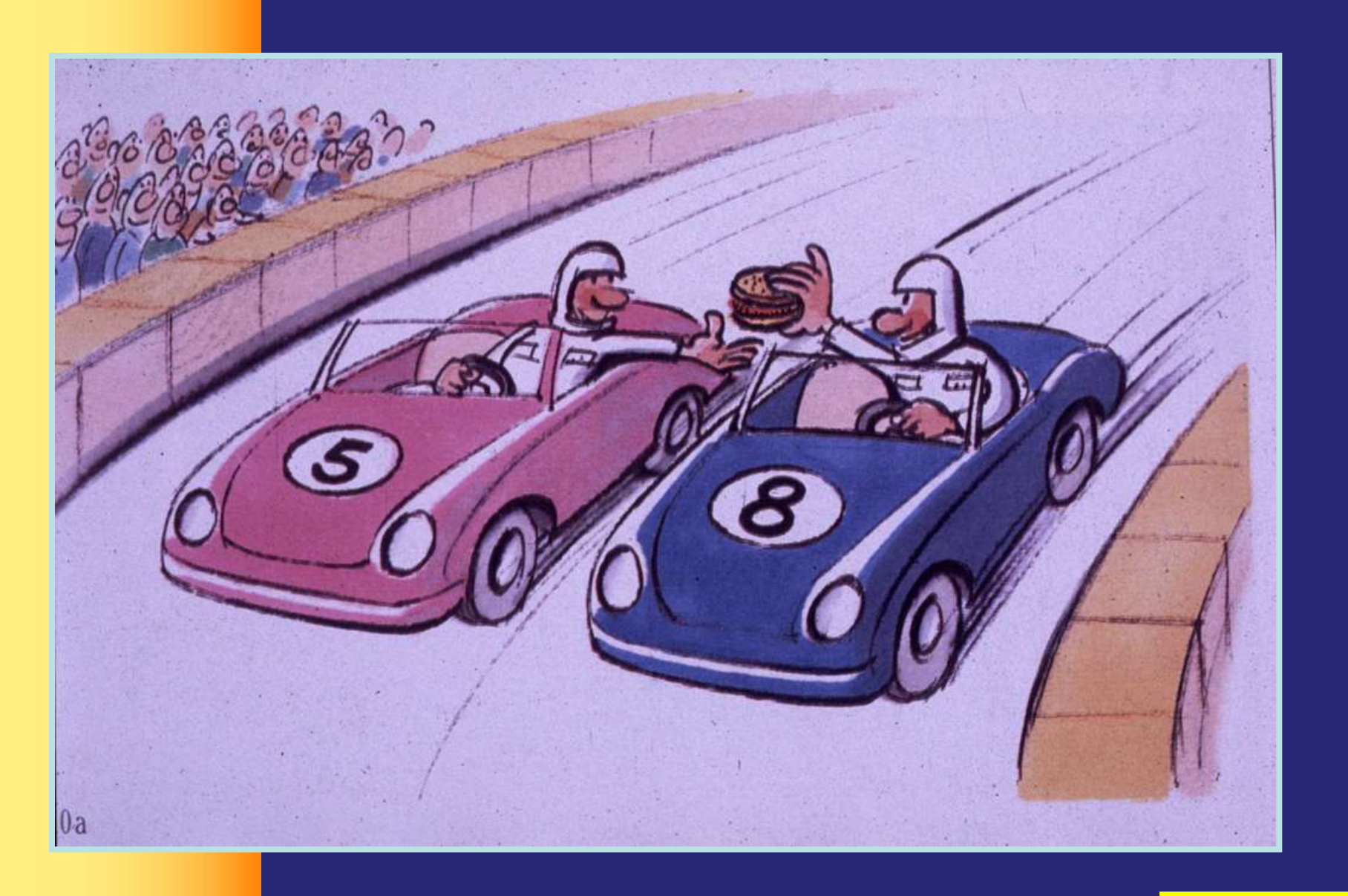


- Le 16 avril 1850, le Pont de Basse-Chaîne près d'Angers s'est rompu lors du passage d'un bataillon de soldats : les soldats marchant au pas cadencé ont mis le pont en résonance. 222 soldats se sont noyés
- Le pont de Tacoma (7 novembre 1940)



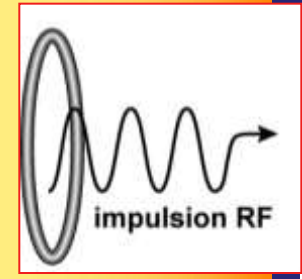


H. Schild

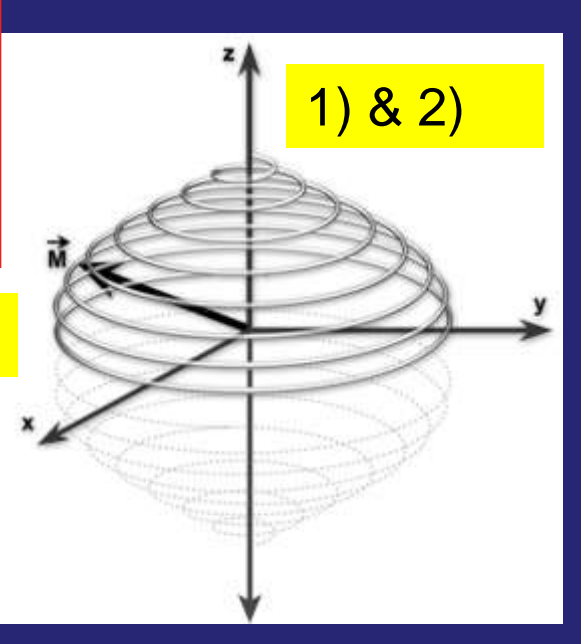


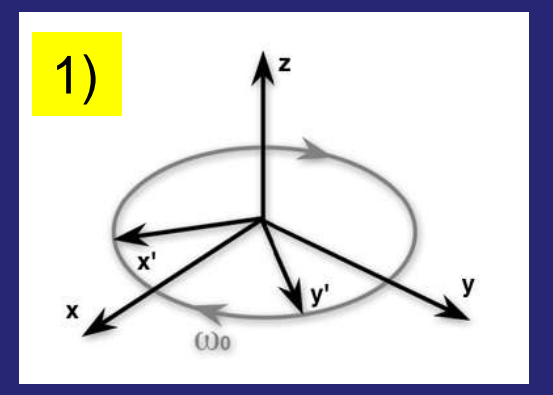
 \Rightarrow précession à la fois: 1) $\omega_0 = \gamma$. B_0 et 2) $\omega_1 = \gamma$. B_1

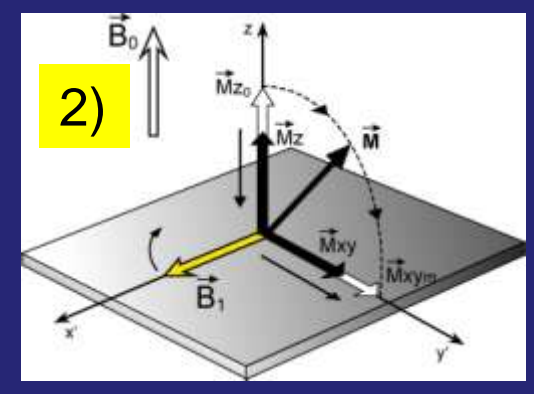
 $\omega_r = \omega_0$



 $E = hv_r = \Delta E$







 $\omega_r = \omega_0$

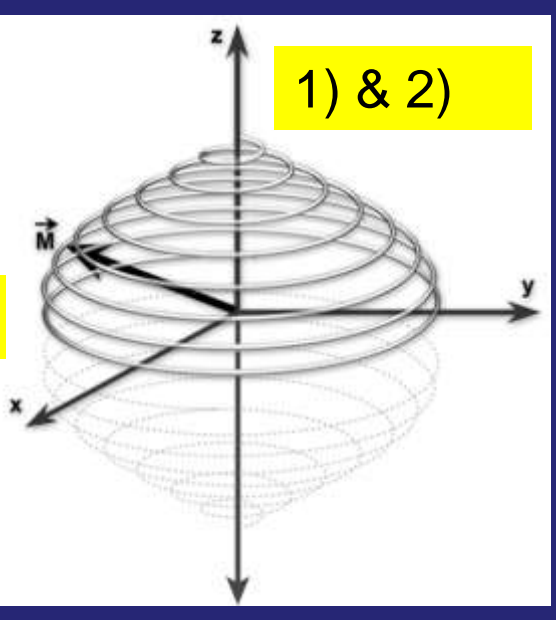


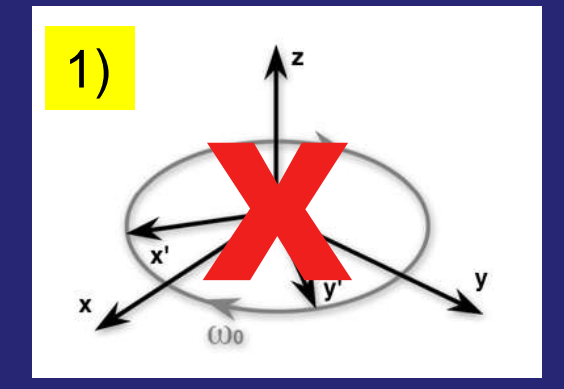
$$E = h\nu_r = \Delta E$$

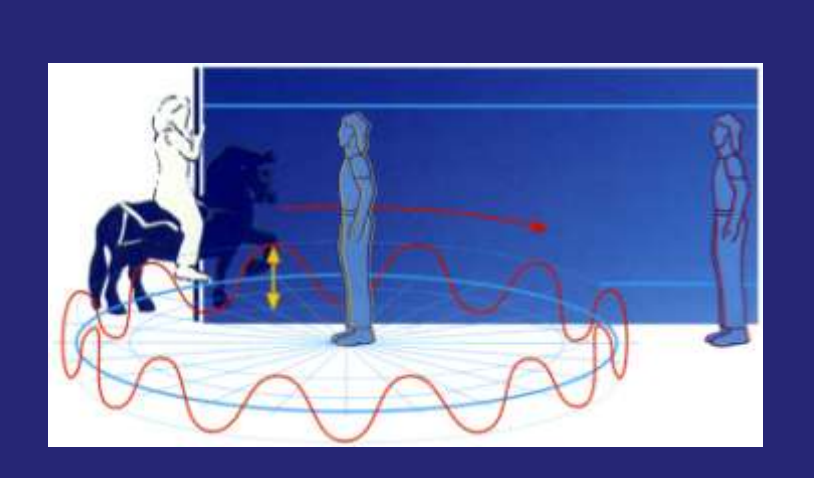
impulsion RF

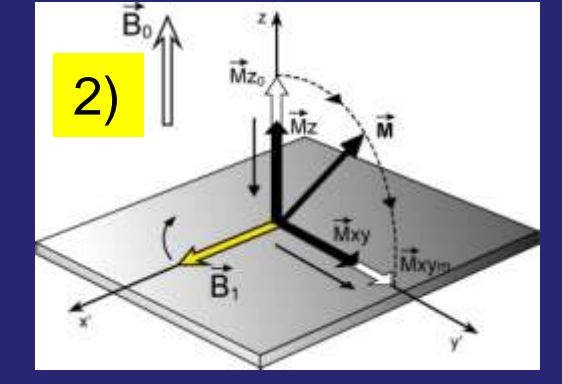
Pour simplifier, on va se placer dans un référentiel tournant x'Oy' à la fréquence angulaire ω_0

⇒ on ne verra que le mouvement de bascule de M



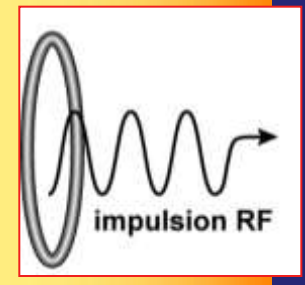






Tournez manège!

$$\omega_r = \omega_0$$

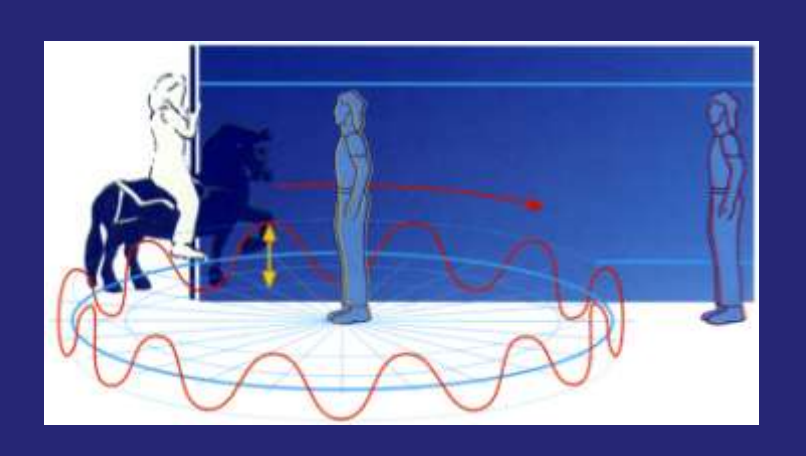


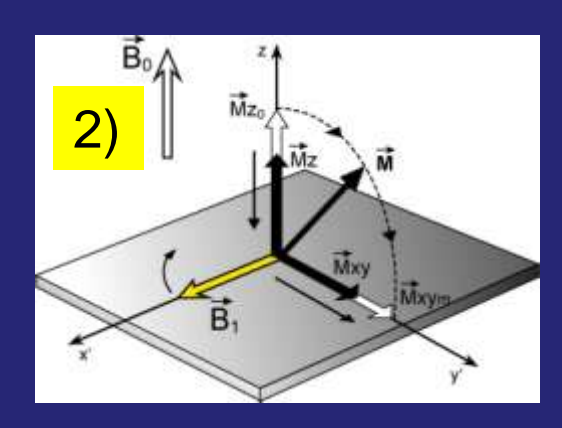
$$E = h\nu_r = \Delta E$$

Pour simplifier, on va se placer dans un référentiel tournant x'Oy' à la fréquence angulaire ω_0

⇒ on ne verra que le mouvement de bascule de M autour

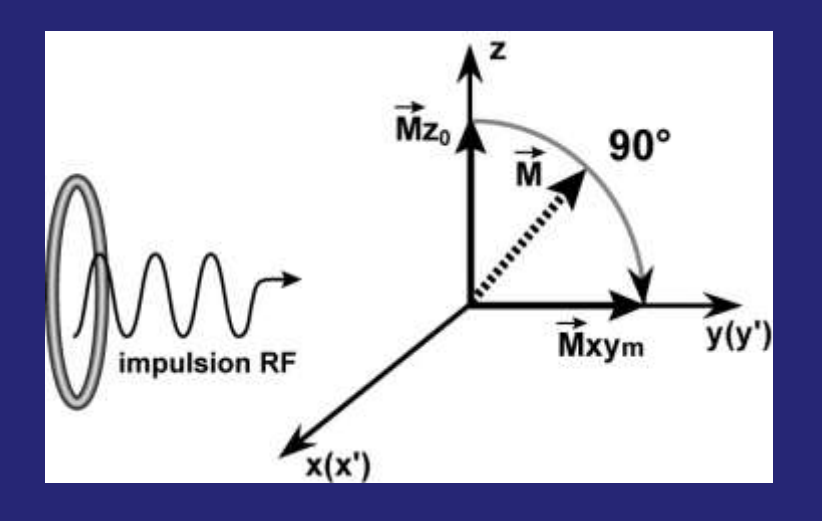
de B1: 2) $\omega_1 = \gamma$. B₁



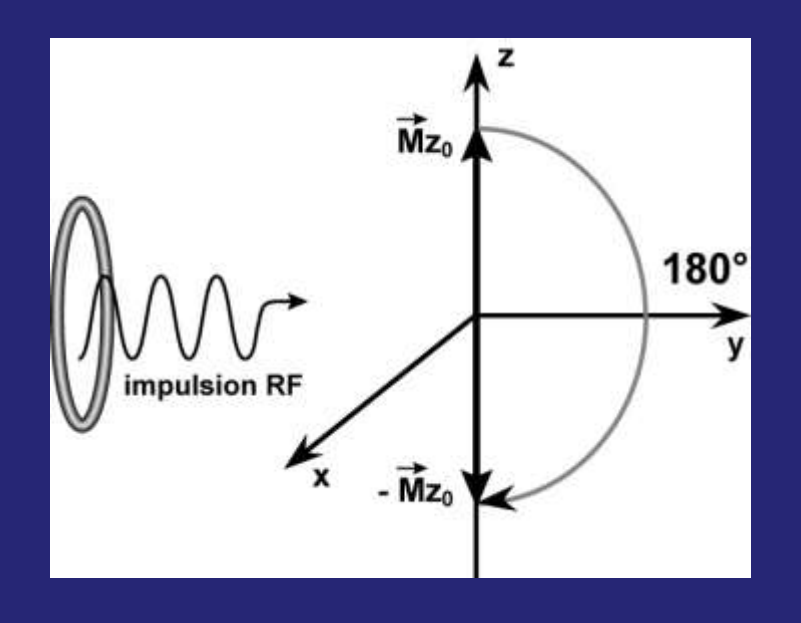


Tournez manège!

Une impulsion RF de 90° (π /2) bascule M dans le plan xOy



Une impulsion RF de 180° (π) inverse Mz

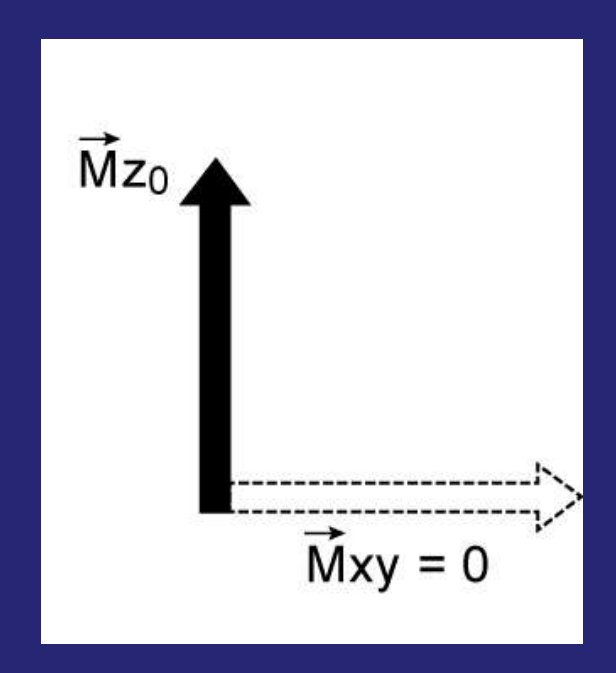


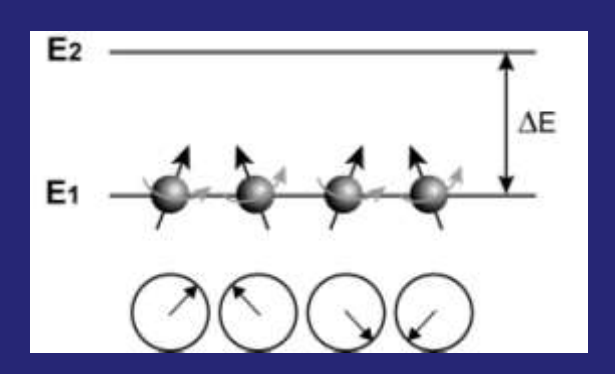
- Pour une « bascule » de 180°, il faut appliquer l'impulsion RF deux fois plus longtemps que pour une bascule de 90°.
- Dans la pratique, on agit plutôt sur l'intensité de B₁ que sur sa durée d'action.

A l'équilibre:

- 1) seulement une composante longitudinale Mz
- 2) pas de composante transversale M xy

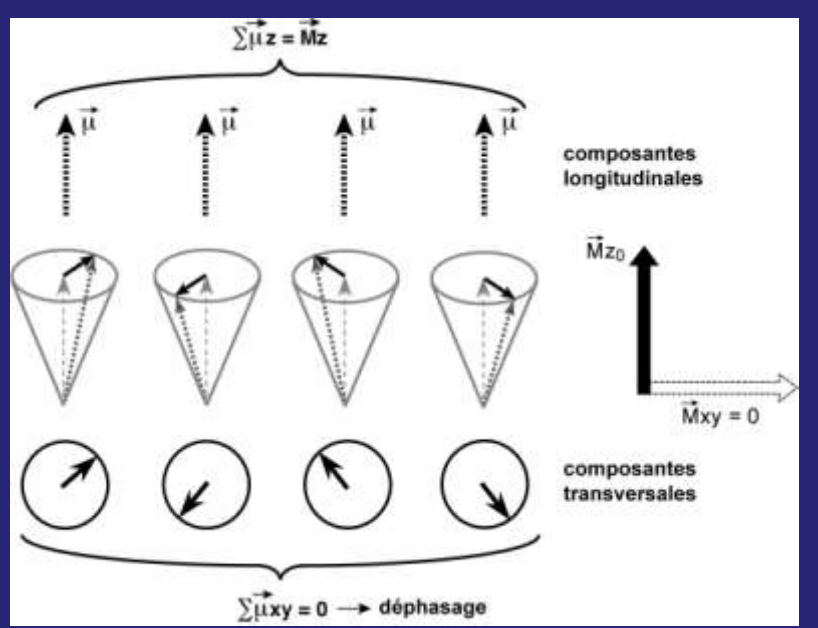
(les protons sont déphasés les uns par rapport aux autres).

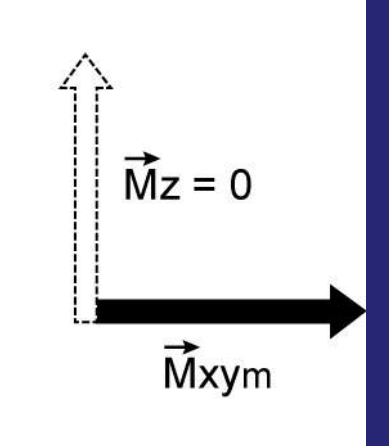


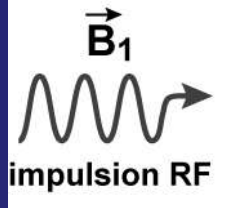


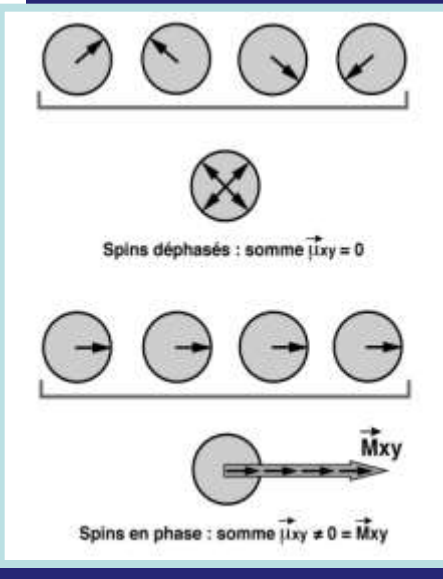
apparition de Mxy?

Mise en phase des spins



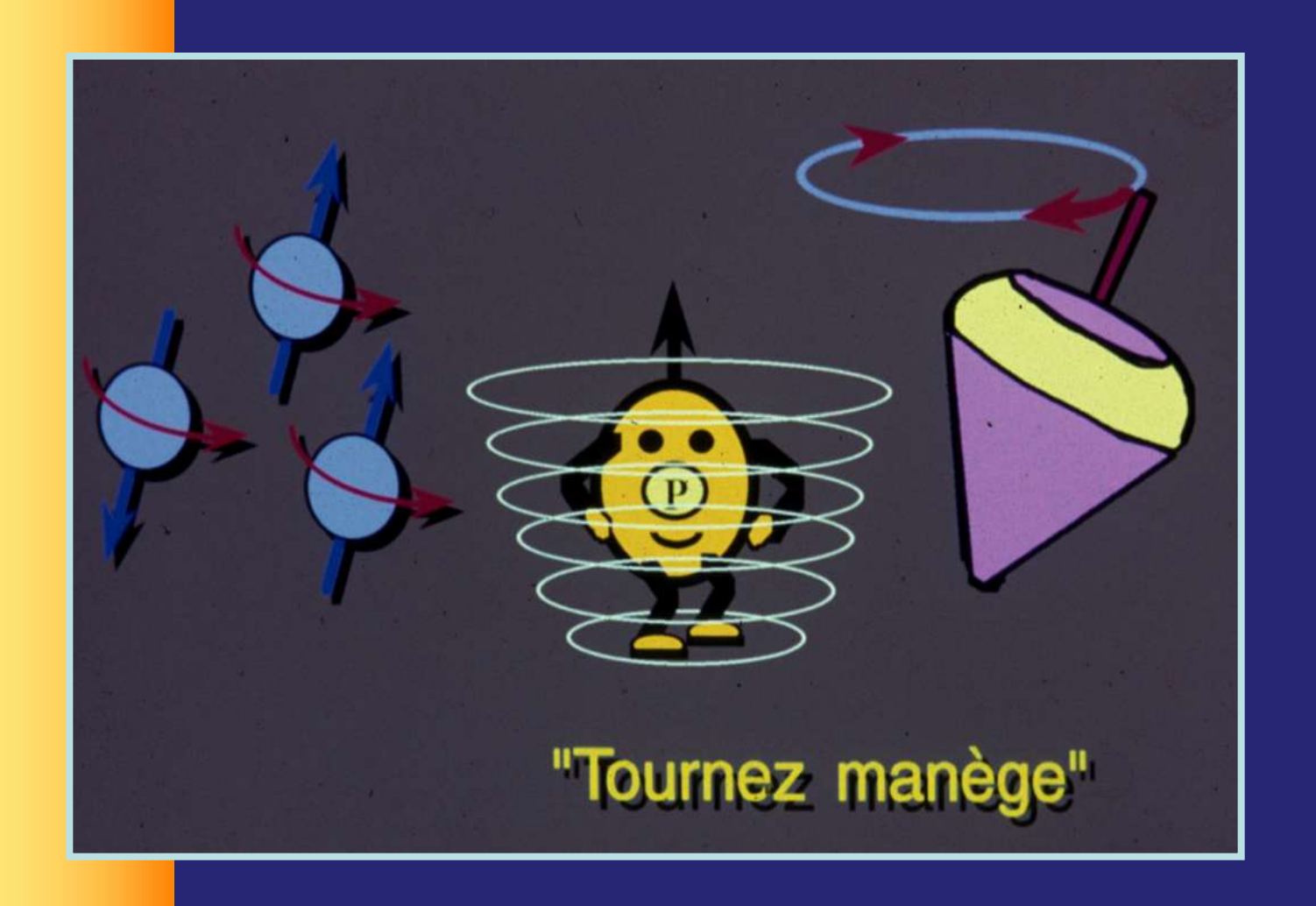


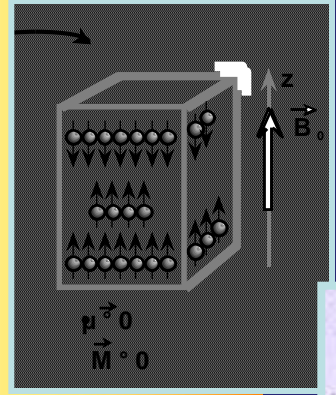




disparition de Mz?

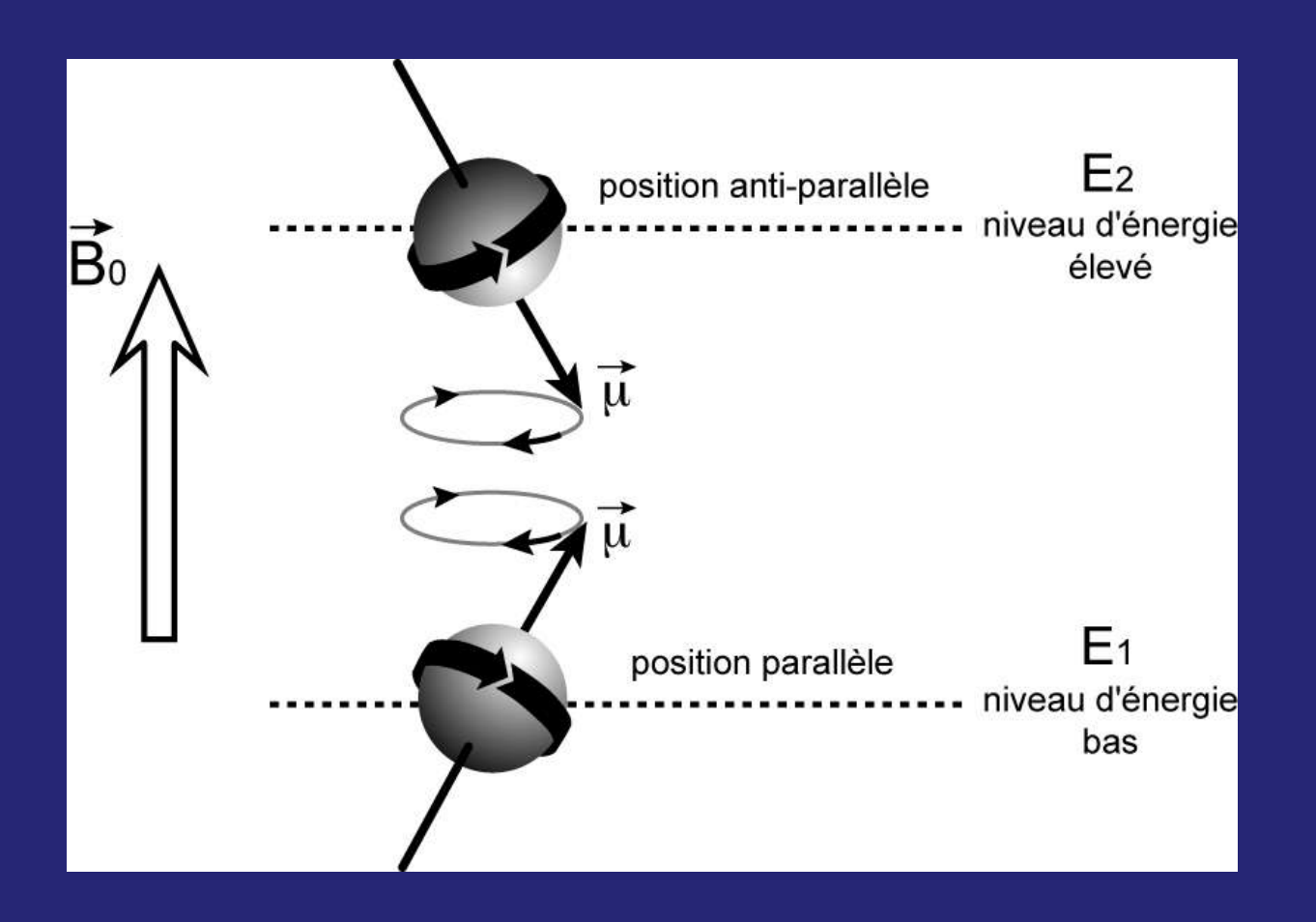
Energie !!!





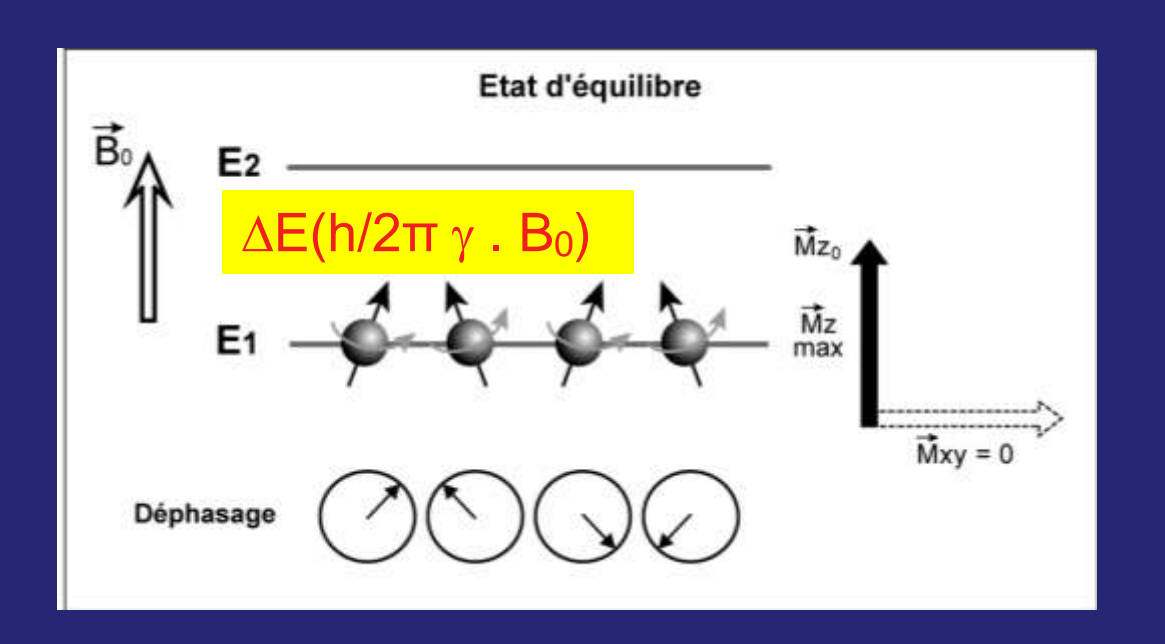


Mécanique quantique



Protons ne peuvent prendre que 2 orientations :

Coorrespondant à 2 niveaux d'énergie différents



Fréquence de précession (fréquence de LARMOR) :

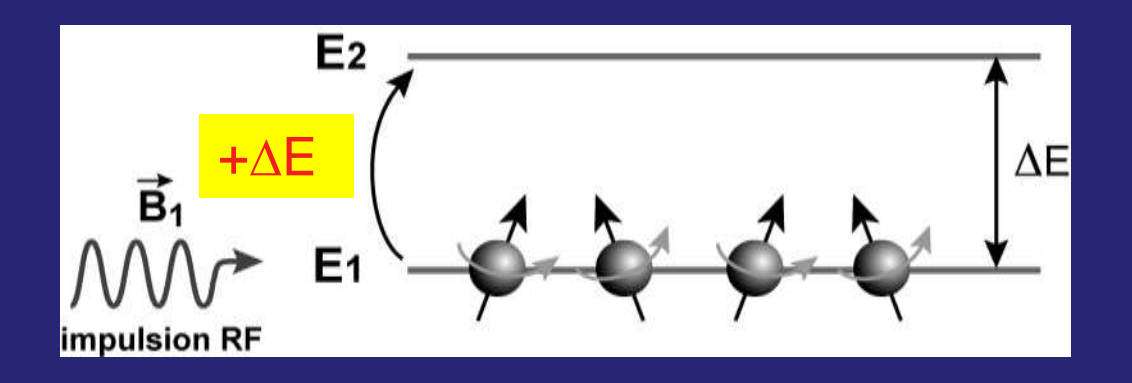
$$\omega_0 = \gamma \cdot \mathsf{B}_0$$

Quelles sont les conséquences de l'application de l'onde RF B1, à la fréquence de résonance?

$$\omega_r = \omega_0 = \gamma$$
. B_0

L'onde RF permet de fournir la quantité d'énergie exactement égale à ΔE , ce qui permet d'induire des transitions du niveau E1 à E2.

$$E = hv_r = \Delta E$$



Le magnétisme nucléaire

Action d'un champ magnétique

Le phénomène de résonance magnétique

La relaxation

Le signal

Onde B1 à la bonne fréquence $\omega_r = \omega_0$ (résonance)

_

B1 apporte la bonne quantité d'énergie $E = hv_r = \Delta E$

$$\omega_r = \omega_0 = \gamma \cdot B_0$$

=

$$E = hv_r = \Delta E$$

Si B1 apporte la bonne quantité d'énergie E (B1) = Δ E

$$E = h\nu_r$$
 et $\Delta E = h/2\pi \gamma$. B_0 ,

$$h\nu_r = h/2\pi \gamma . B_{0,}$$

$$h2\pi\nu_r = h \gamma \cdot B_{0,r}$$

$$2\pi v_r = \gamma \cdot B_{0,r}$$

$$2\pi v_r = \omega_r \text{ et } \gamma . B_{0} = \omega_0$$

$$\omega_r = \omega_0$$

Alors B1 à la bonne fréquence $\omega_r = \omega_0$

$$\omega_r = \omega_0 = \gamma \cdot B_0$$



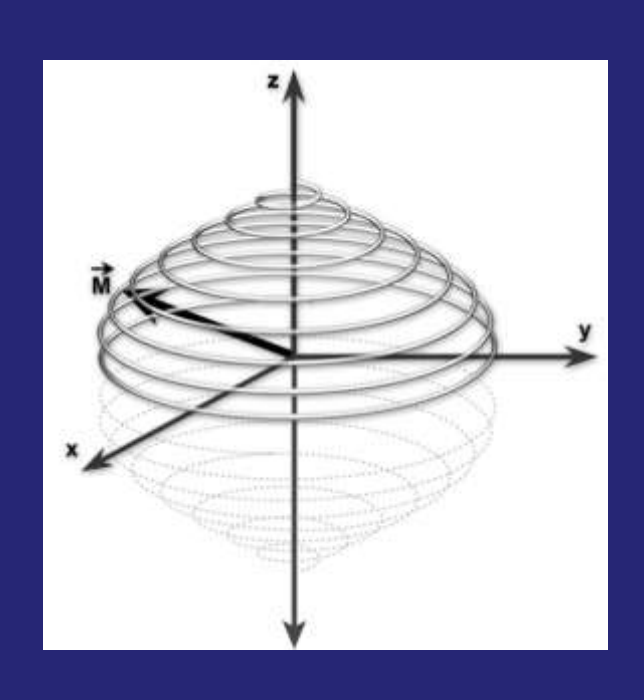
$$E = hv_r = \Delta E$$

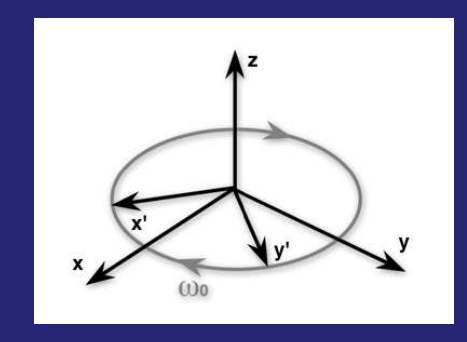
$$\omega_r = \omega_0 = \gamma$$
. B_0

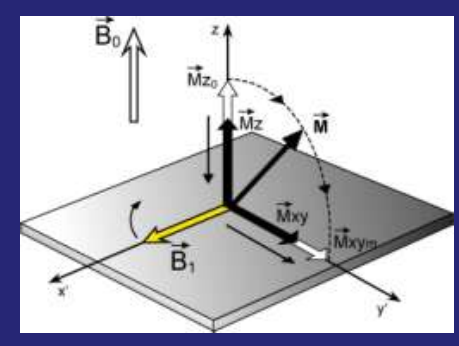
Ou

$$E = hv_r = \Delta E$$

 \Rightarrow précession à la fois: 1) $\omega_0 = \gamma$. B_0 et 2) $\omega_1 = \gamma$. B_1







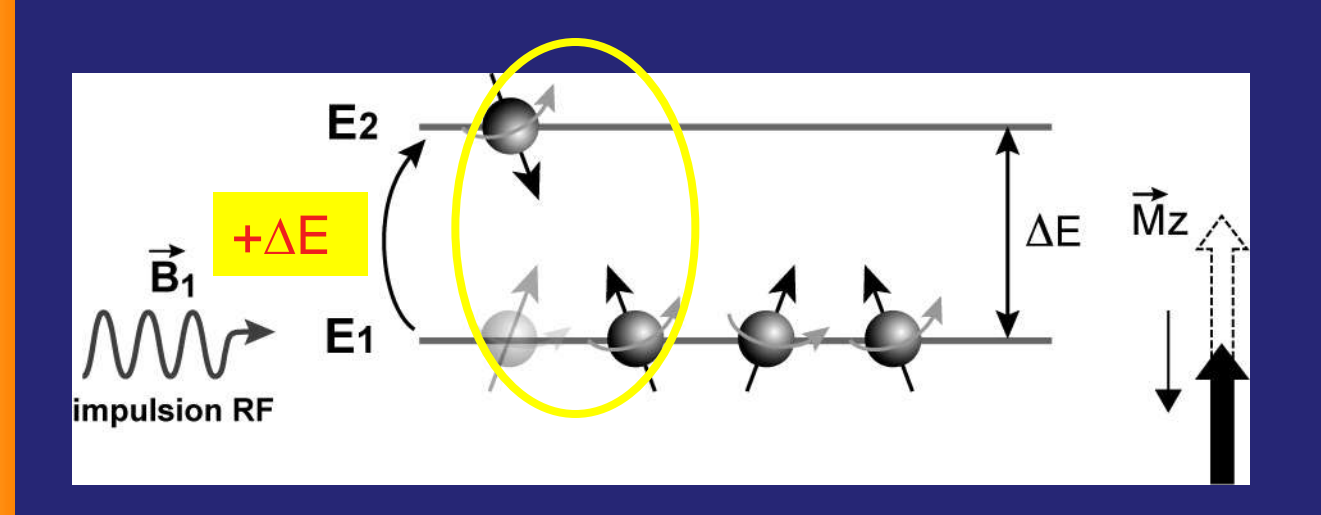
$$\omega_r = \omega_0 = \gamma$$
. B_0

Ou

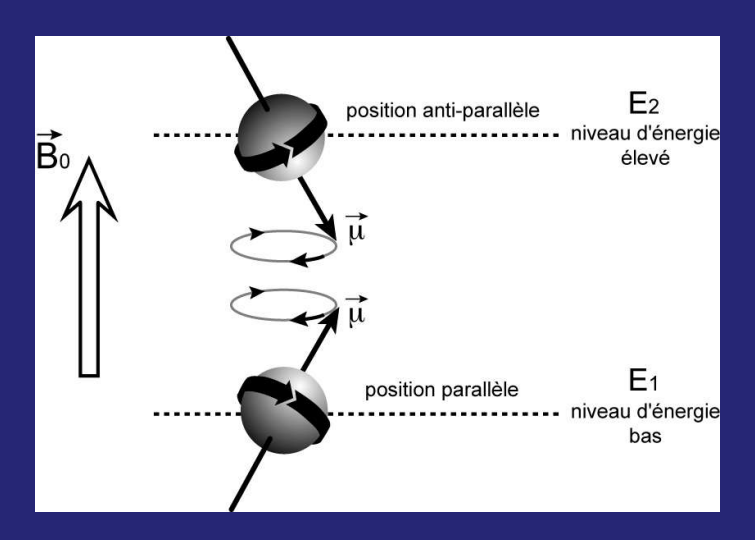
$$E = hv_r = \Delta E$$

« doper » protons E1 en $+\Delta$ E

permet d'induire des transitions du niveau E1 à E2.



Et sur nos protons?

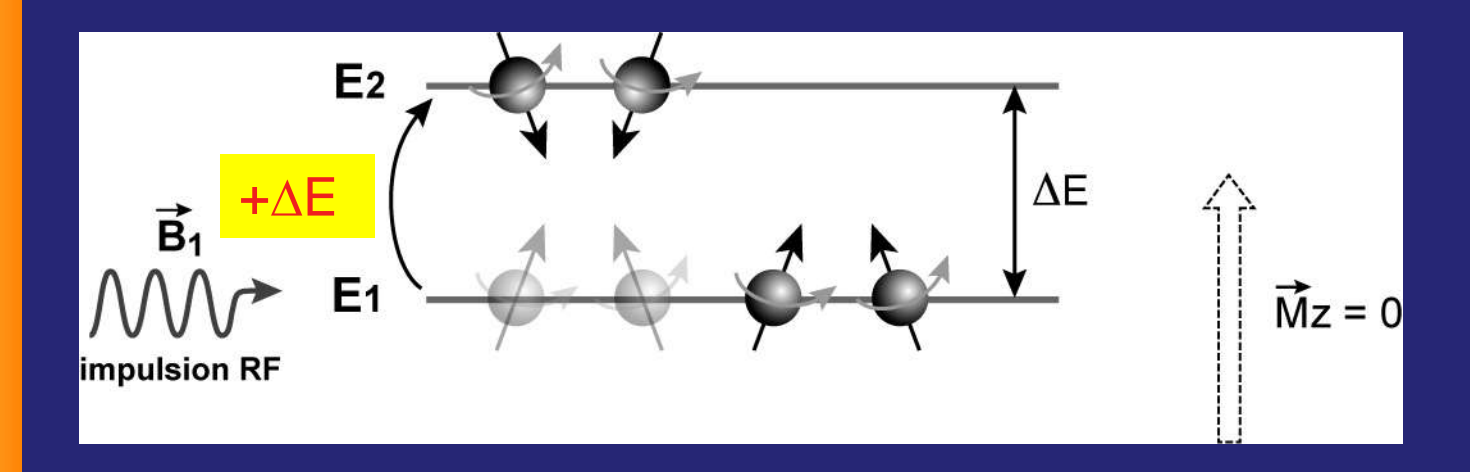




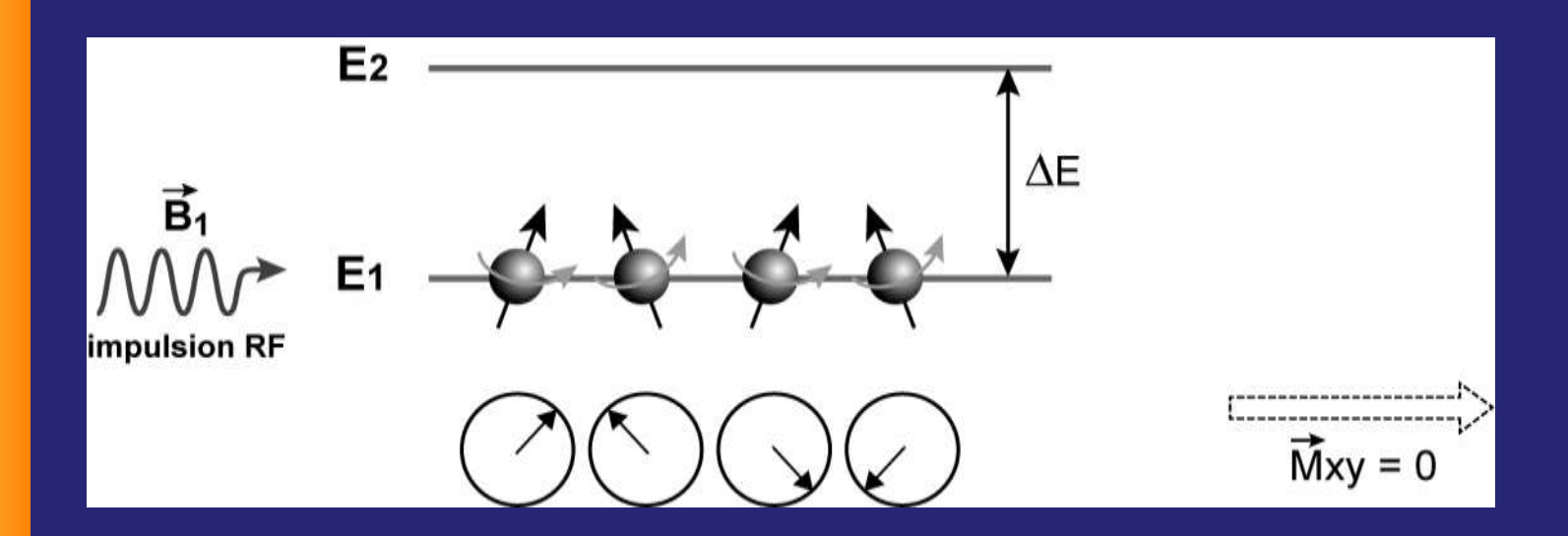
ne peuvent prendre que 2 orientations :

2 niveaux d'énergie différents

⇒ égalisation des populations de protons sur les 2 niveaux d'énergie E1 et E2 : Mz s'annule.

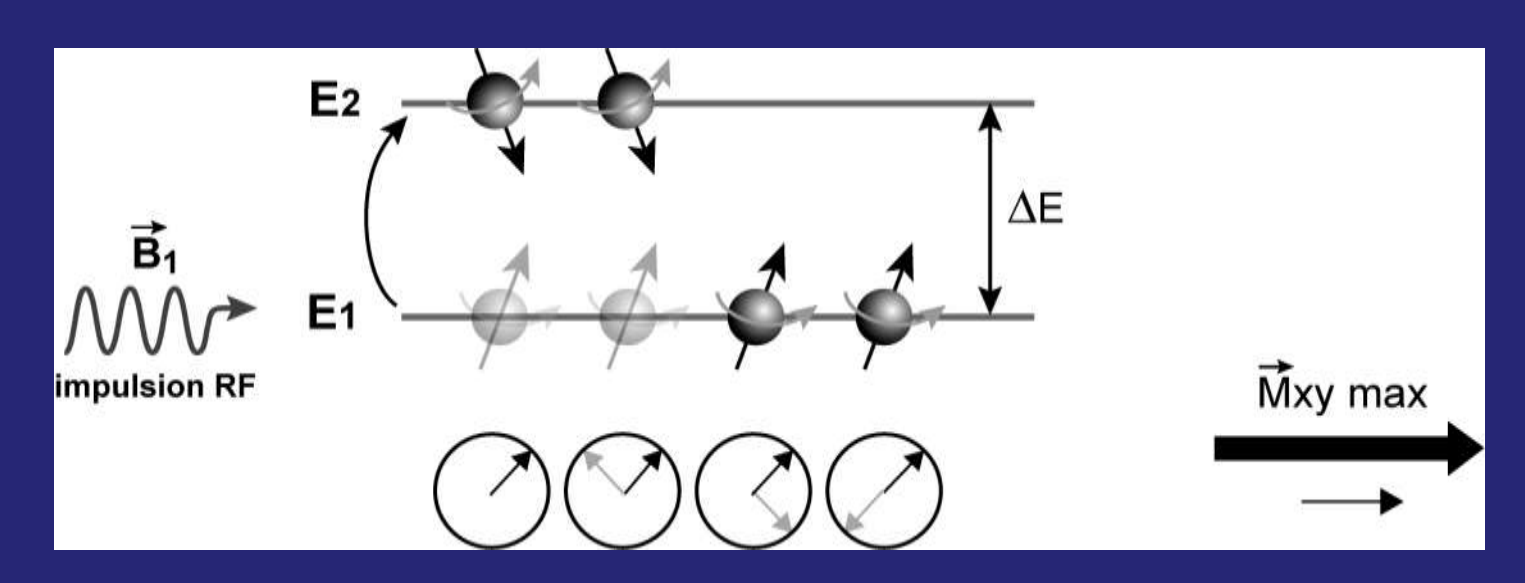


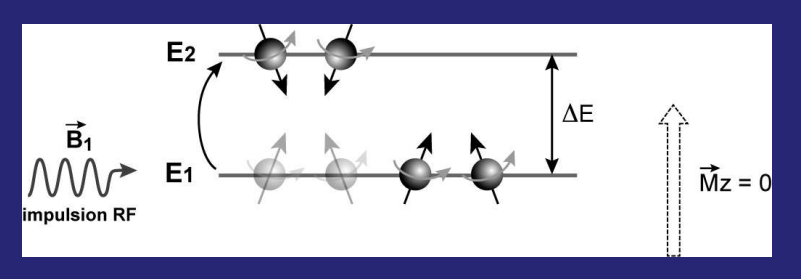
2) A l'équilibre les protons sont déphasés les uns par rapport aux autres.

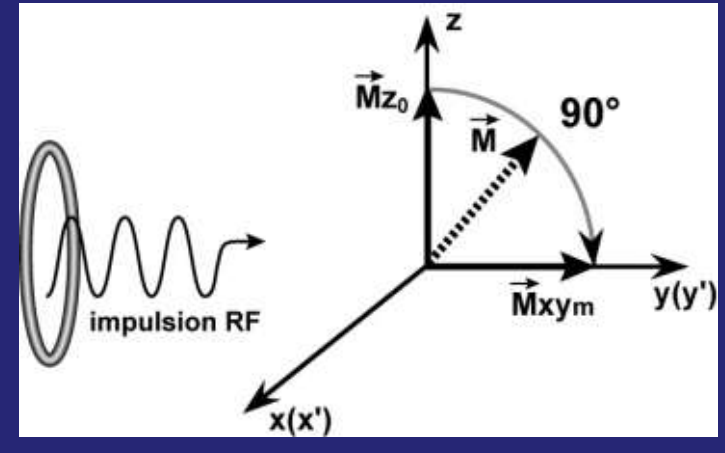


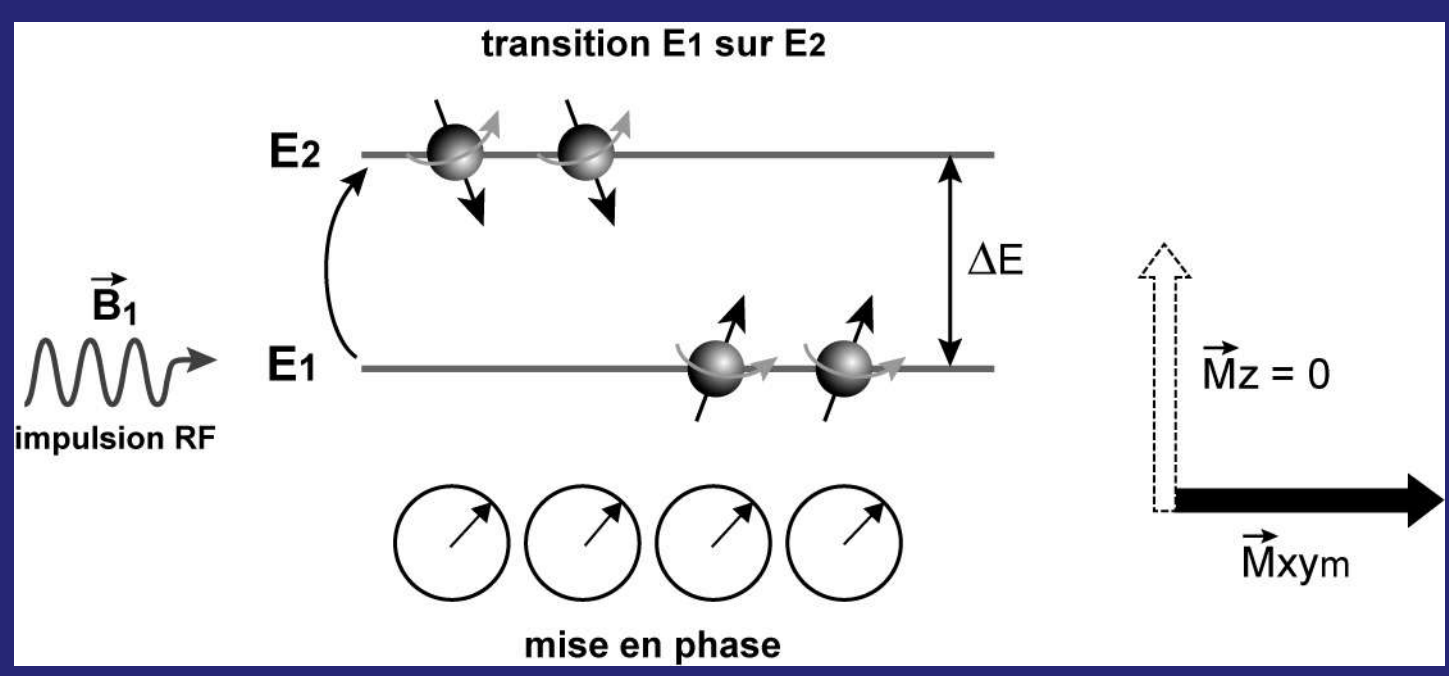
3) En même temps que les protons changent de niveau d'énergie, ils se mettent en phase les uns par rapport aux autres.

⇒ ce rephasage des spins fait apparaître la composante transversale Mxy de l'aimantation.



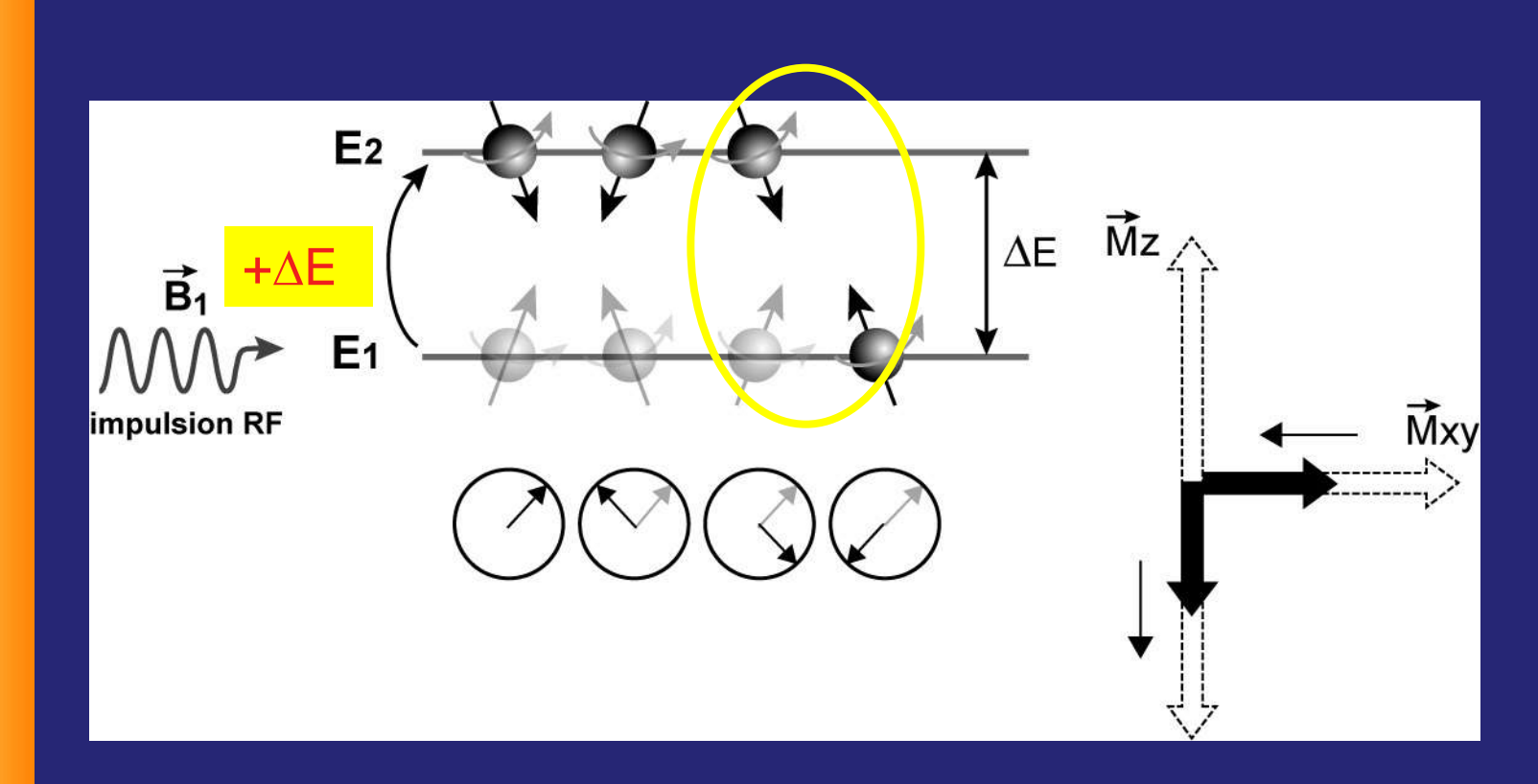


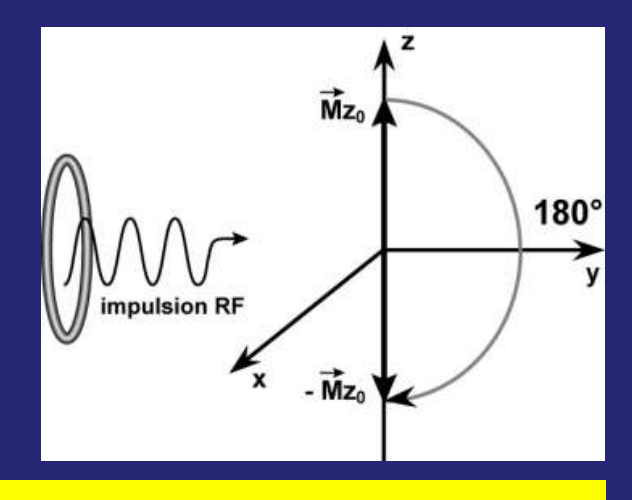




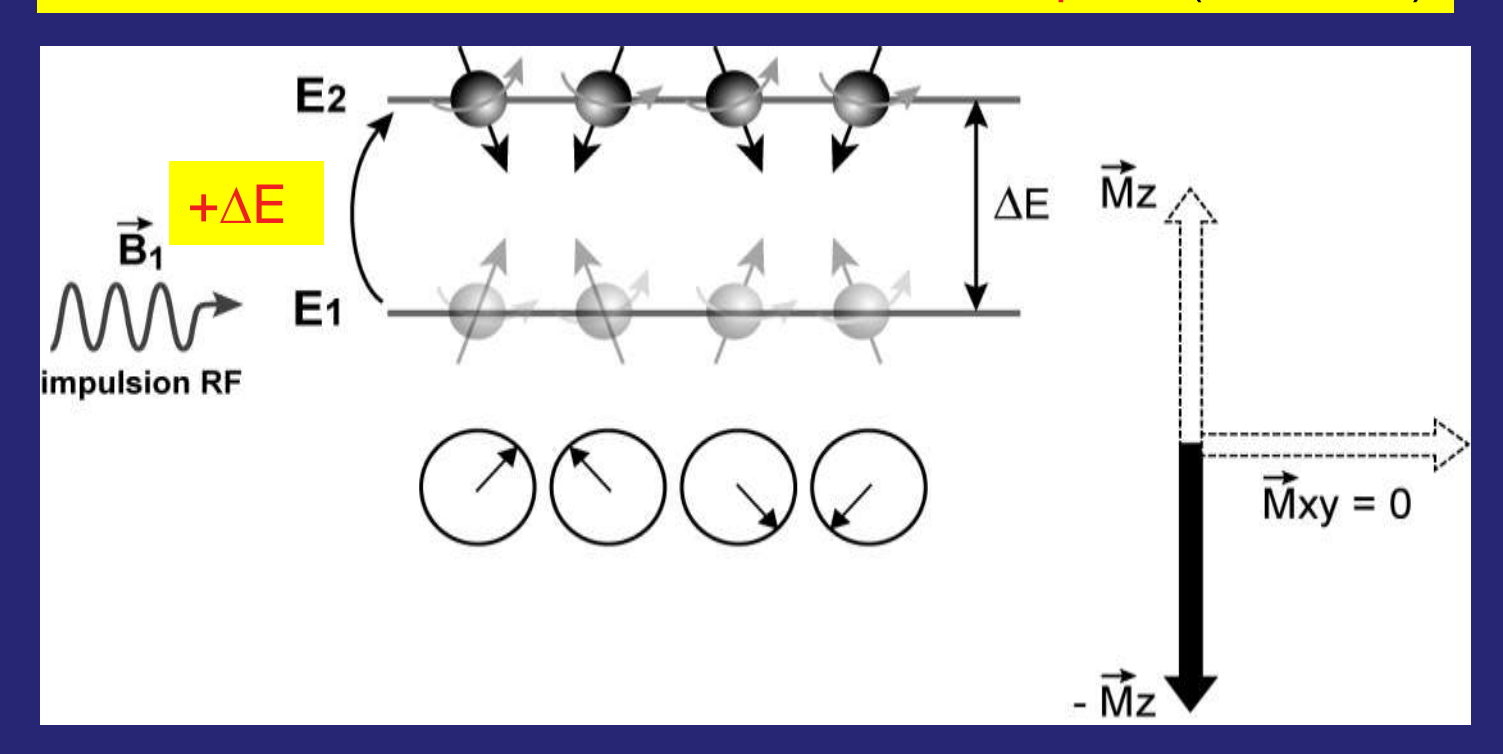
Mxy devient maximal (rephasage) en même temps que Mz s'annule (égalisation).

Si l'on continu à appliquer l'onde RF on obtient une inversion progressive de Mz





Pour obtenir finalement une inversion complète (M = - Mz)



(les spins se déphasent à nouveau Mxy = 0)

Le magnétisme nucléaire

Action d'un champ magnétique

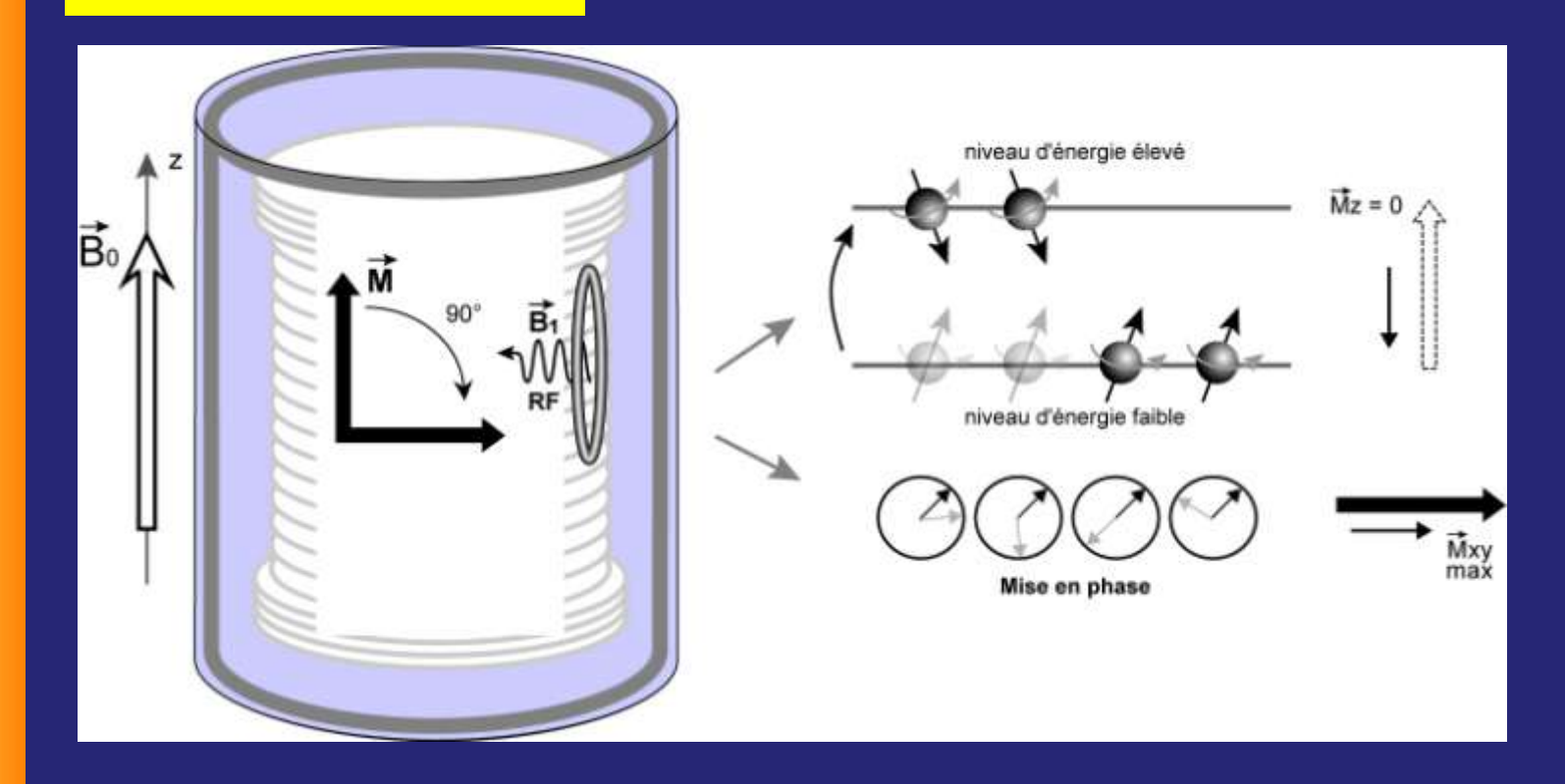
Le phénomène de résonance magnétique

La relaxation

Le signal

Le contraste en T1, T2 et densité protonique

En résumé



$$E = hv_r = \Delta E$$

$$\omega_r = \omega_0 = \gamma$$
. B_0

C'est la phase d'excitation bascule à 90° (égalisation)

Le magnétisme nucléaire

Action d'un champ magnétique

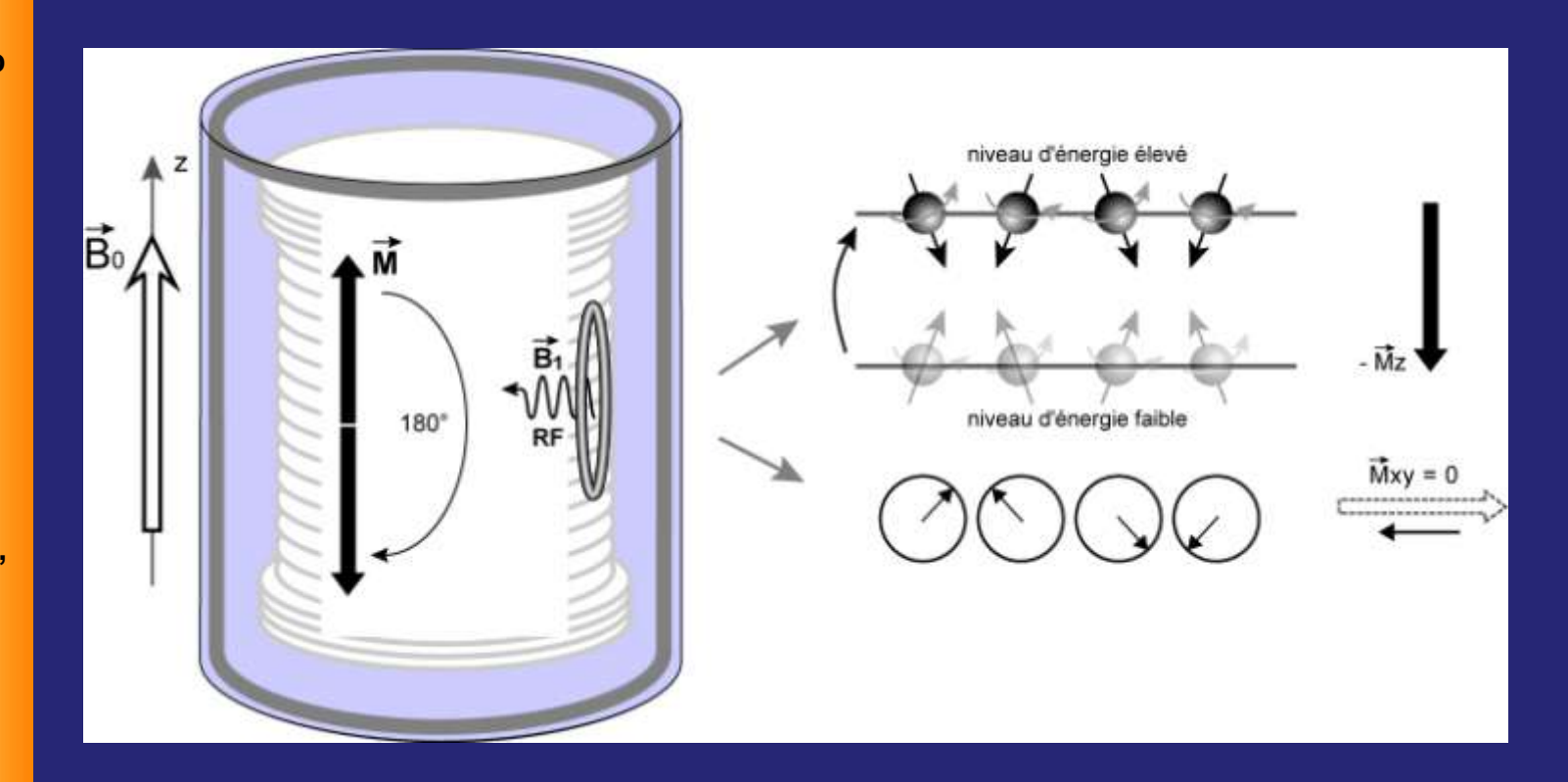
Le phénomène de résonance magnétique

La relaxation

Le signal

Le contraste en T1, T2 et densité protonique

En résumé



C'est la phase d'excitation bascule 180°

Le magnétisme nucléaire

Action d'un champ magnétique

Le phénomène de résonance magnétique

La relaxation

Le signal

Principe de l'écho de spin

Le contraste en T1, T2 et densité protonique

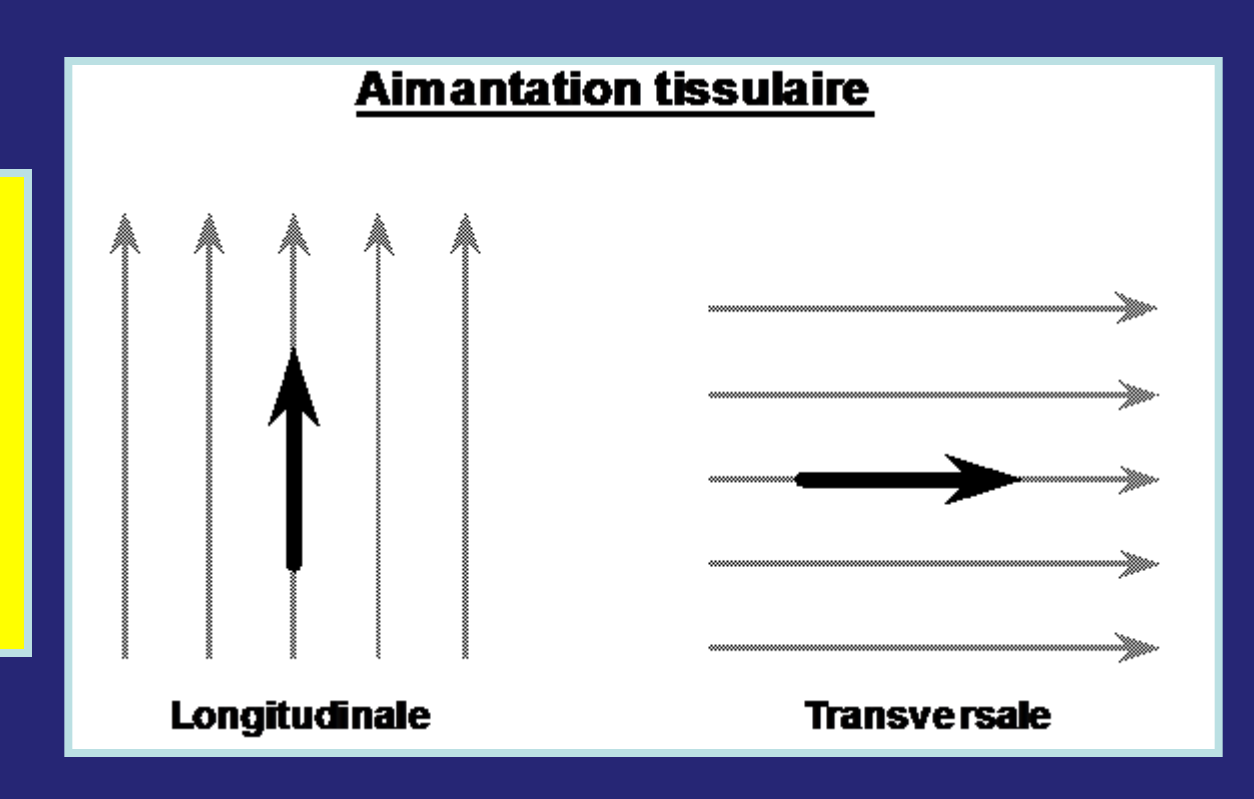




AIMANTATION TISSULAIRE

Deux types

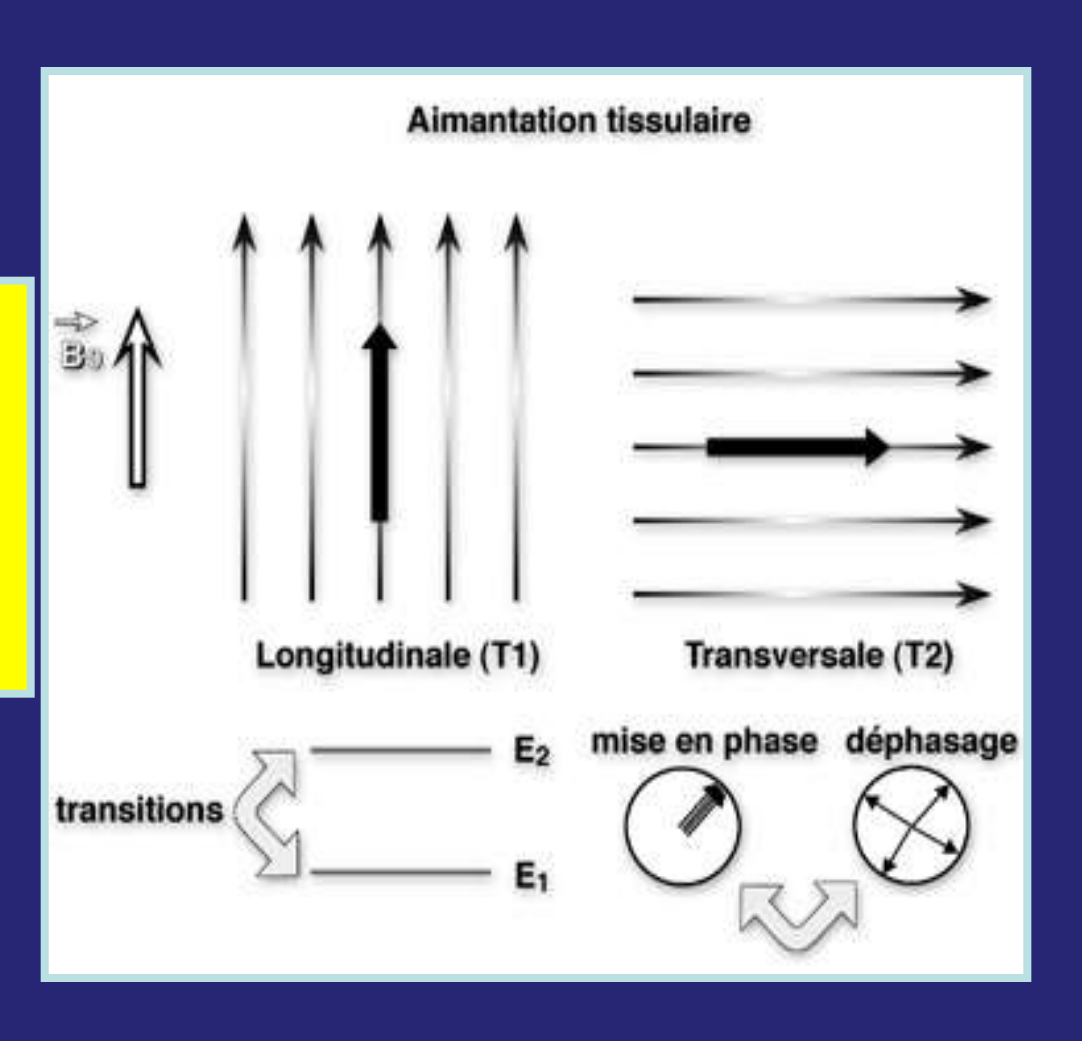
- Longitudinal
- Transversal



AIMANTATION TISSULAIRE

Deux types

- Longitudinal (T1)
- Transversal (T2)



Le magnétisme nucléaire

Action d'un champ magnétique

Le phénomène de résonance magnétique

La relaxation

Le signal

Principe de l'écho de spin

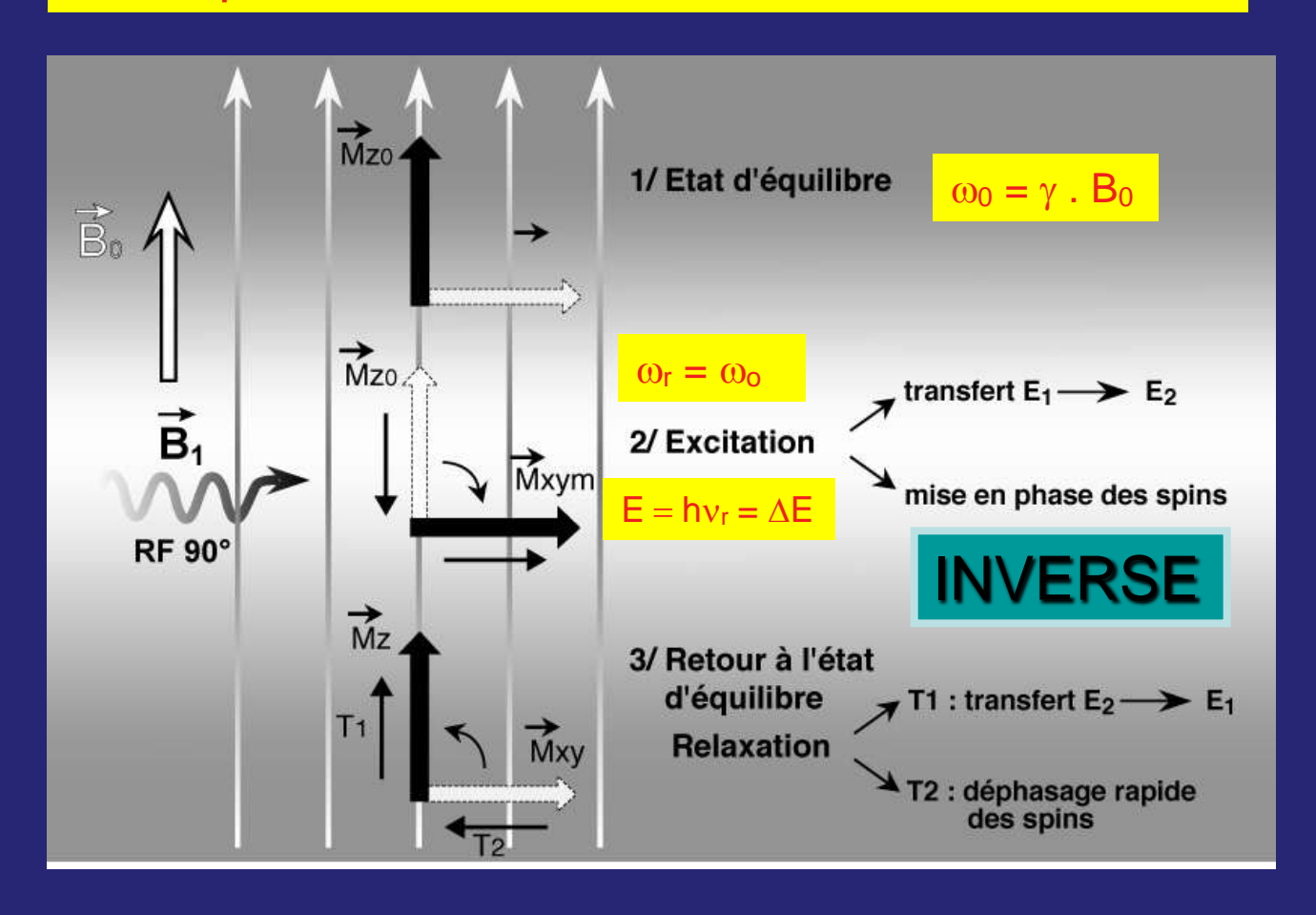
Le contraste en T1, T2 et densité protonique

La relaxation

L'état d'excitation est instable.

Dès sa fin, il y a retour à l'état d'équilibre (stable) :

⇒ les phénomènes inverses vont avoir lieu.



Le magnétisme nucléaire

Action d'un champ magnétique

Le phénomène de résonance magnétique

La relaxation

- T1 - T2

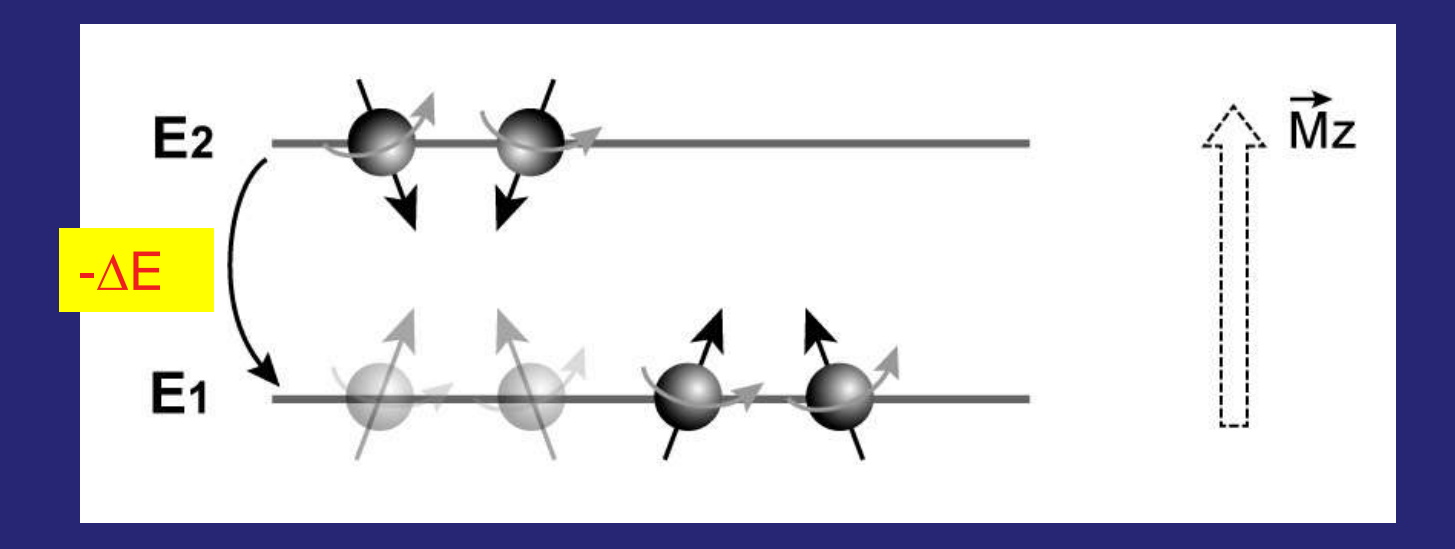
Le signal

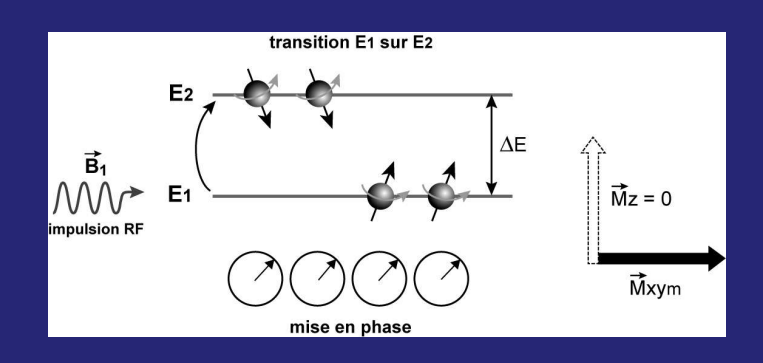
Principe de l'écho de spin

Le contraste en T1, T2 et densité protonique

Mise en place des évènements d'une séquence « perte » protons E2 de $-\Delta$ E

Transitions inverses de E2 sur E1 des protons (antiparallèle vers parallèle), ce qui entraîne la repousse de Mz (ici après une impulsion de 90°)





Le magnétisme nucléaire

Action d'un champ magnétique

Le phénomène de résonance magnétique

La relaxation

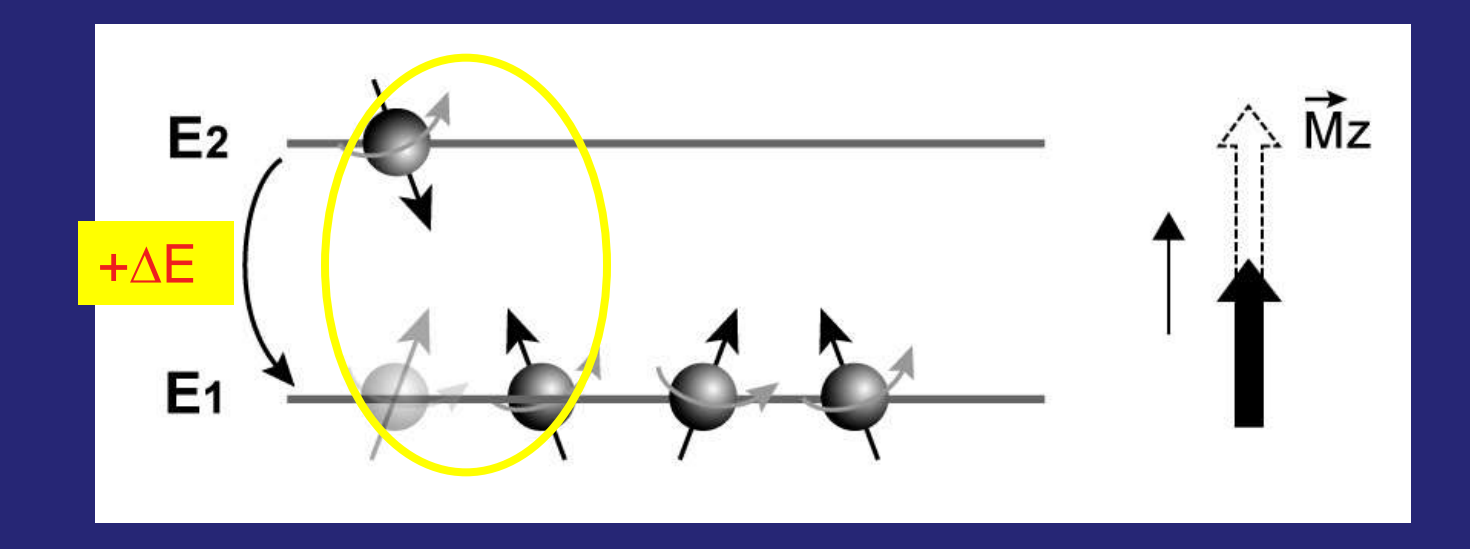
- T1 - T2

Le signal

Principe de l'écho de spin

Le contraste en T1, T2 et densité protonique

Mise en place des évènements d'une séquence Transitions inverses de E2 sur E1 des protons (antiparallèle vers parallèle), ce qui entraîne la repousse de Mz



Le magnétisme nucléaire

Action d'un champ magnétique

Le phénomène de résonance magnétique

La relaxation

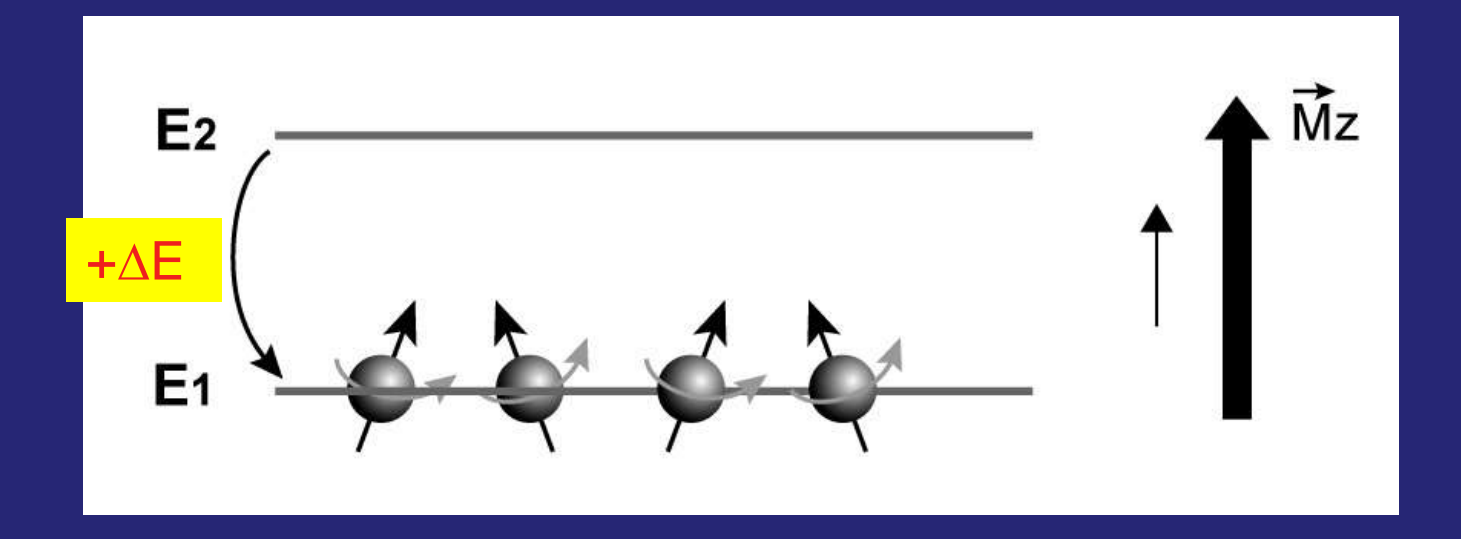
- T1 - T2

Le signal

Principe de l'écho de spin

Le contraste en T1, T2 et densité protonique

Mise en place des évènements d'une séquence Transitions inverses de E2 sur E1 des protons (antiparallèle vers parallèle), ce qui entraîne la repousse de Mz



C'est la relaxation longitudinale T1

Le magnétisme nucléaire

Action d'un champ magnétique

Le phénomène de résonance magnétique

La relaxation

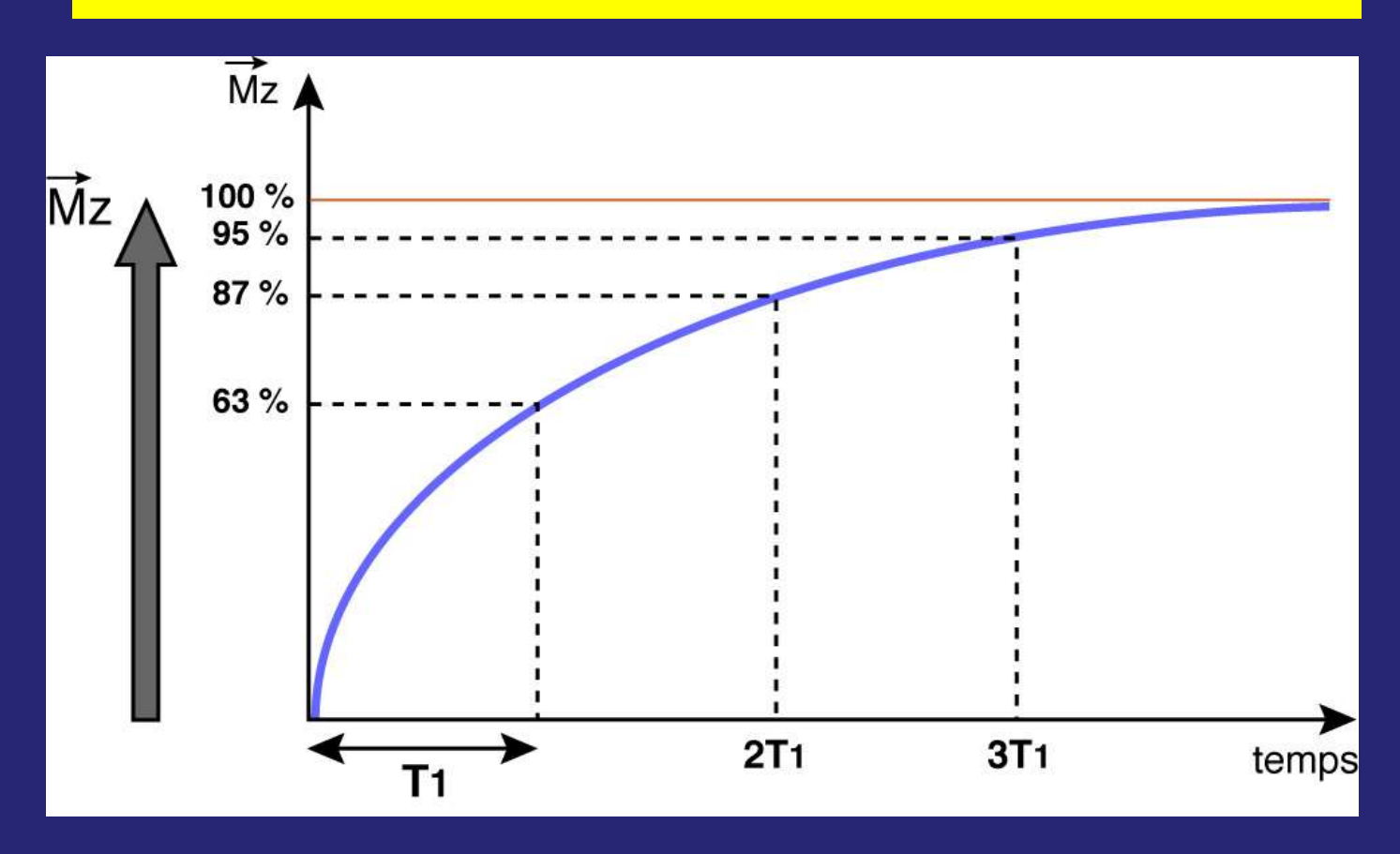
- T1 - T2

Le signal

Principe de l'écho de spin

Le contraste en T1, T2 et densité protonique

Mise en place des évènements d'une séquence T₁ est un temps (en ms) correspondant à la repousse de Mz ⇒ c'est le temps mis par Mz pour atteindre 63% de sa valeur initiale.



C'est une exponentielle croissante:

$$Mz(t) = Mo(1 - e^{-t/T_1})$$

Le magnétisme nucléaire

Action d'un champ magnétique

Le phénomène de résonance magnétique

La relaxation

- T1 - T2

Le signal

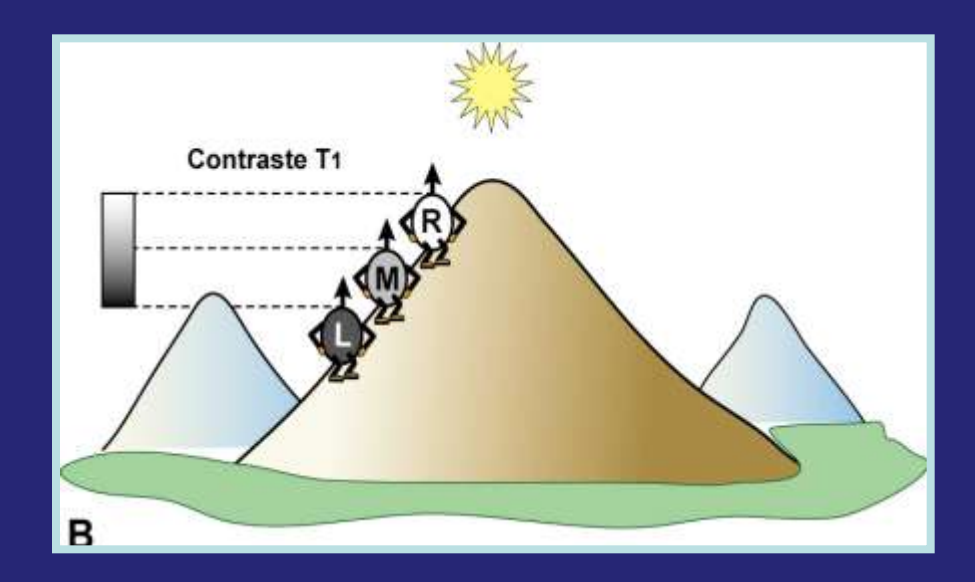
Principe de l'écho de spin

Le contraste en T1, T2 et densité protonique

Mise en place des évènements d'une séquence

Repousse de Mz (T1-63%) ⇒ pas instantanée





C'est une exponentielle croissante:

$$Mz(t) = Mo(1 - e^{-t/T_1})$$

Le magnétisme nucléaire

Action d'un champ magnétique

Le phénomène de résonance magnétique

La relaxation

- T1 - T2

Le signal

Principe de l'écho de spin

Le contraste en T1, T2 et densité protonique

Mise en place des évènements d'une séquence On l'appelle également *relaxation spin-réseau* car ce phénomène s'accompagne, lors du retour des protons du niveau de haute énergie E2 sur le niveau de basse énergie E1, d'une émission d'énergie (restitution de l'énergie absorbée lors de l'excitation) par interaction (échange thermique) avec le milieu moléculaire environnant ou réseau.

L' ordre de grandeur pour le T1 des tissus biologiques est de 500 ms à 1000 ms. Le T1 varie avec la structure moléculaire ainsi que l'état solide ou liquide de la matière.

Tissus	T1	
	0,5 T	1,5 T
Muscle	550	870
Foie	325	490
Rein	495	650
Graisse	215	260
SB	540	785
SG	655	920
LCR	2000	3000

Le magnétisme nucléaire

Action d'un champ magnétique

Le phénomène de résonance magnétique

La relaxation

- T1 - T2

Le signal

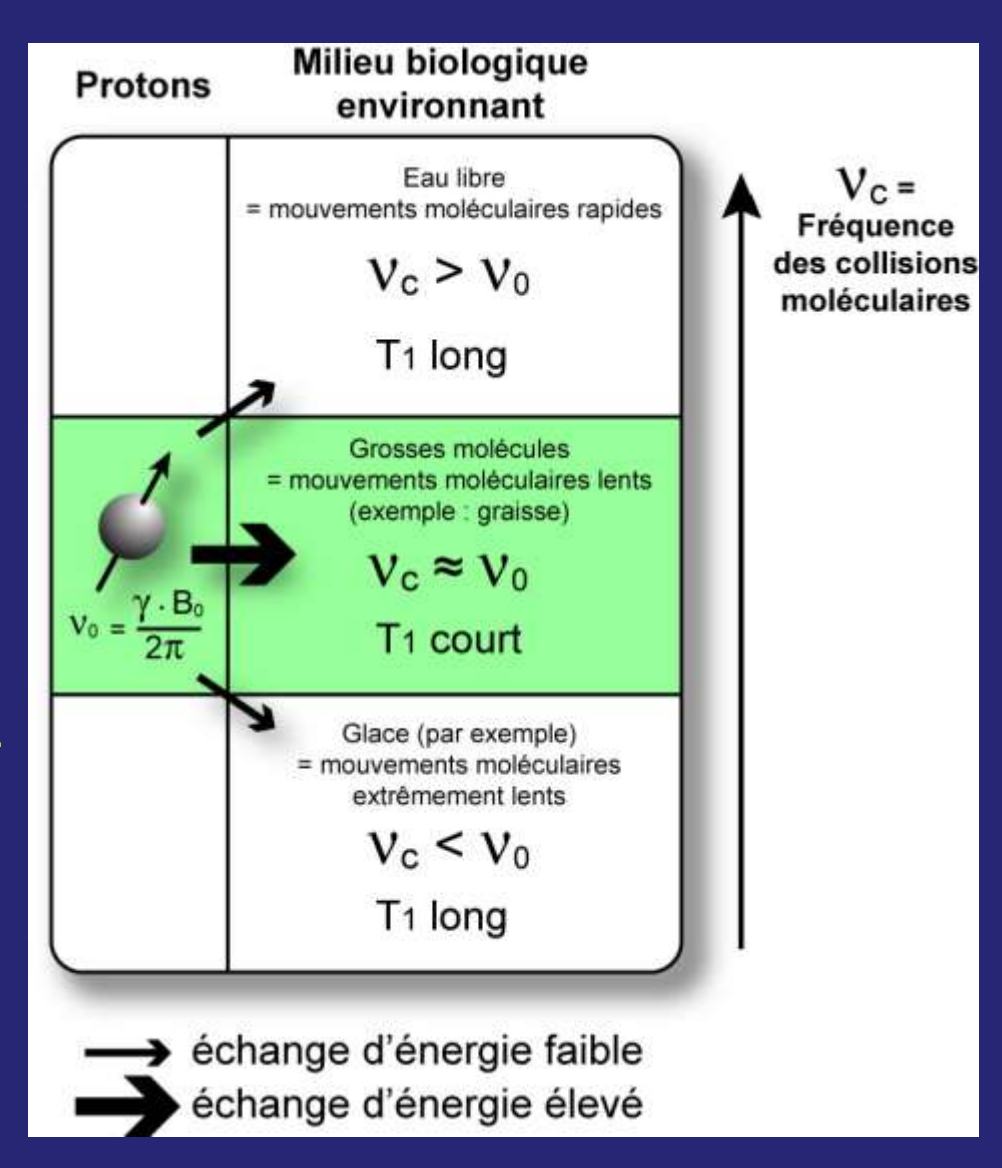
Principe de l'écho de spin

Le contraste en T1, T2 et densité protonique

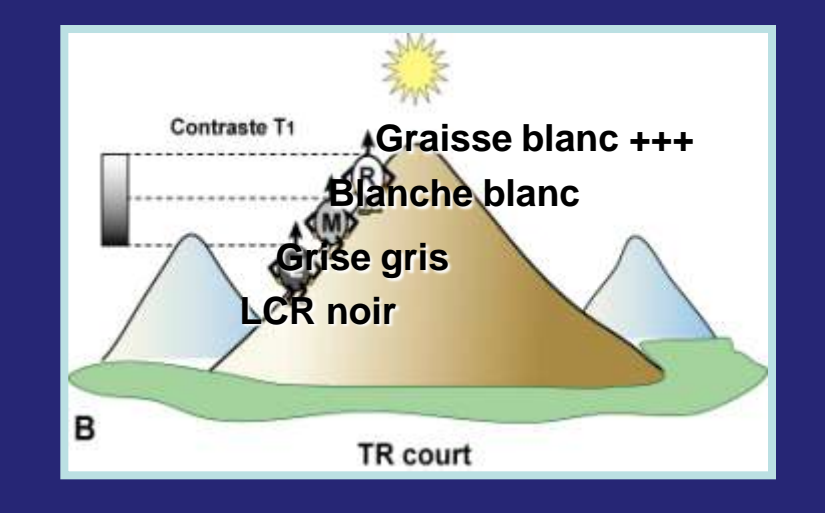
Mise en place des évènements d'une séquence

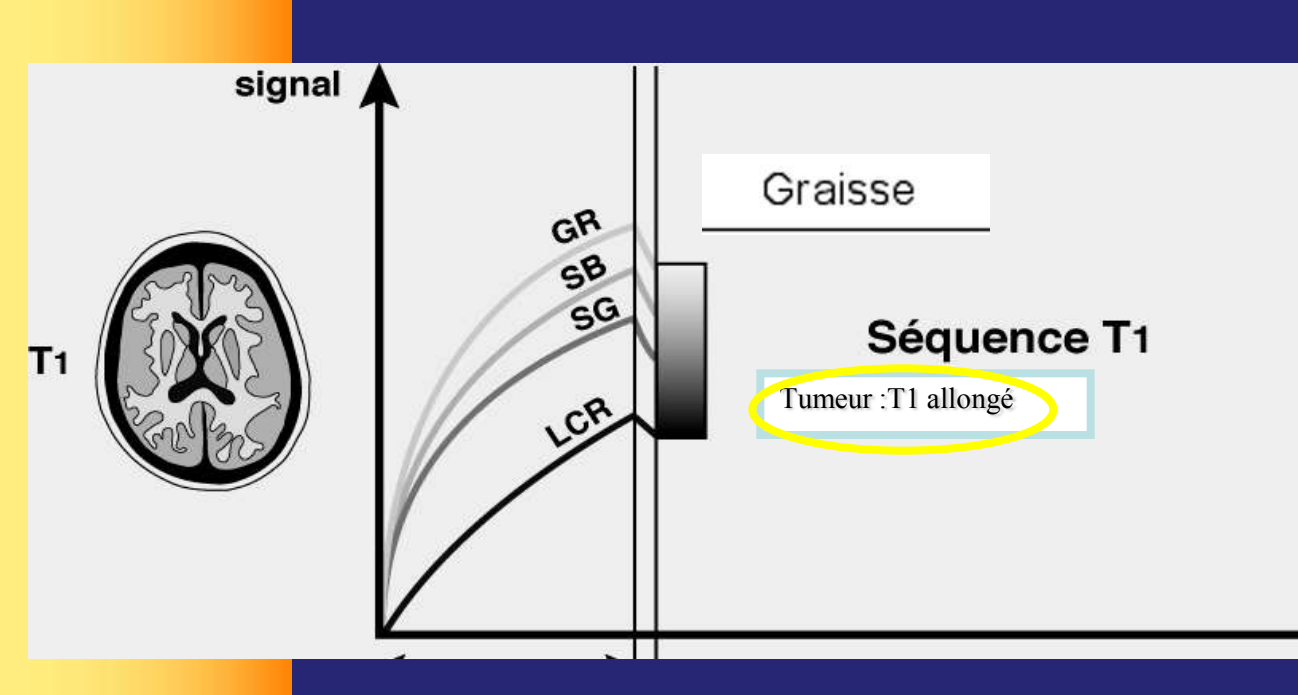
Pourquoi de telles différences entre les tissus ?

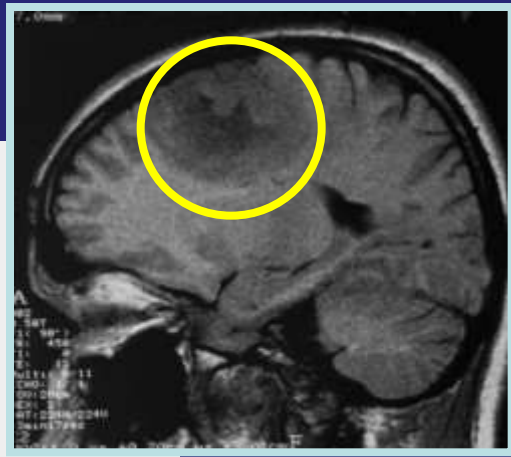
Pour que les protons cèdent leur énergie au milieu biologique environnant, il faut que leur fréquence de précession v_0 soit proche de la fréquence des collisions moléculaires v_c (mouvements browniens).

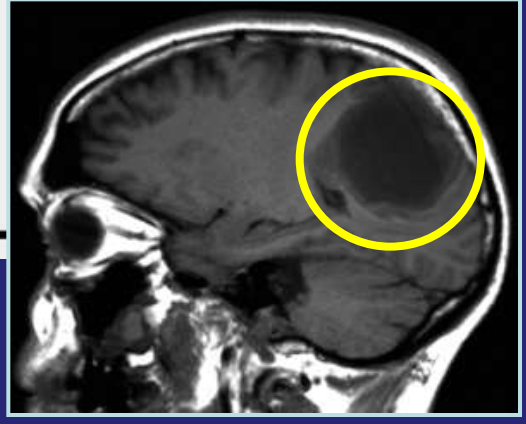


Les valeurs de T₁ sont proportionnelles à B₀









Le magnétisme nucléaire

Action d'un champ magnétique

Le phénomène de résonance magnétique

La relaxation

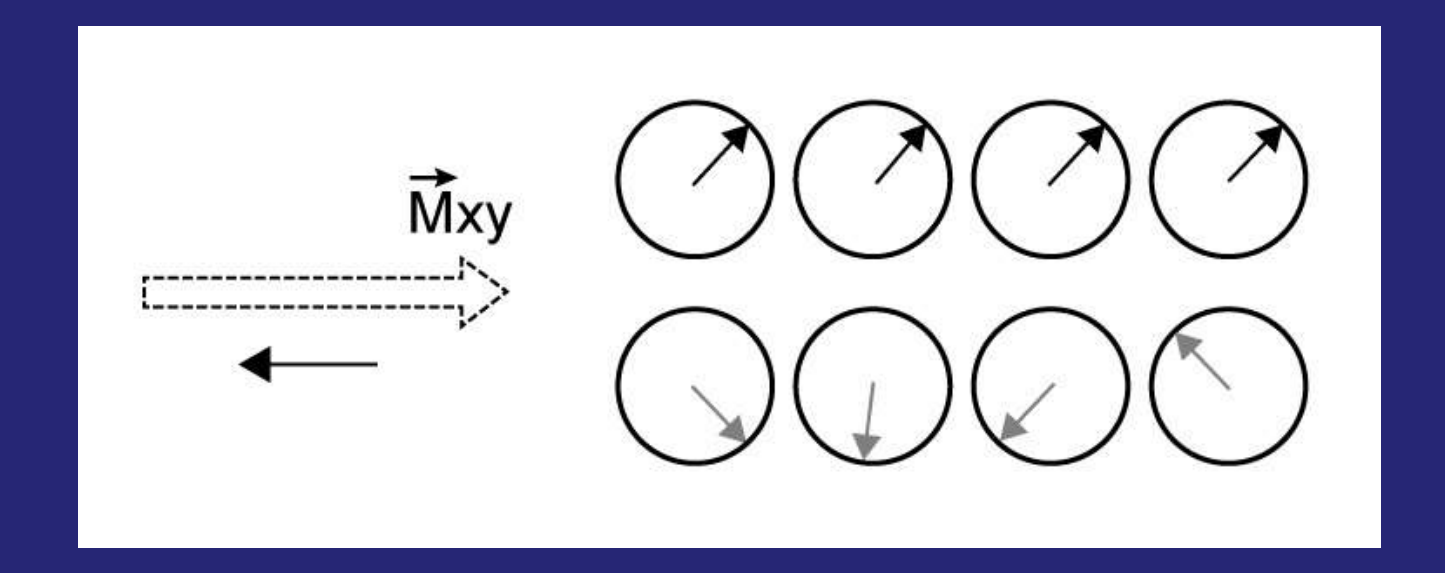
- T1 - T2

Le signal

Principe de l'écho de spin

Le contraste en T1, T2 et densité protonique

Mise en place des évènements d'une séquence 2. Déphasage des protons (on dit aussi perte de cohérence de phase des spins) ce qui entraîne une décroissance de Mxy



C'est la relaxation transversale T2

Le magnétisme nucléaire

Action d'un champ magnétique

Le phénomène de résonance magnétique

La relaxation

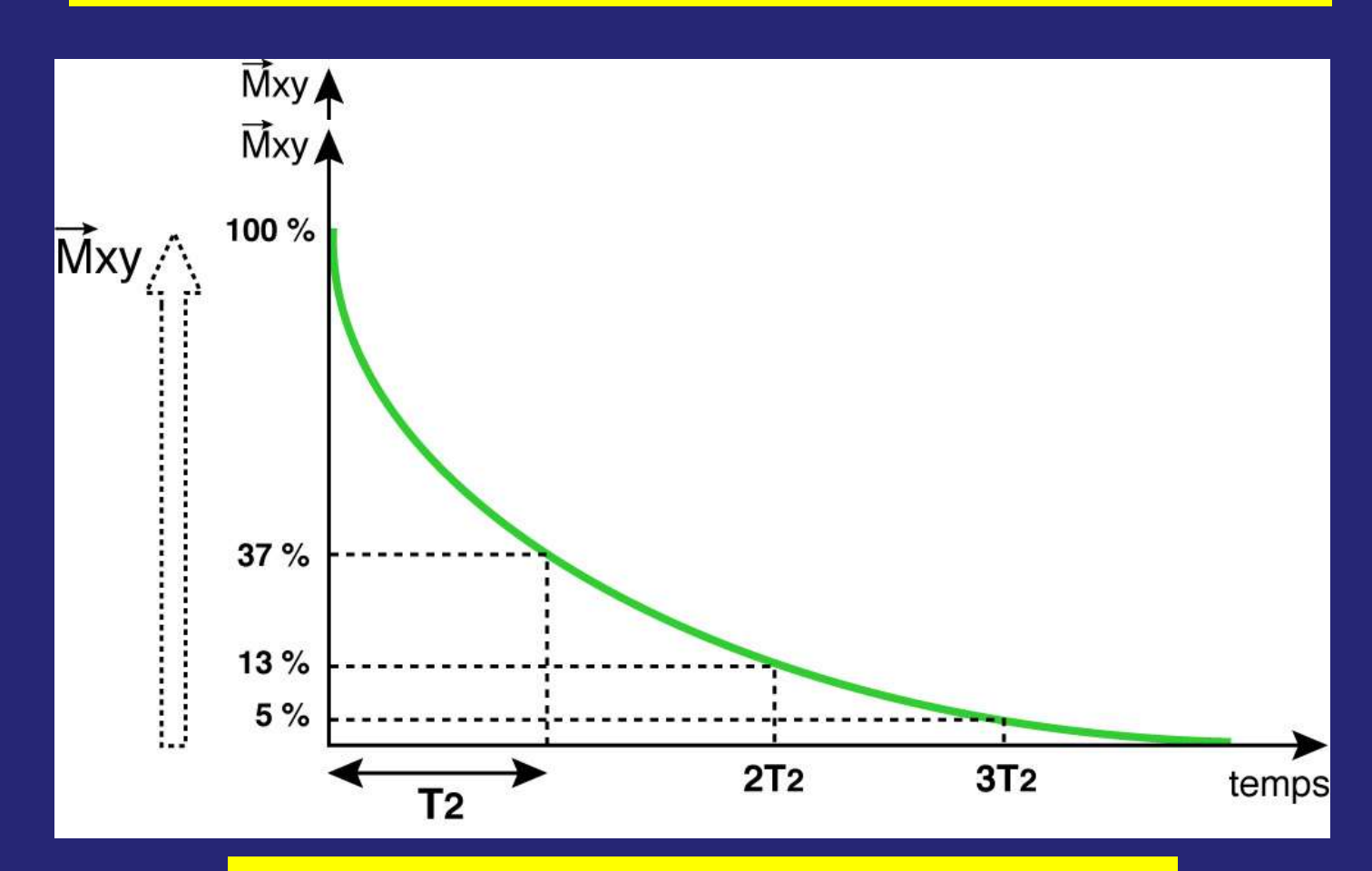
- T1 - T2

Le signal

Principe de l'écho de spin

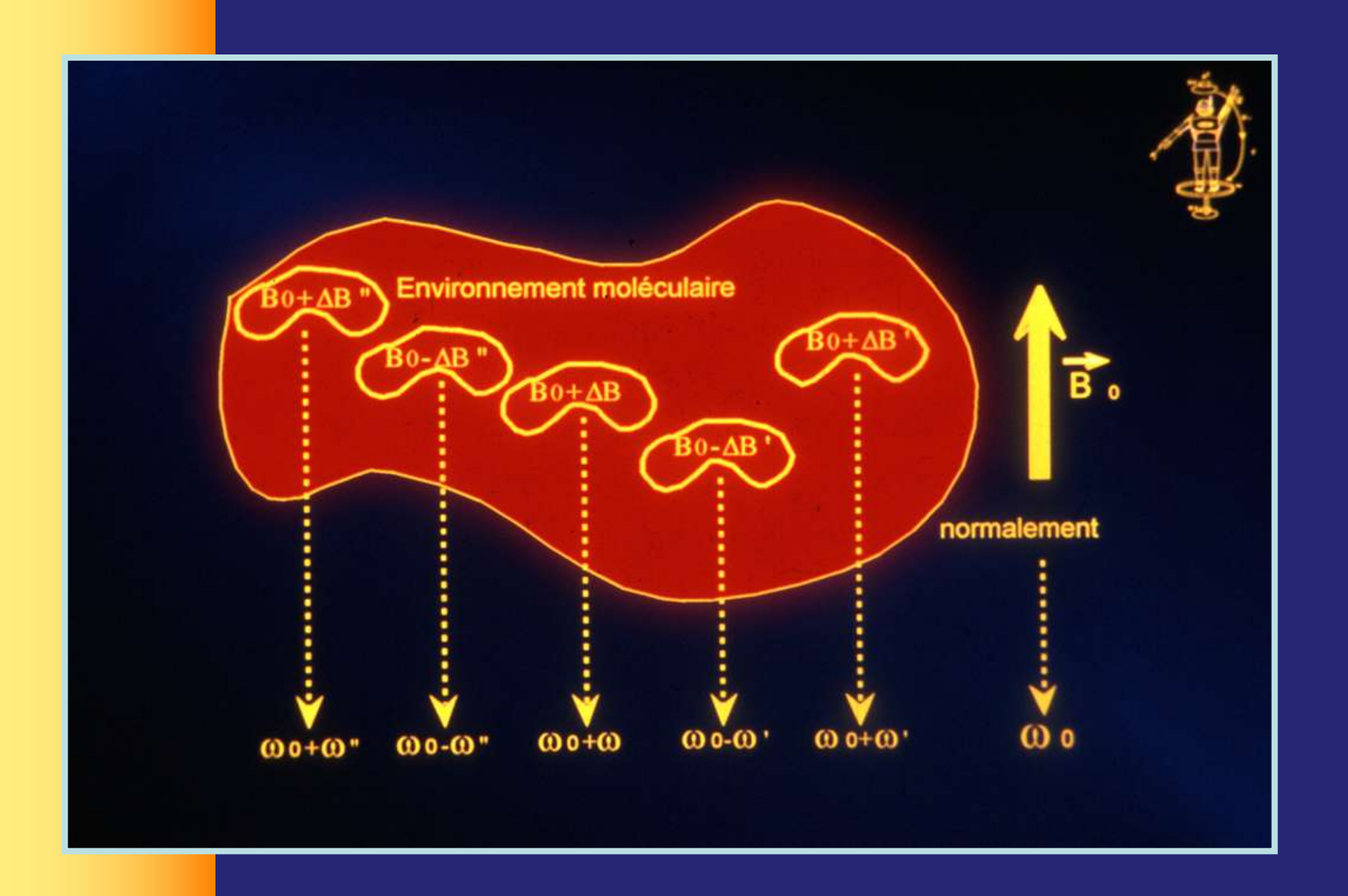
Le contraste en T1, T2 et densité protonique

Mise en place des évènements d'une séquence T2 est un temps (en ms) correspondant à la décroissance de Mxy \Rightarrow c'est le temps mis par Mxy pour atteindre 37% de sa valeur initiale (Mxy a perdu 63%).



C'est une exponentielle décroissante :

$$Mxy (t) = Mo e^{-t/T_2}$$



Le magnétisme nucléaire

Action d'un champ magnétique

Le phénomène de résonance magnétique

La relaxation

- T1 - T2

Le signal

Principe de l'écho de spin

Le contraste en T1, T2 et densité protonique

Mise en place des évènements d'une séquence On l'appelle également *relaxation spin-spin* car ce phénomène est la conséquence d'une interaction des protons ("spins") entre eux.

L'ordre de grandeur pour le T2 des tissus biologiques est d'environ 50 ms à 100 ms. Comme le T1, le T2 varie avec la structure moléculaire ainsi qu'avec l'état solide ou liquide de la matière.

Tissus	T2
Muscle	47
Foie	50
Rein	60
Graisse	85
SB	90
SG	100
LCR	200

Le magnétisme nucléaire

Action d'un champ magnétique

Le phénomène de résonance magnétique

La relaxation

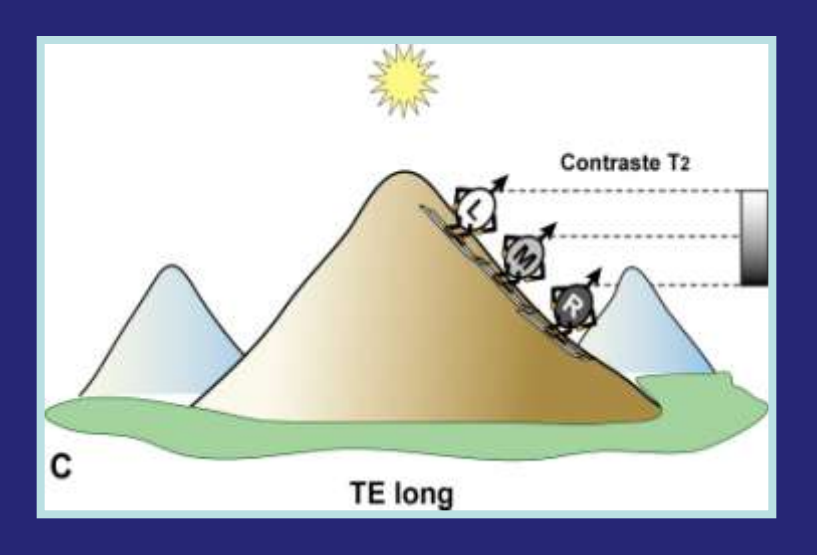
- T1 - T2

Le signal

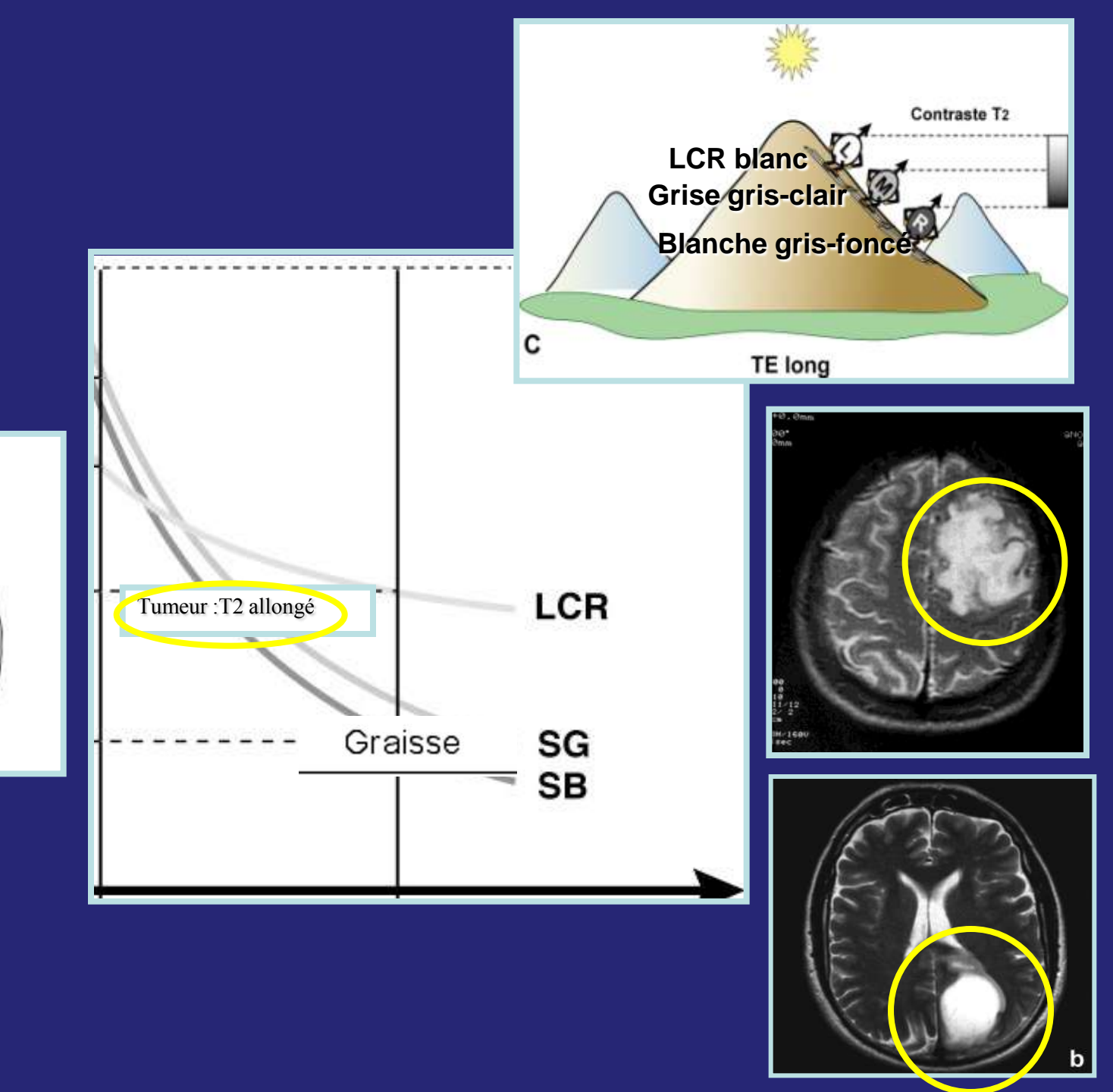
Principe de l'écho de spin

Le contraste en T1, T2 et densité protonique

Mise en place des évènements d'une séquence décroissance de $\overline{M}xy \Rightarrow$ pas instantanée, bcp plus rapide (10) repousse Mz)



C'est une exponentielle décroissante :



T2

Le magnétisme nucléaire

Action d'un champ magnétique

Le phénomène de résonance magnétique

La relaxation

Le signal

Principe de l'écho de spin

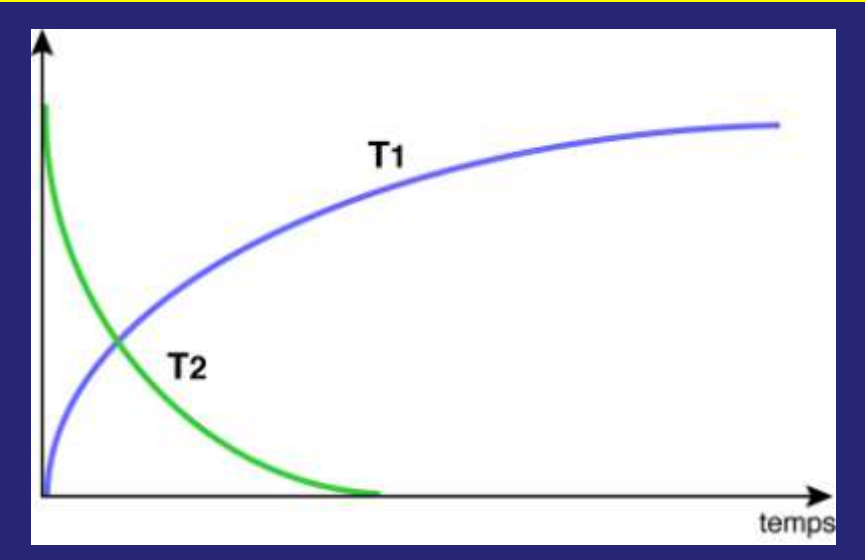
Le contraste en T1, T2 et densité protonique

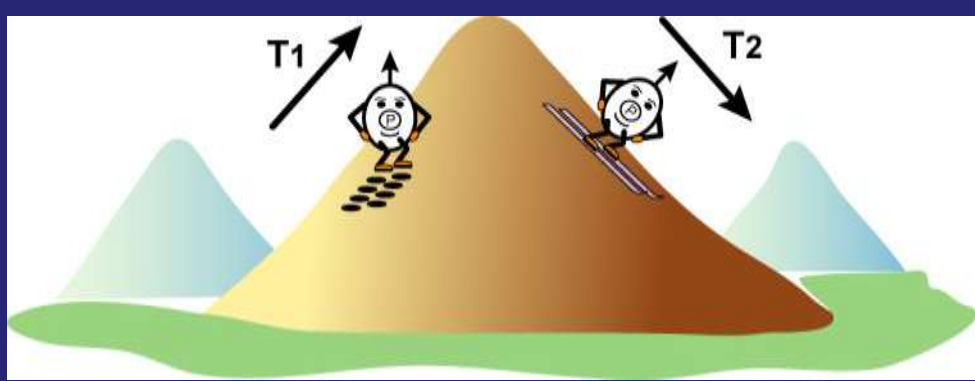
Mise en place des évènements d'une séquence

Durée T1/T2

≠ mécanismes

- Les T2 sont environ 10 fois plus courts que les T1.





TE 10 à 20 ms ms T2 (10 fois plus courts) T1 0,5 à 3s

Le magnétisme nucléaire

Action d'un champ magnétique

Le phénomène de résonance magnétique

La relaxation

Le signal

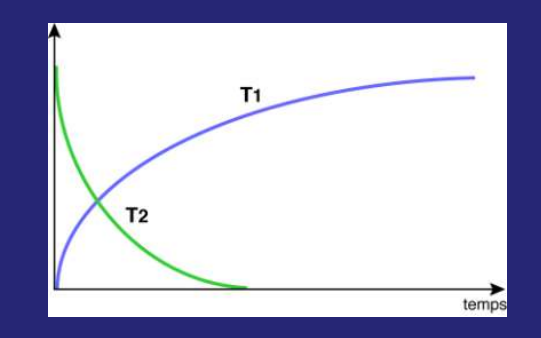
Principe de l'écho de spin

Le contraste en T1, T2 et densité protonique

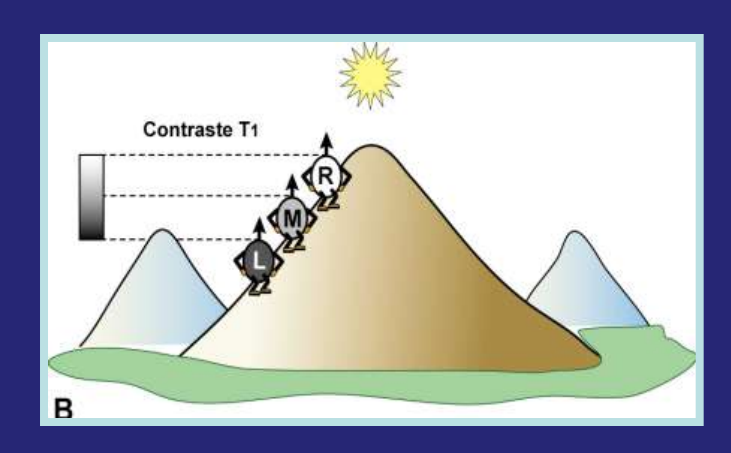
Mise en place des évènements d'une séquence

Contraste T1/T2

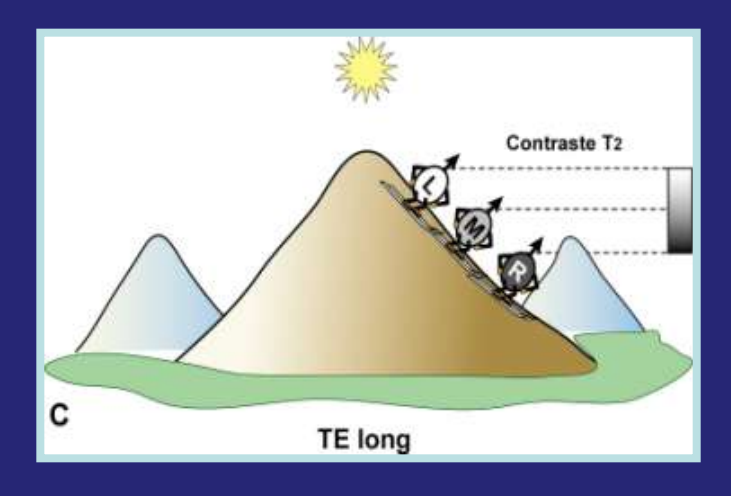
« Inversé »



-T1 aimantation repousse (mesure directe de la repousse): « sportif » T1 court = signal élevé blanc, « pas sportif » T1 court = noir



-T2 aimantation décroit (mesure de l'aimantation qui décroit impossible: mesure de ce qu'il reste): « sportif » T2 court = signal faible noir, « pas sportif » T2 long = blanc



Le magnétisme nucléaire

Action d'un champ magnétique

Le phénomène de résonance magnétique

La relaxation

Le contraste

Mise en place des évènements d'une séquence

Contraste T1/T2

« Inversé »

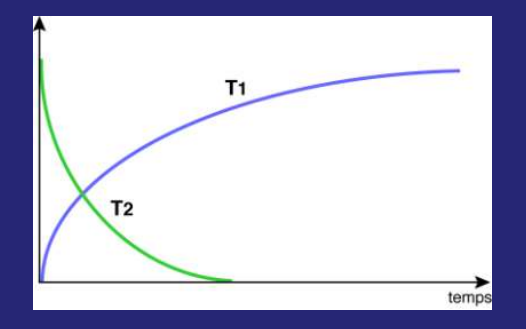
Blanc T1/Noir T2

Noir T1/Blanc T2

(sauf graisse)

- « sportif T1 ⇒ sportif T2 »





Le magnétisme nucléaire

Action d'un champ magnétique

Le phénomène de résonance magnétique

La relaxation

Le contraste

Mise en place des évènements d'une séquence

Contraste T1/T2

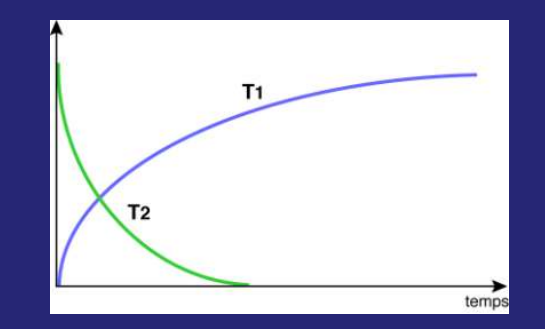
« Inversé »

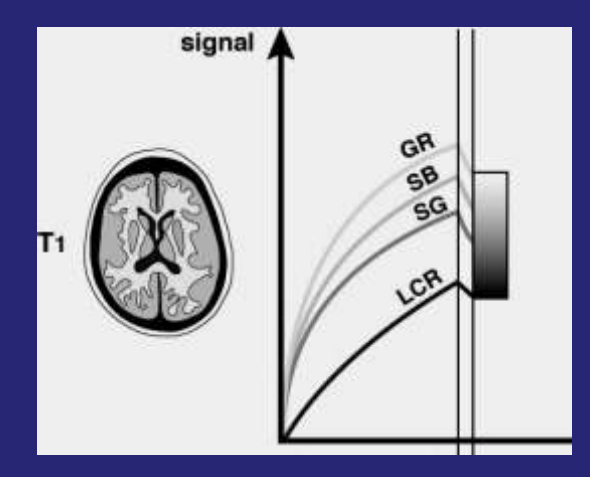
Blanc T1/Noir T2

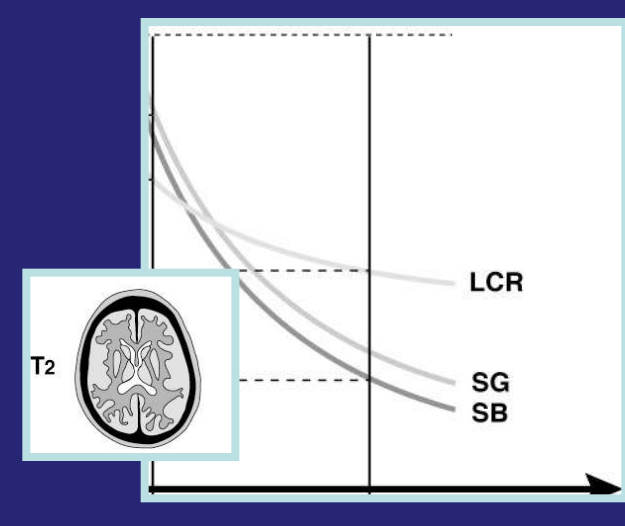
Noir T1/Blanc T2

(sauf graisse)

- « sportif T1 ⇒ sportif T2 »
- -T1 (court) = signal élevé blanc T1
- T2 (court) = noir T2
- « pas sportif T1 ⇒ pas sportif T2 »
- -T1 (long) = signal faible noir T1
- -« pas sportif » T2 (long) = blanc
 T2







Le magnétisme nucléaire

Action d'un champ magnétique

Le phénomène de résonance magnétique

La relaxation

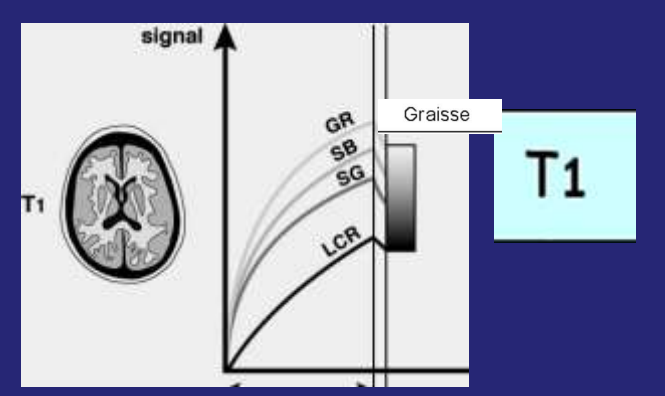
Le contraste en T1, T2

Mise en place des évènements d'une séquence

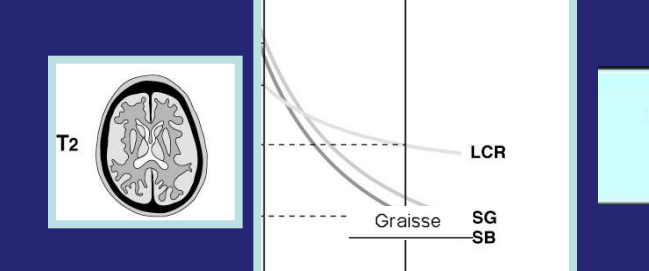
Contraste T1/T2 « Inversé » B/N & N/B

Sauf Graisse en ES (blanc ESR)

T2



260
/85
920
000



Graisse	85
SB	90
SG	100
LCR	200

Le magnétisme nucléaire

Action d'un champ magnétique

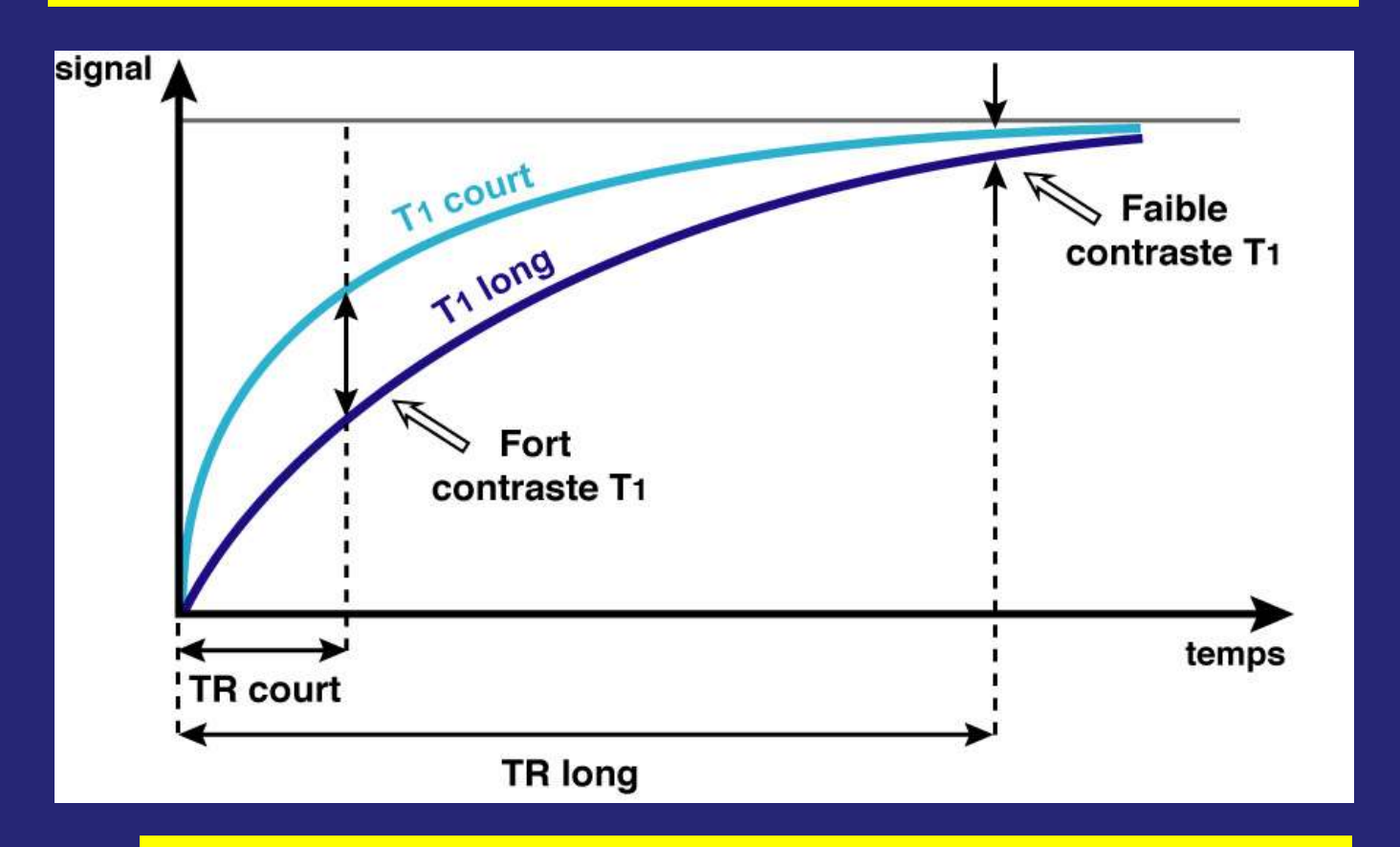
Le phénomène de résonance magnétique

La relaxation

Le contraste en T1, T2 et densité protonique

- Influence du TR
- Influence du TE
- Pondération en T1
- Pondération en ρ
- Pondération en T2

Le TR va ainsi conditionner le contraste en T1 c'est-àdire la pondération en T1 d'une séquence (en fait, différencier la vitesse de repousse entre des tissus à T1 différents):



 $TR \ court \ (0,5s) \Rightarrow séquence \ pondérée \ en \ T_1$ $TR \ long \ (2 \ à \ 3s) \Rightarrow séquence \ dépondérée \ en \ T_1$

Le magnétisme nucléaire

Action d'un champ magnétique

Le phénomène de résonance magnétique

La relaxation

Le signal

Principe de l'écho de spin

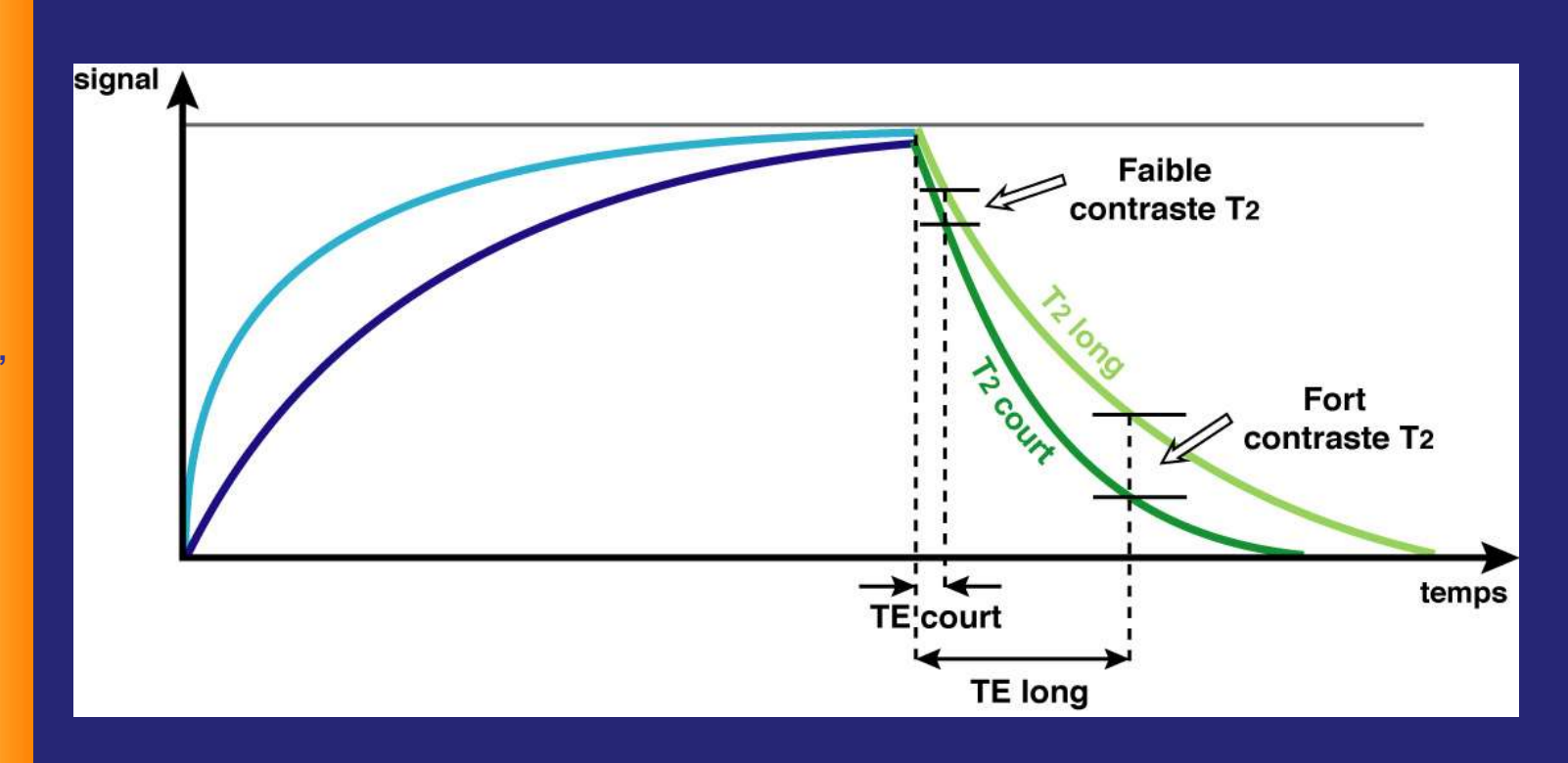
Le contraste en T1, T2 et densité protonique

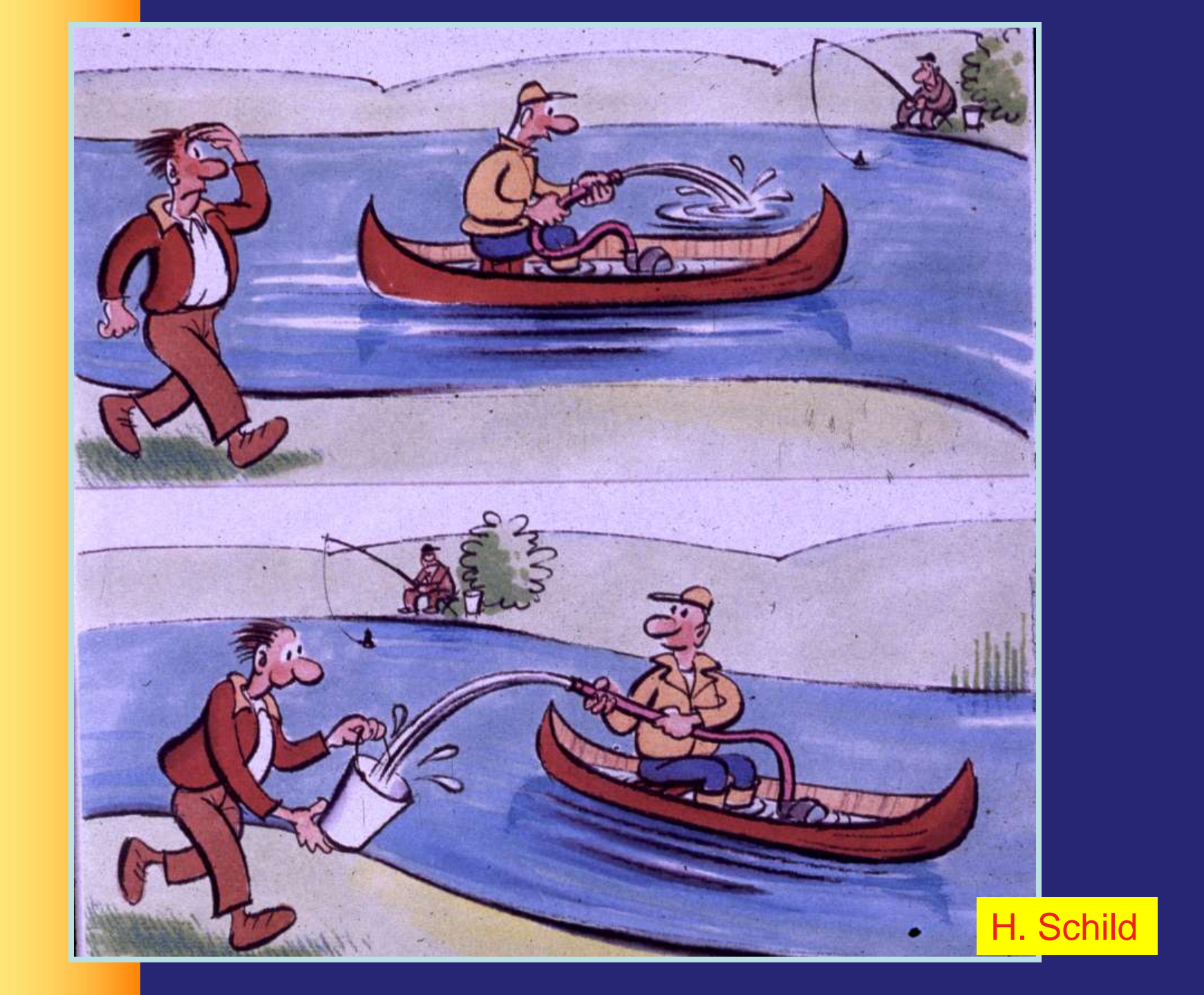
- Influence du TR
- Influence du TE
- Pondération en T1
- Pondération en p
- Pondération en T2

Influence du TE

Le TE conditionne donc la pondération en T2 d'une séquence :

TE long (120 ms)⇒ séquence pondérée en T2
TR court (10 à 20ms)⇒ séquence dépondérée en T2





Le magnétisme nucléaire

Action d'un champ magnétique

Le phénomène de résonance magnétique

La relaxation

Le signal

Principe de l'écho de spin

Le contraste en T1, T2 et densité protonique

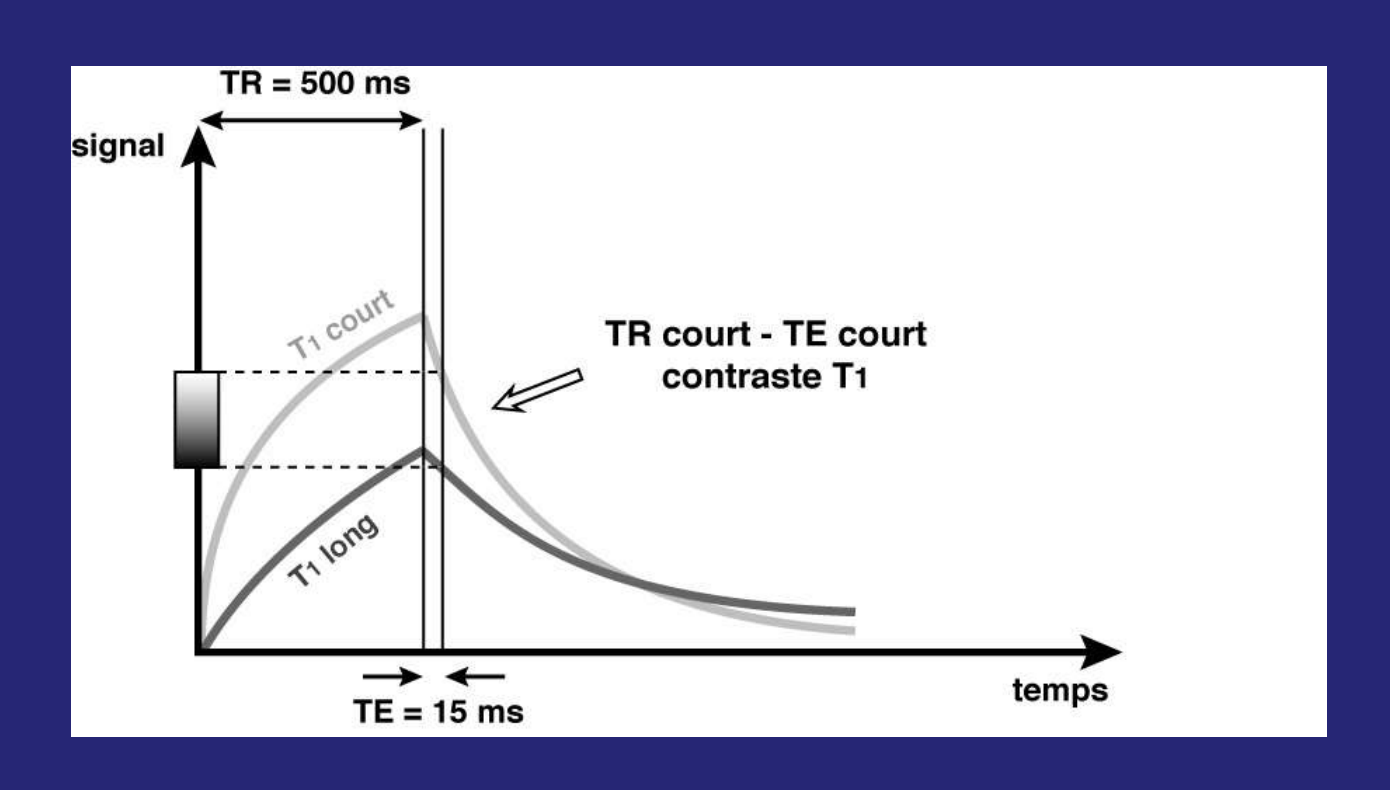
- Influence du TR
- Influence du TE
- Pondération en T1
- Pondération en p
- Pondération en T2

Pondération en T1

TR court (400 à 600 ms) pour favoriser le contraste en T1 (pondération en T1).

TE court (15 ms) pour minimiser le contraste en T2 (dépondération en T2).

Tout est court en T1 : TR et TE. C'est le tissu avec le T1 le plus court qui donne le plus de signal (le plus blanc).



Le magnétisme nucléaire

Action d'un champ magnétique

Le phénomène de résonance magnétique

La relaxation

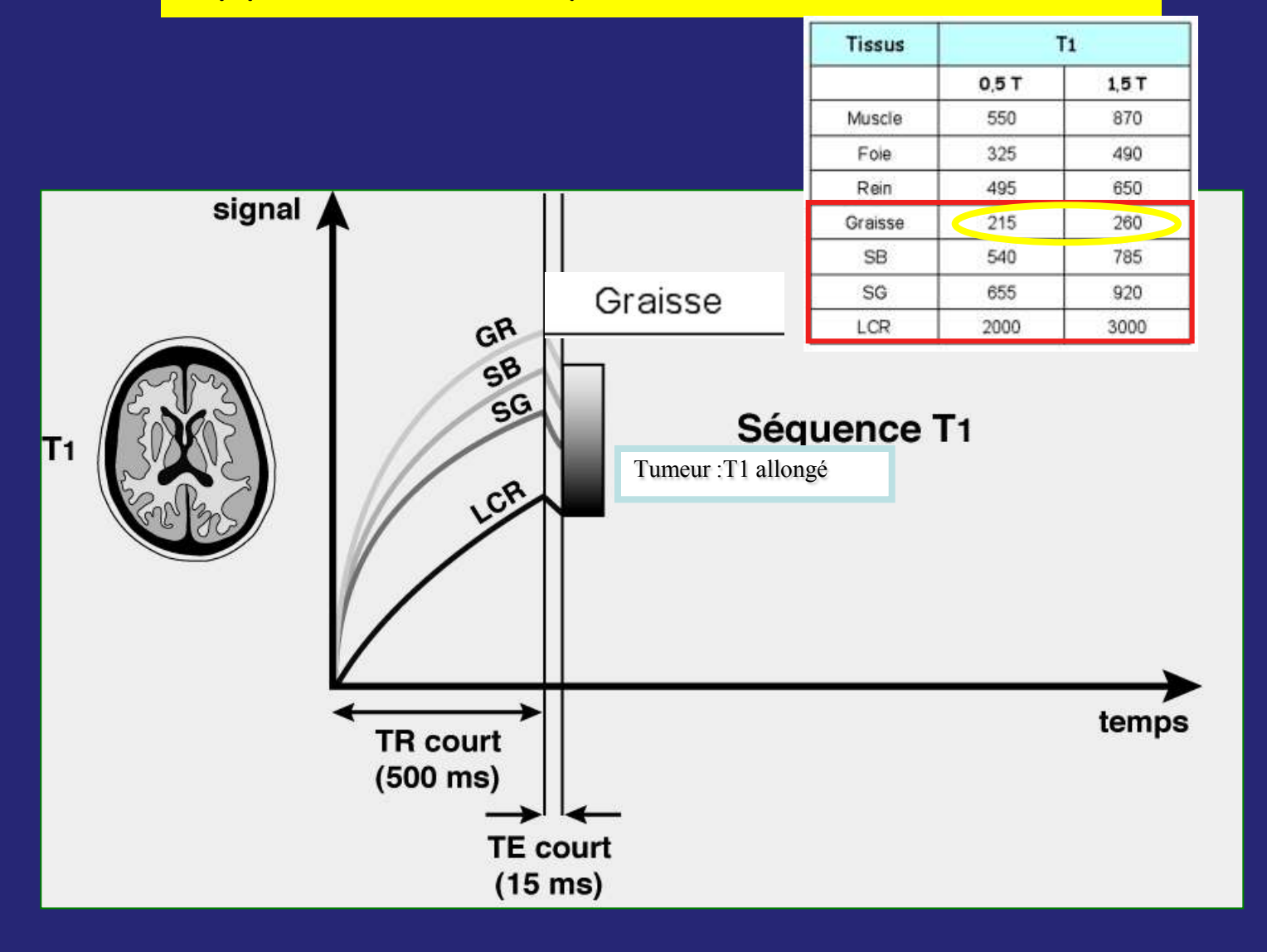
Le signal

Principe de l'écho de spin

Le contraste en T1, T2 et densité protonique

- Influence du TR
- Influence du TE
- Pondération en T1
- Pondération en p
- Pondération en T2

Application au système nerveux central



Le magnétisme nucléaire

Action d'un champ magnétique

Le phénomène de résonance magnétique

La relaxation

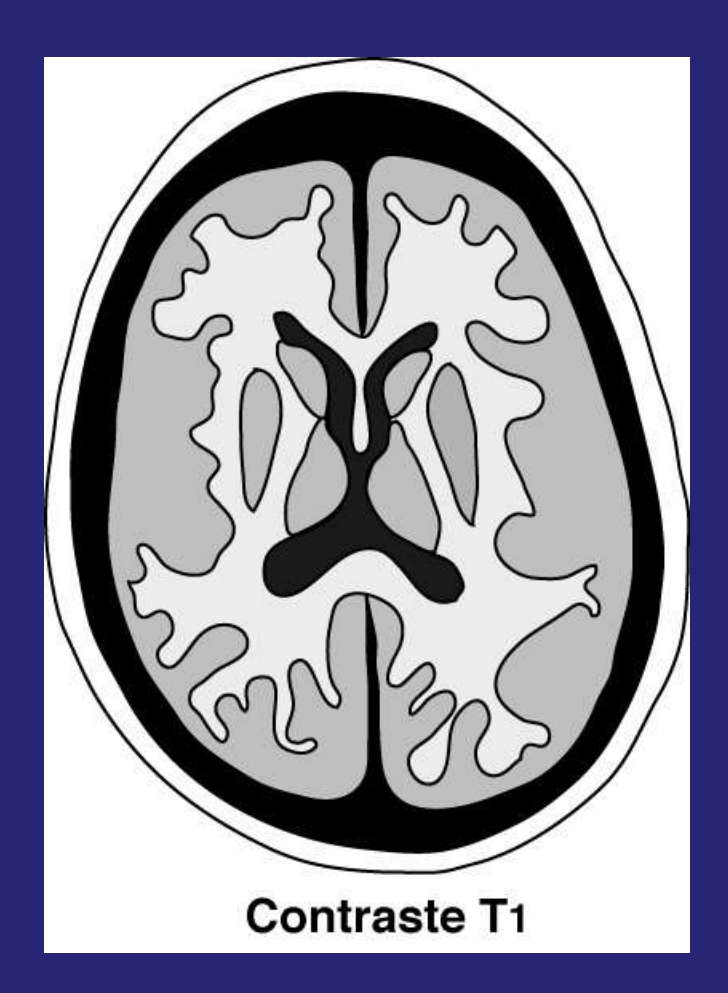
Le signal

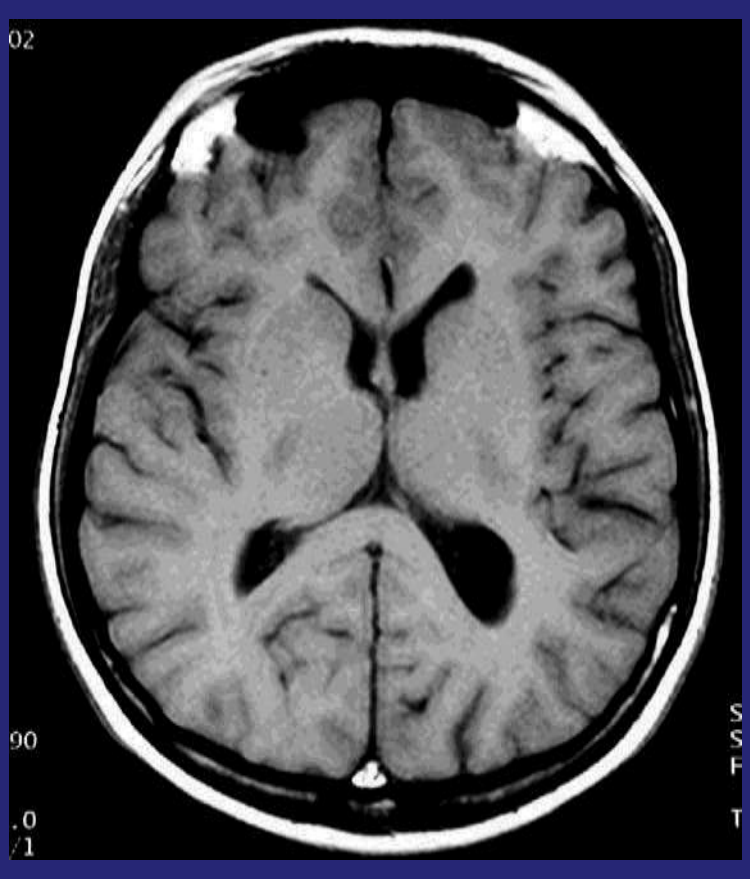
Principe de l'écho de spin

Le contraste en T1, T2 et densité protonique

- Influence du TR
- Influence du TE
- Pondération en T1
- Pondération en ρ
- Pondération en T2

Application au système nerveux central

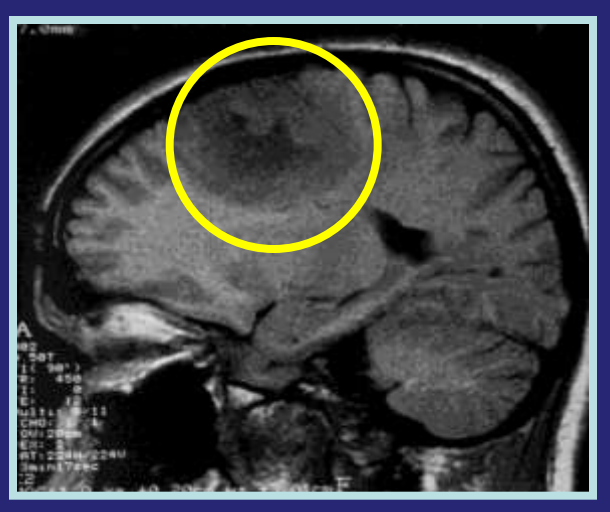


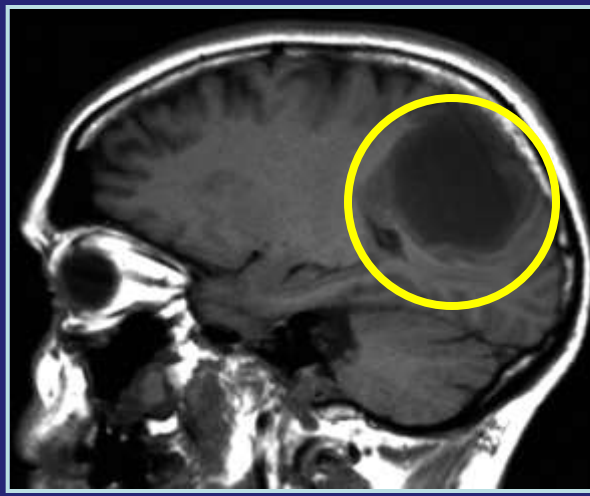


Echo de gradient (Vx blanc /noir ES)

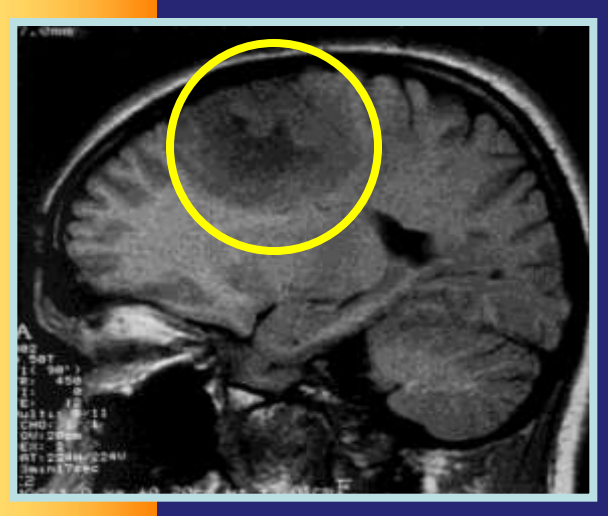
PONDERATION T1

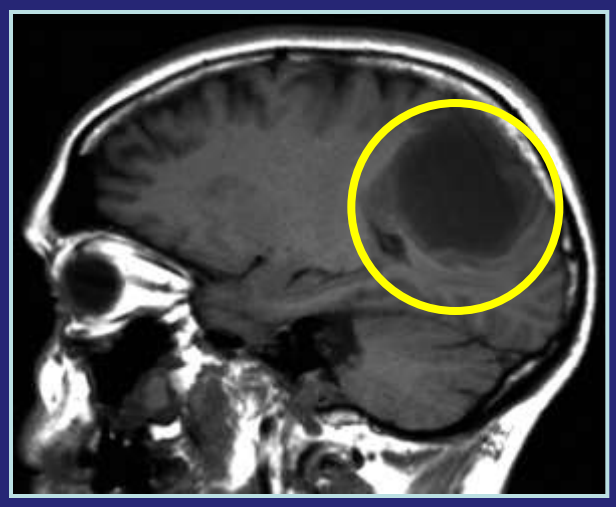
- SEQUENCE « COURTE »
 T1: TR & TE COURTS
- Contraste « ANATOMIQUE »
 : SB BLANCHE
- SG ⊃ GRISE, LCR ⊃ NOIR
- T1 court « hypersignal »
- Graisse T1 très court
 « hypersignal »
- Os air pas de signal

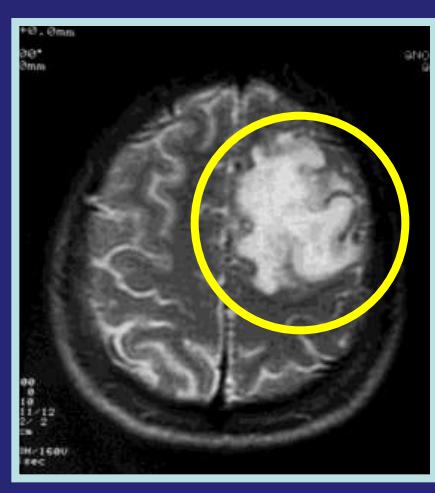


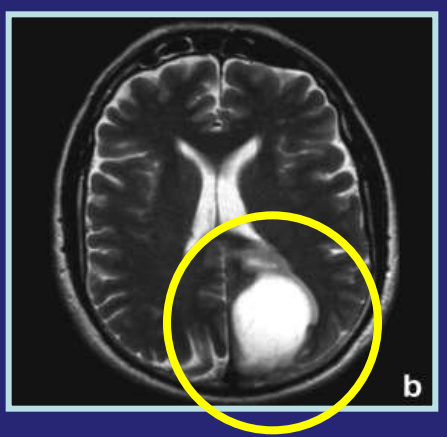


PONDERATION T1 & T2



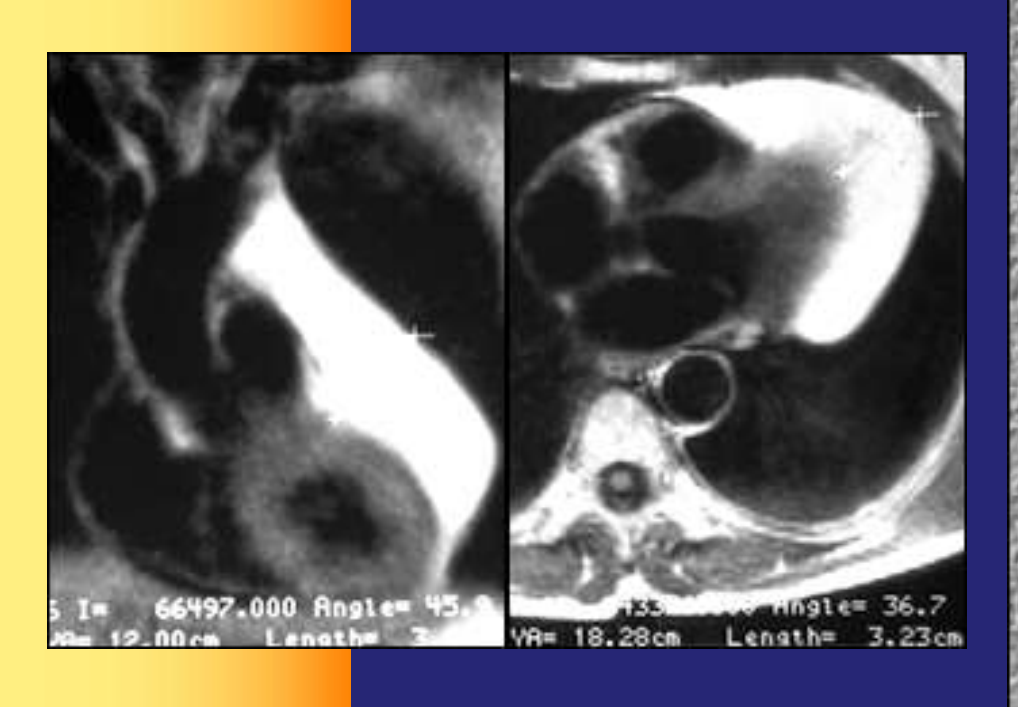


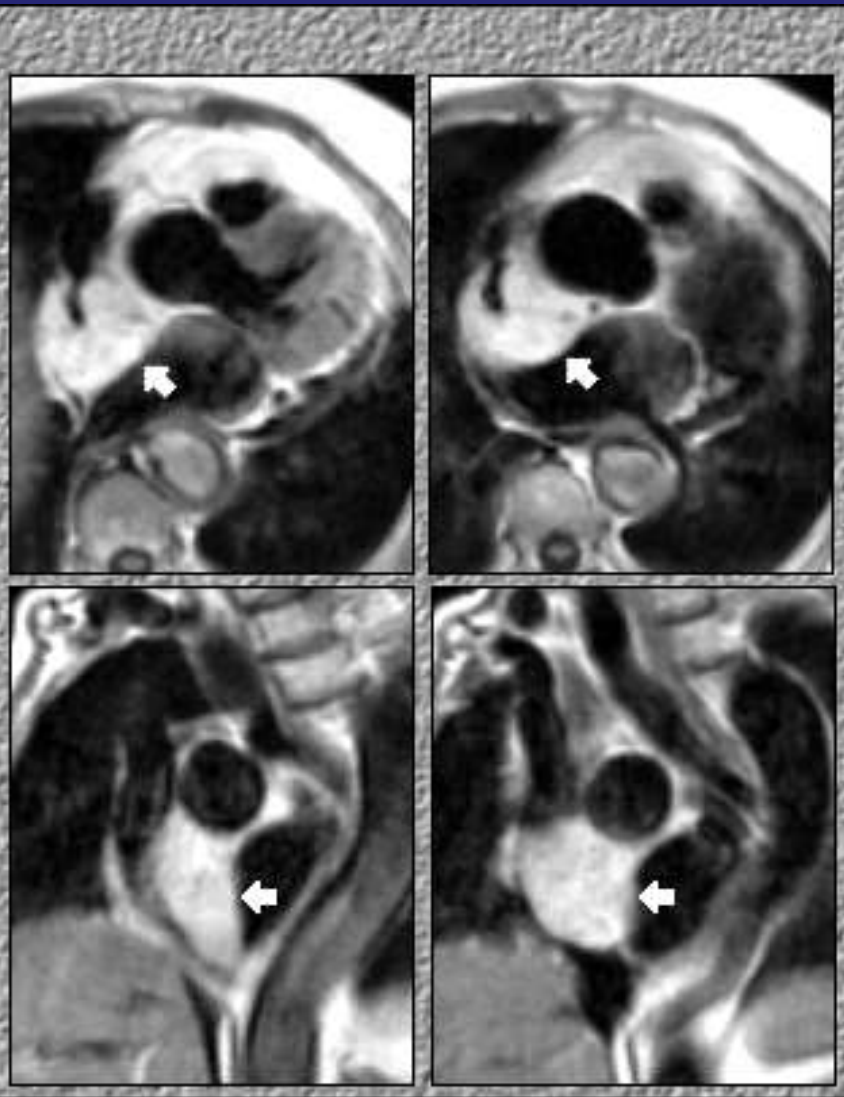




Peuvent induire un hypersignal en T1: la graisse (lipome, kyste dermoïde), un agent paramagnétique: contraste gadolinium, caillot de sang (kyste endométriosique ovarien),kyste colloïde, MTSA mélanome la présence de protéines dans un liquide, un phénomène de flux (EG/ES).

mes = hypersignal T1 intense





Le magnétisme nucléaire

Action d'un champ magnétique

Le phénomène de résonance magnétique

La relaxation

Le signal

Principe de l'écho de spin

Le contraste en T1, T2 et densité protonique

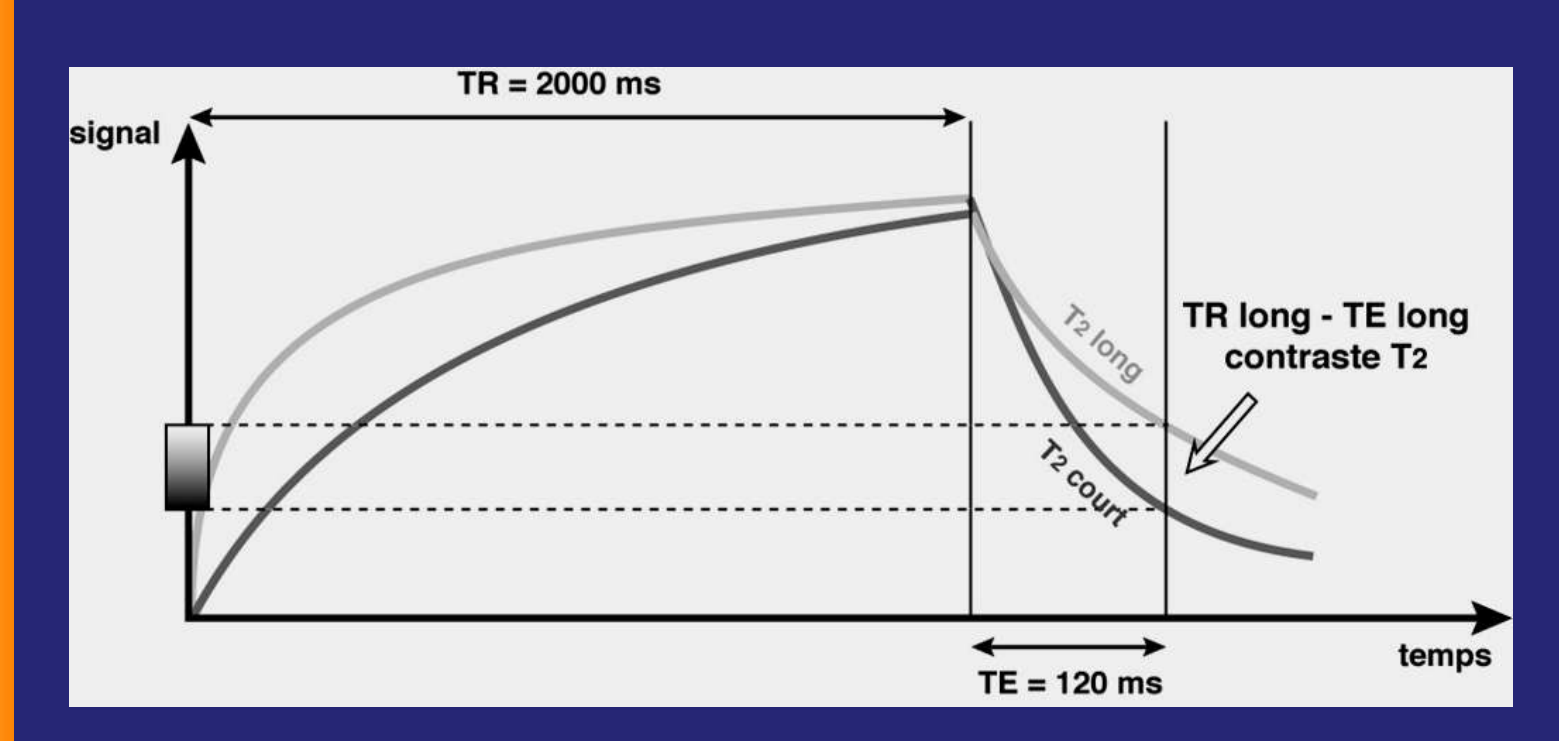
- Influence du TR
- Influence du TE
- Pondération en T1
- Pondération en p
- Pondération en T2

Pondération en T2

TR long (2000 ms) pour minimiser le contraste en T1 (dépondération en T1).

TE long (120 ms) pour favoriser le contraste en T2 (pondération en T2).

Tout est long en T2: TR et TE. C'est le tissu avec le T2 le plus long qui donne le plus de signal (le plus blanc).



Le magnétisme nucléaire

Action d'un champ magnétique

Le phénomène de résonance magnétique

La relaxation

Le signal

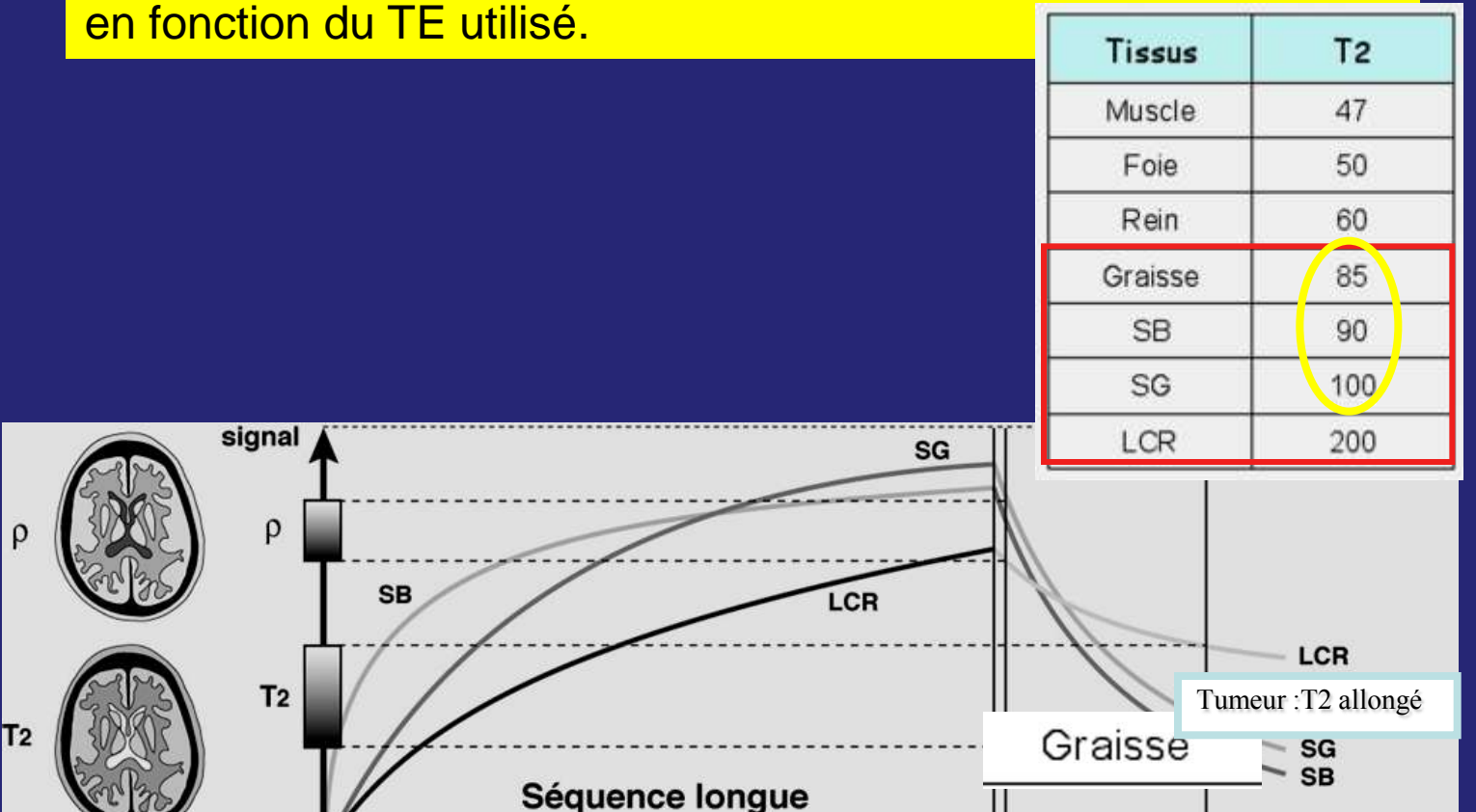
Principe de l'écho de spin

Le contraste en T1, T2 et densité protonique

- Influence du TR
- Influence du TE
- Pondération en T1
- Pondération en ρ
- Pondération en T2

Application au système nerveux central

Au cours d'une même séquence (à TR long), on peut obtenir deux « séries » d'images, l'une pondérée en ρ et l'autre en T2,



TR = 2000 ms

temps

TE2 = 120 ms (T2)

 $TE1 = 20 \text{ ms } (\rho)$

Le magnétisme nucléaire

Action d'un champ magnétique

Le phénomène de résonance magnétique

La relaxation

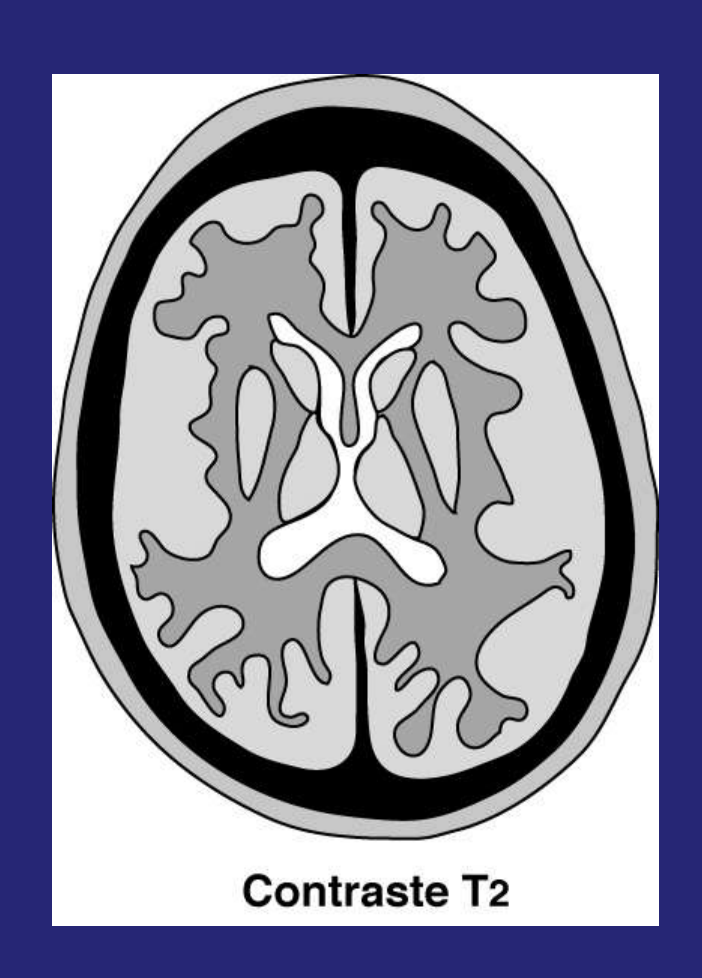
Le signal

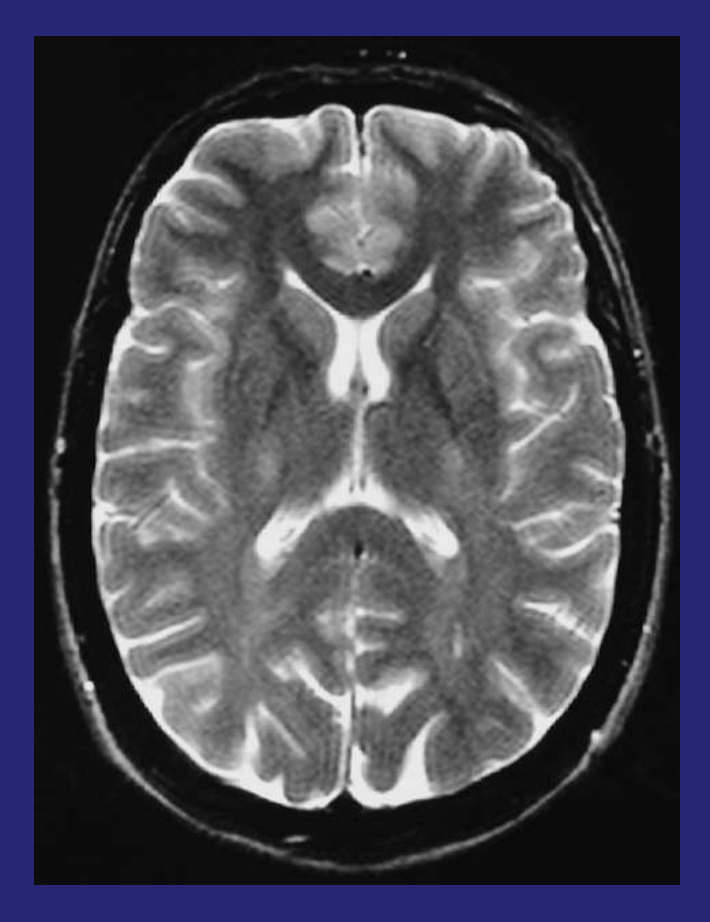
Principe de l'écho de spin

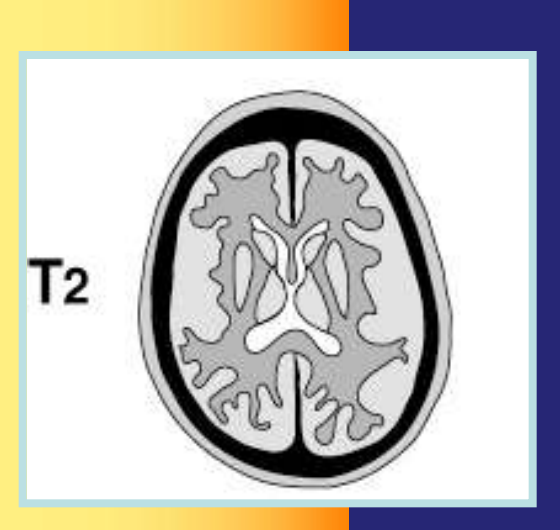
Le contraste en T1, T2 et densité protonique

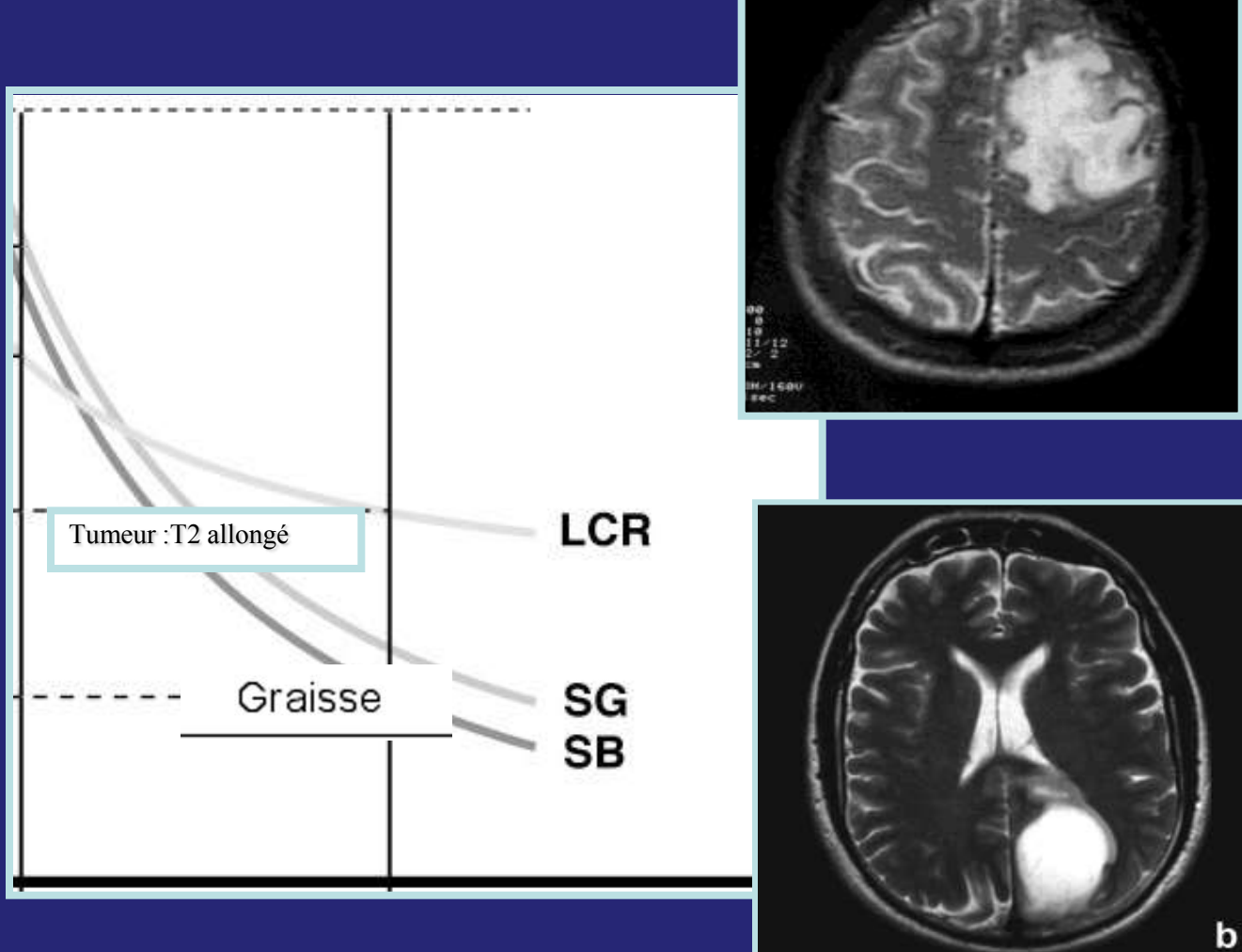
- Influence du TR
- Influence du TE
- Pondération en T1
- Pondération en ρ
- Pondération en T2

Application au système nerveux central



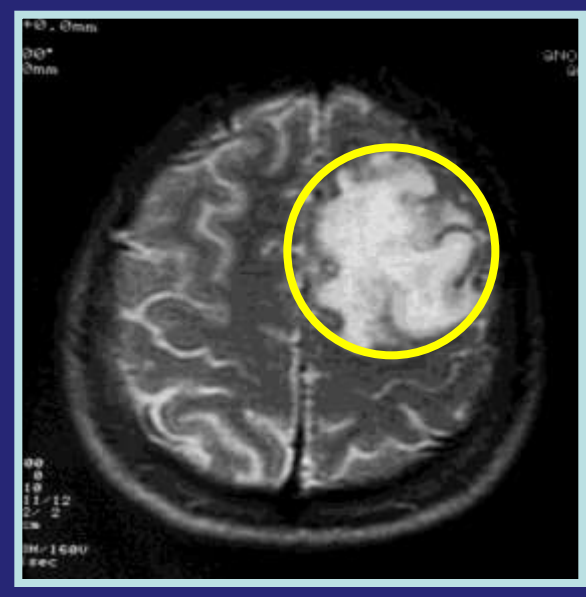


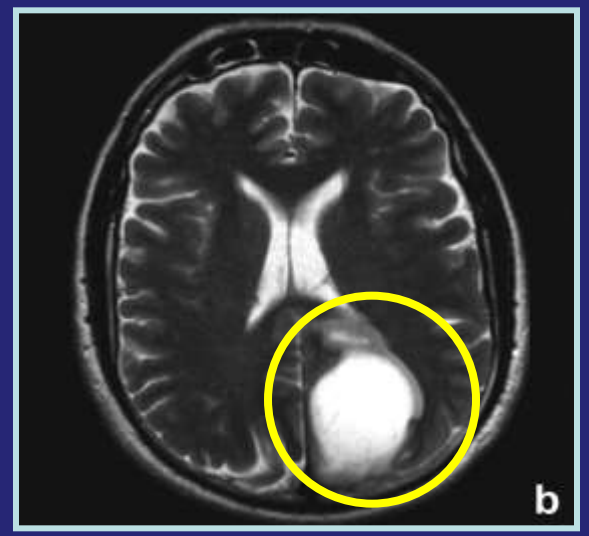




PONDERATION T2

- SEQUENCE « LONGUE »
 T2: TR & TE LONGS
- Contraste « INVERSE » :
 LCR D BLANC, SG D
 GRIS-CLAIR, SB D
 GRIS-FONCE
- T2 long « hypersignal »
- Lésion T2 long (inflation hydrique)
 « hypersignai » « flashe »
- Graisse T2 moyen
 « chute de signal modérée
 = cerveau »
- Os air pas de signal



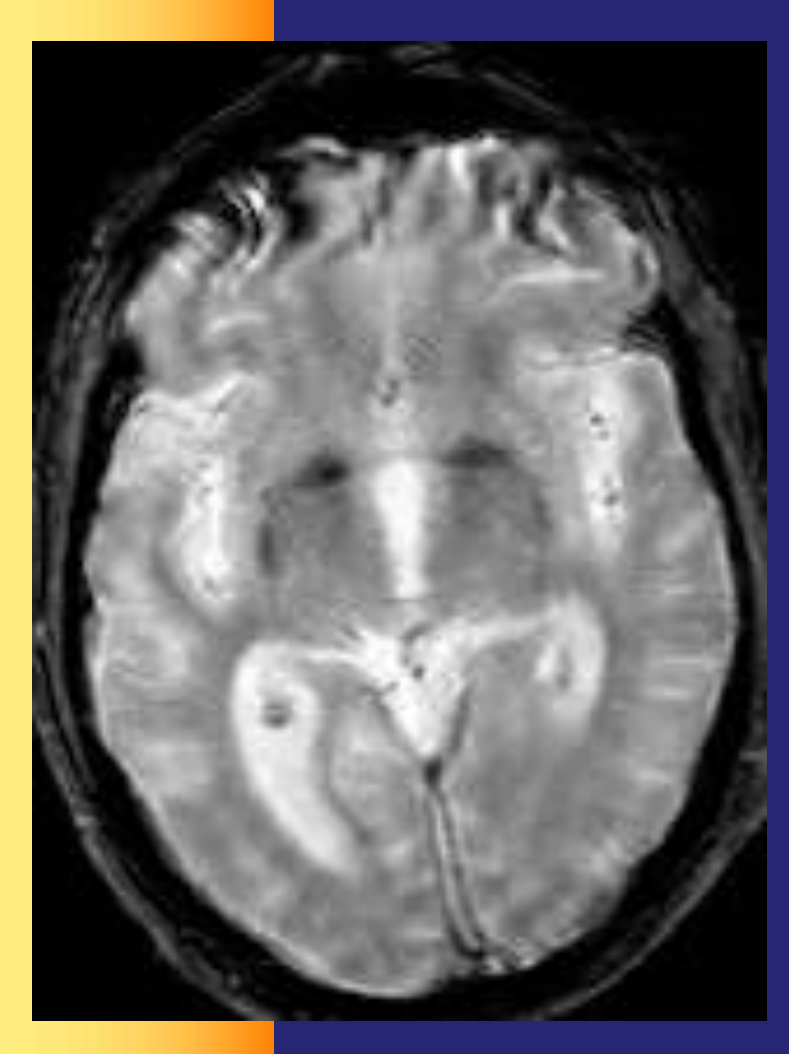


Peuvent induire un hyposignal en T2 :

- Calcifications,
 - Suceptibilité magnétique: hématome (T2*), air cavité

- Vaisseaux traversent la coupe

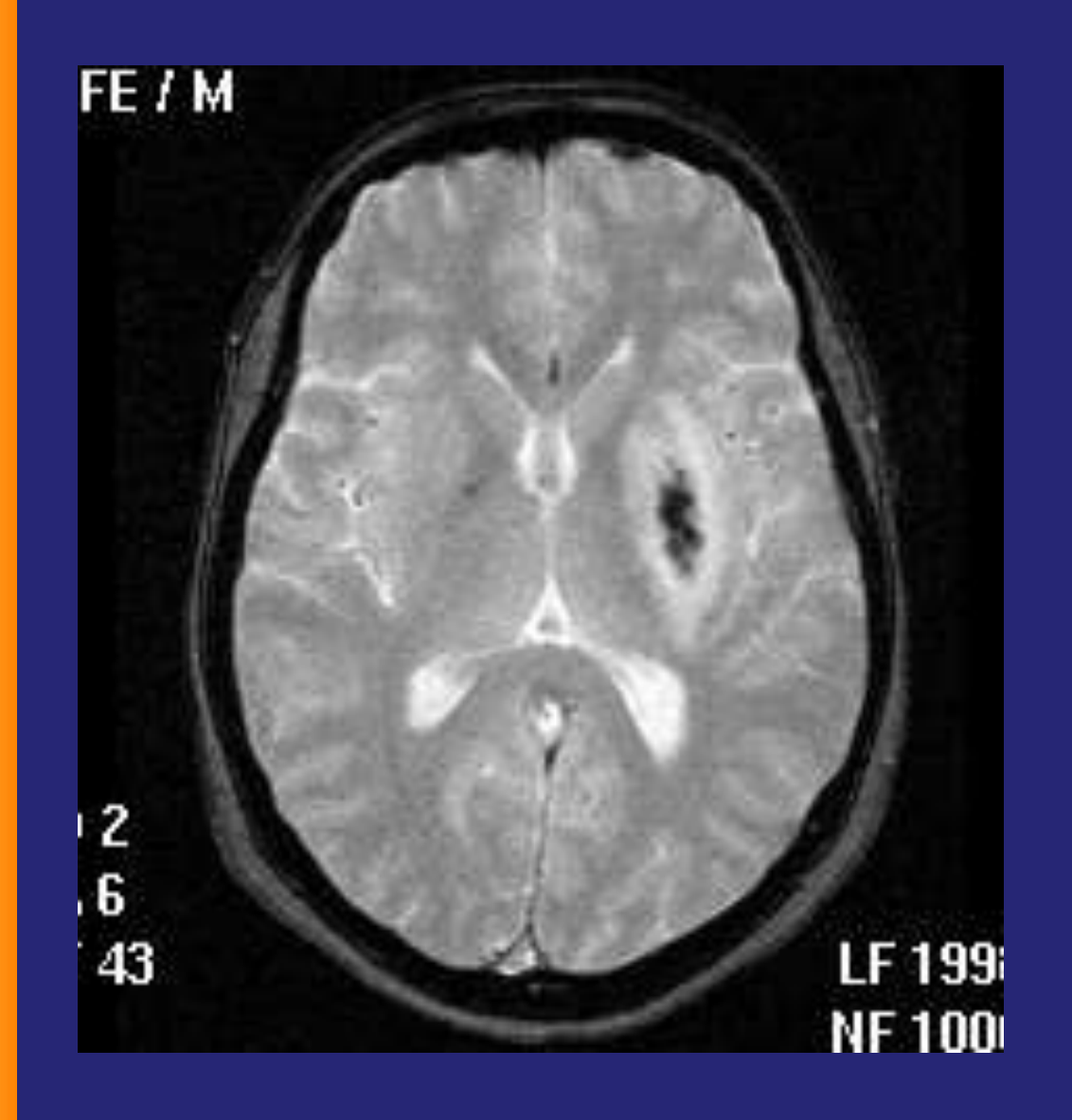
Calcifications



allidum = normal

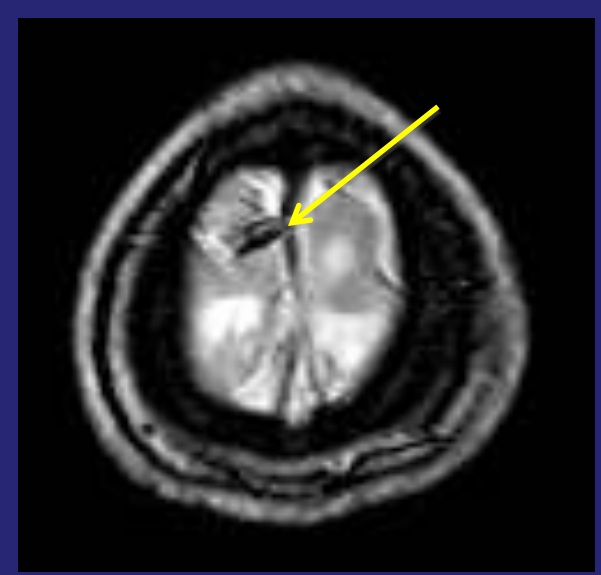
Putamen/Caudé = AMS-P

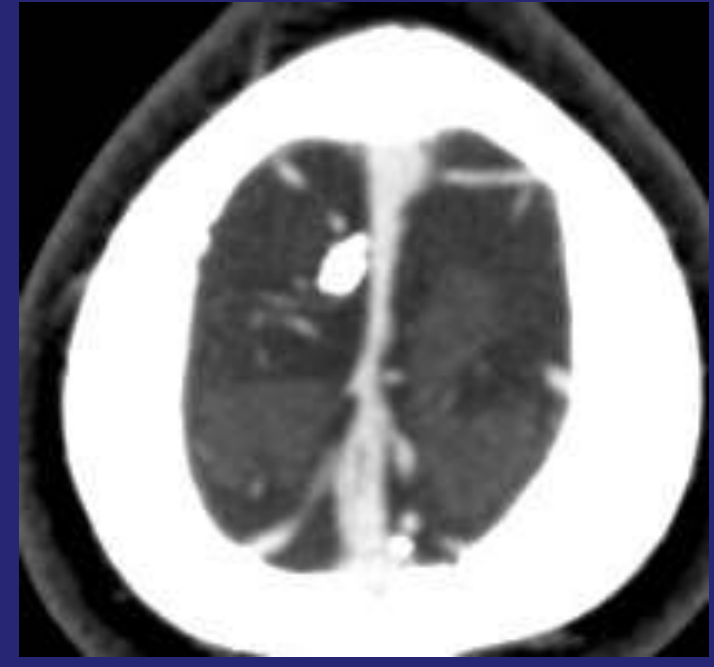
AK, Grenoble



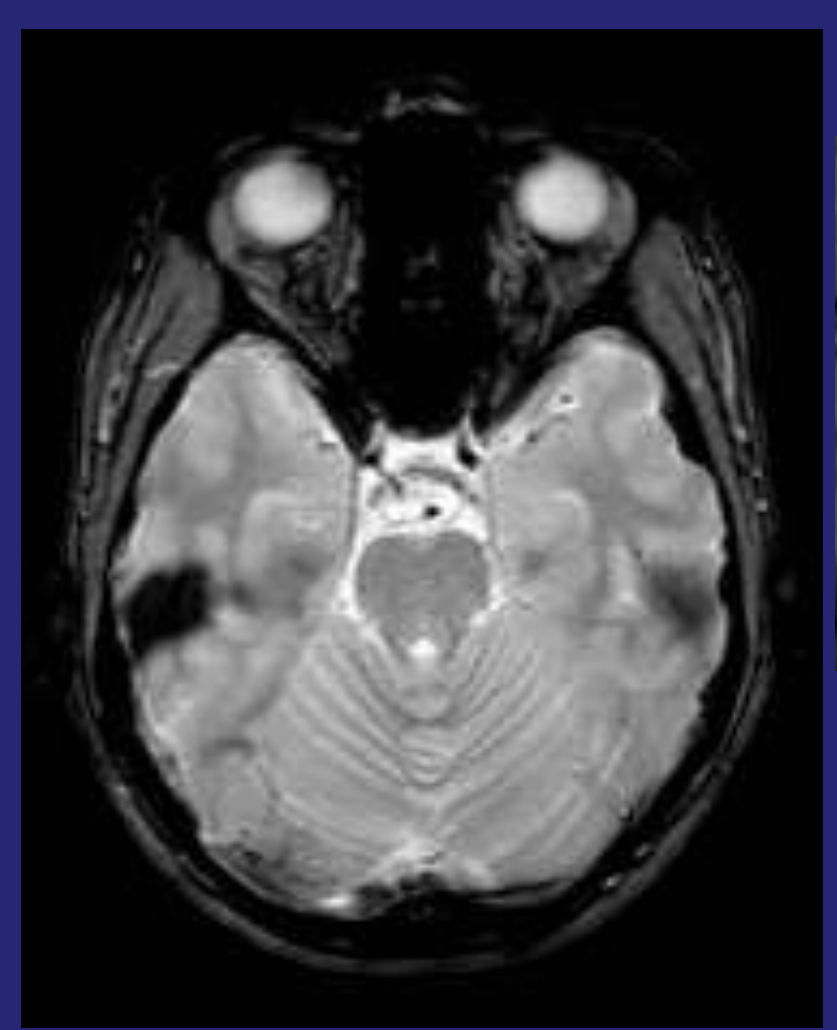
Avc hémorragique Patient HTA, hémosidérine T2* +++

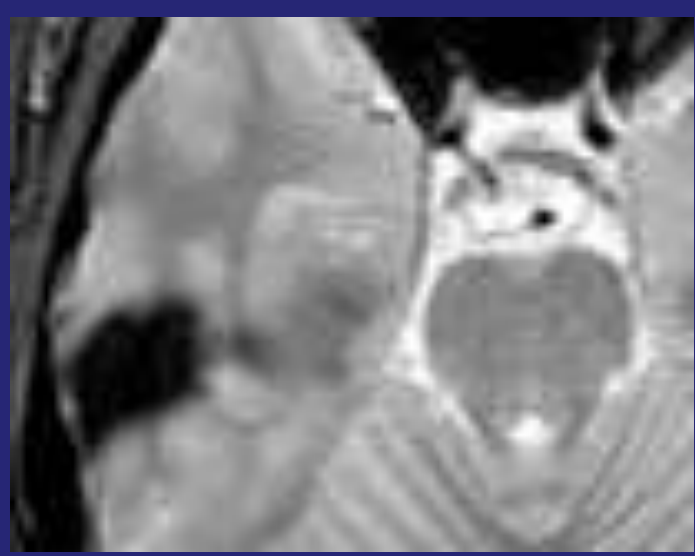
Cacifications



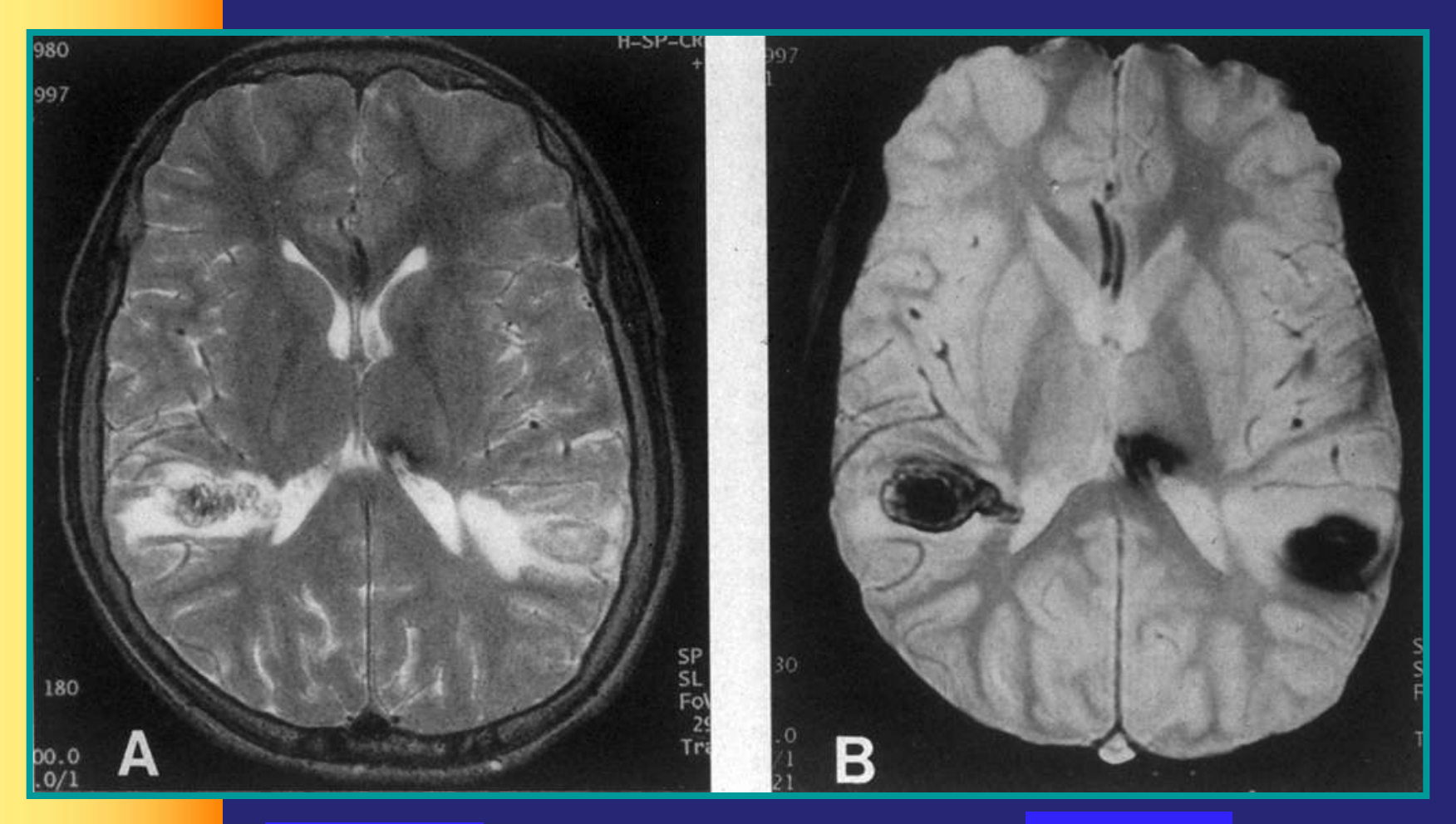


Artéfacts susceptibilité Mg: air cellule mastoïdiennes (T2*)

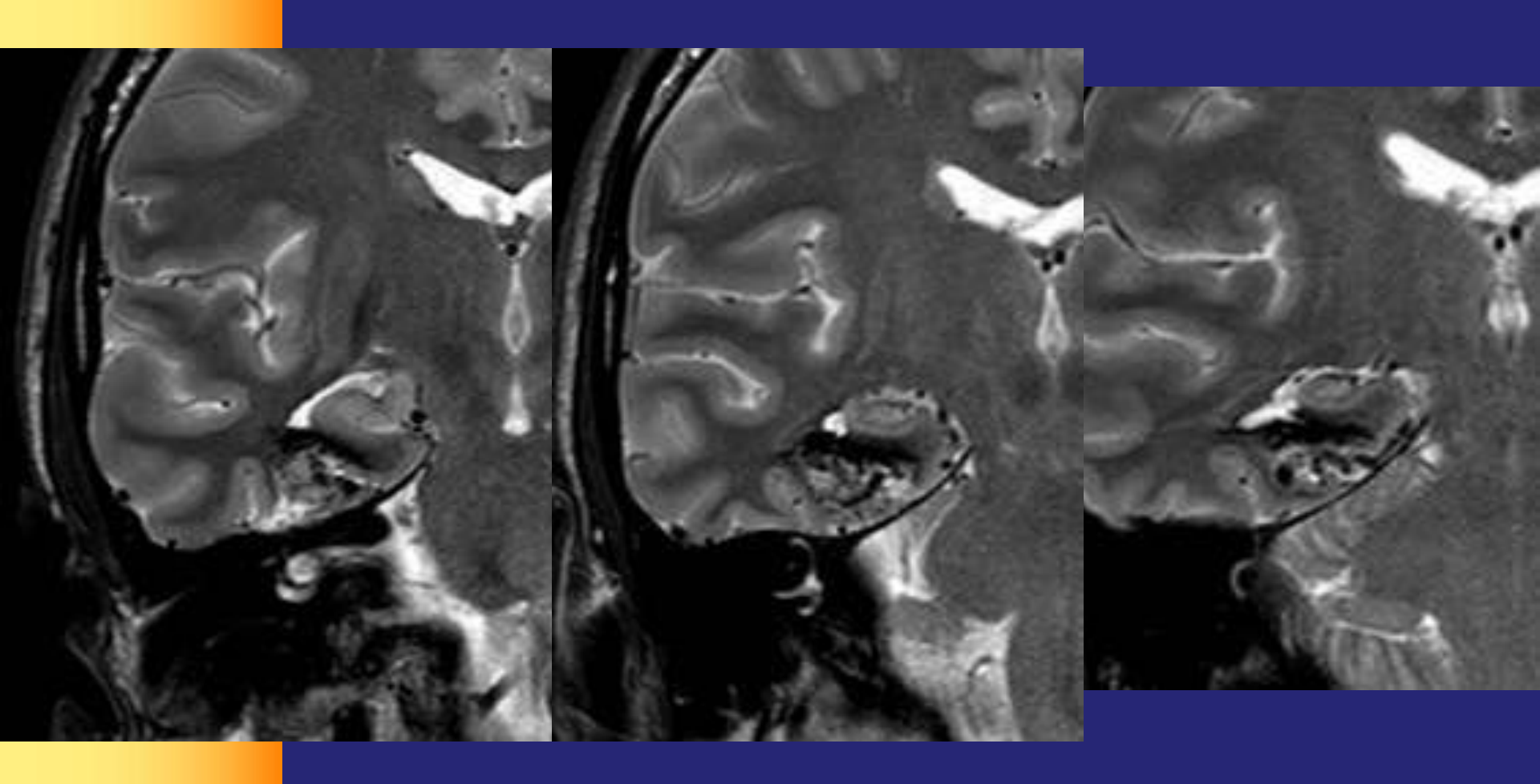




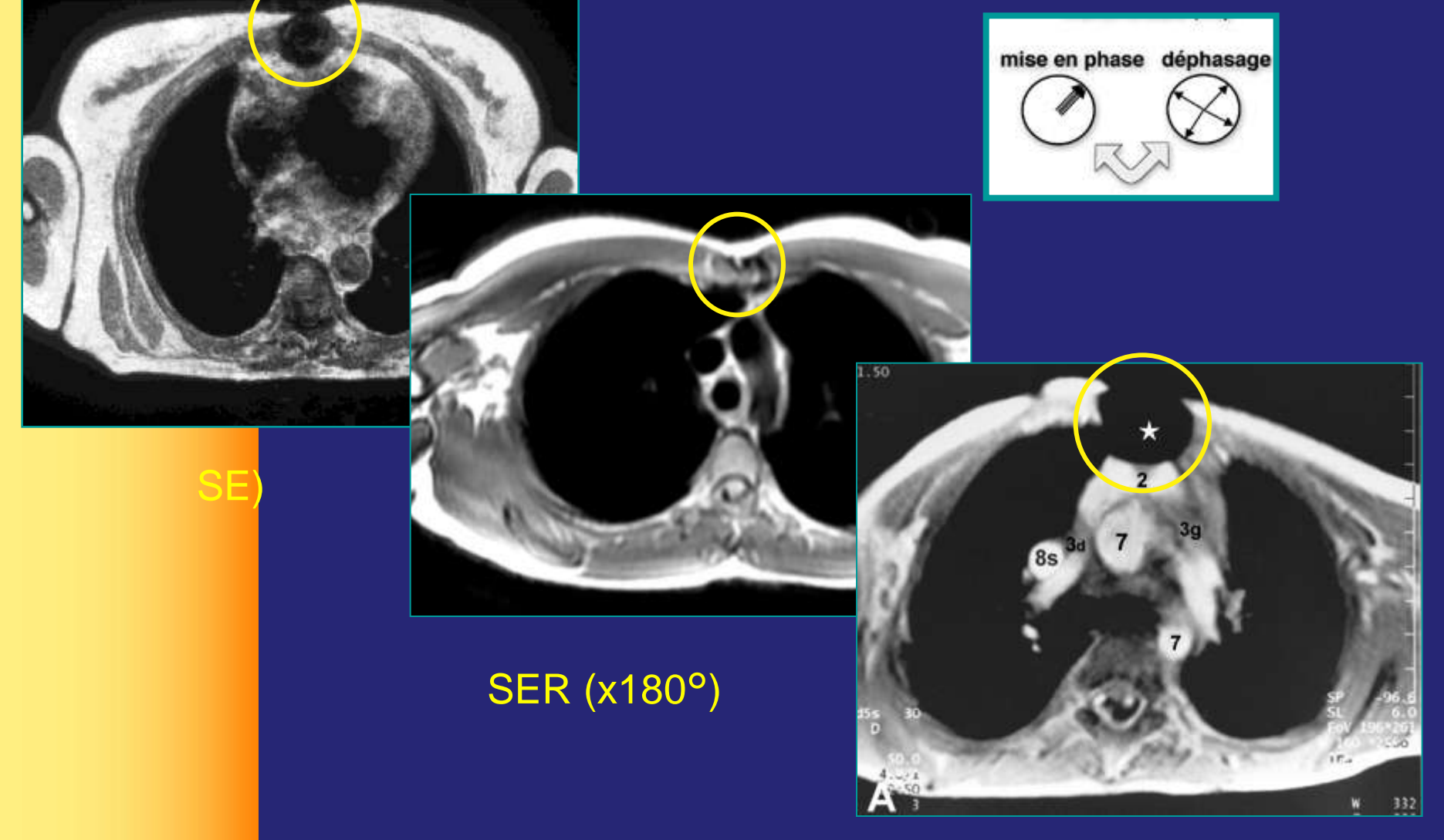
Artéfacts susceptibilité Mg Emorragie hémosidérine NOIR EG T2*



Malformation AV temporale Tux circulant rapide noir flow void T2 TSE



Artéfacts métalliques noir: Fils de sternotomie

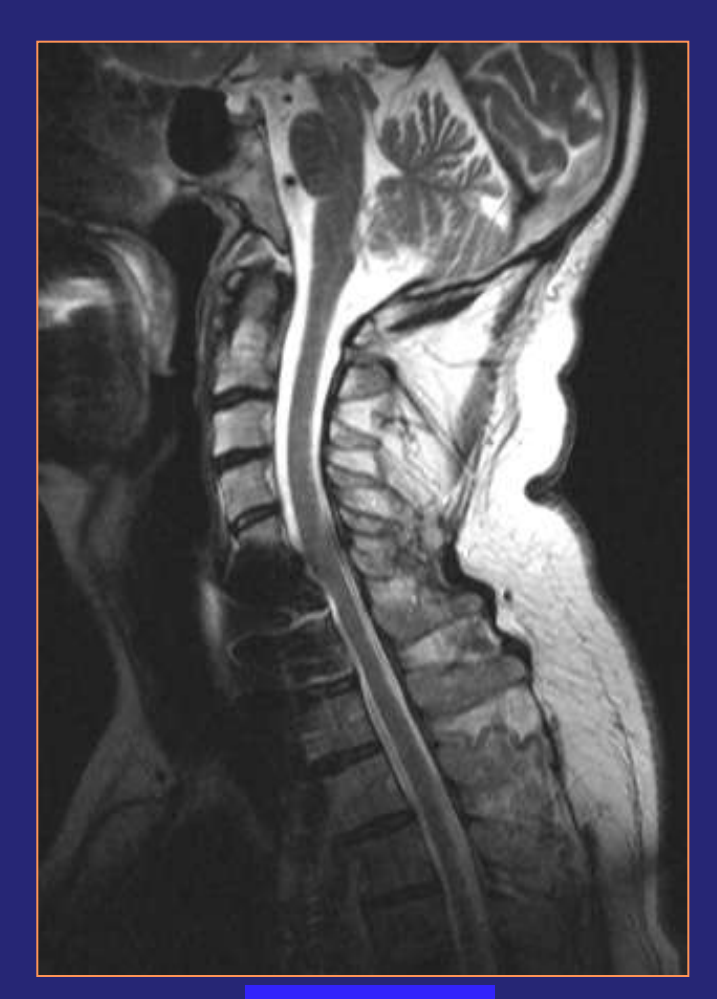


Echo de gradient (pas de 180°)

Artéfacts métalliques suceptibilité mg: noir

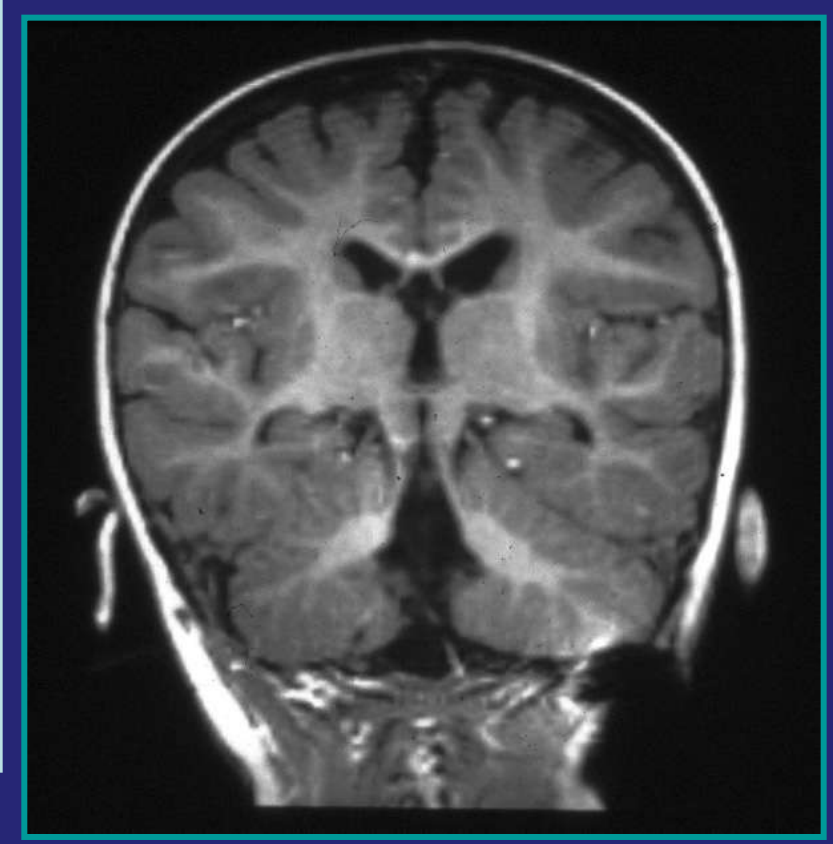


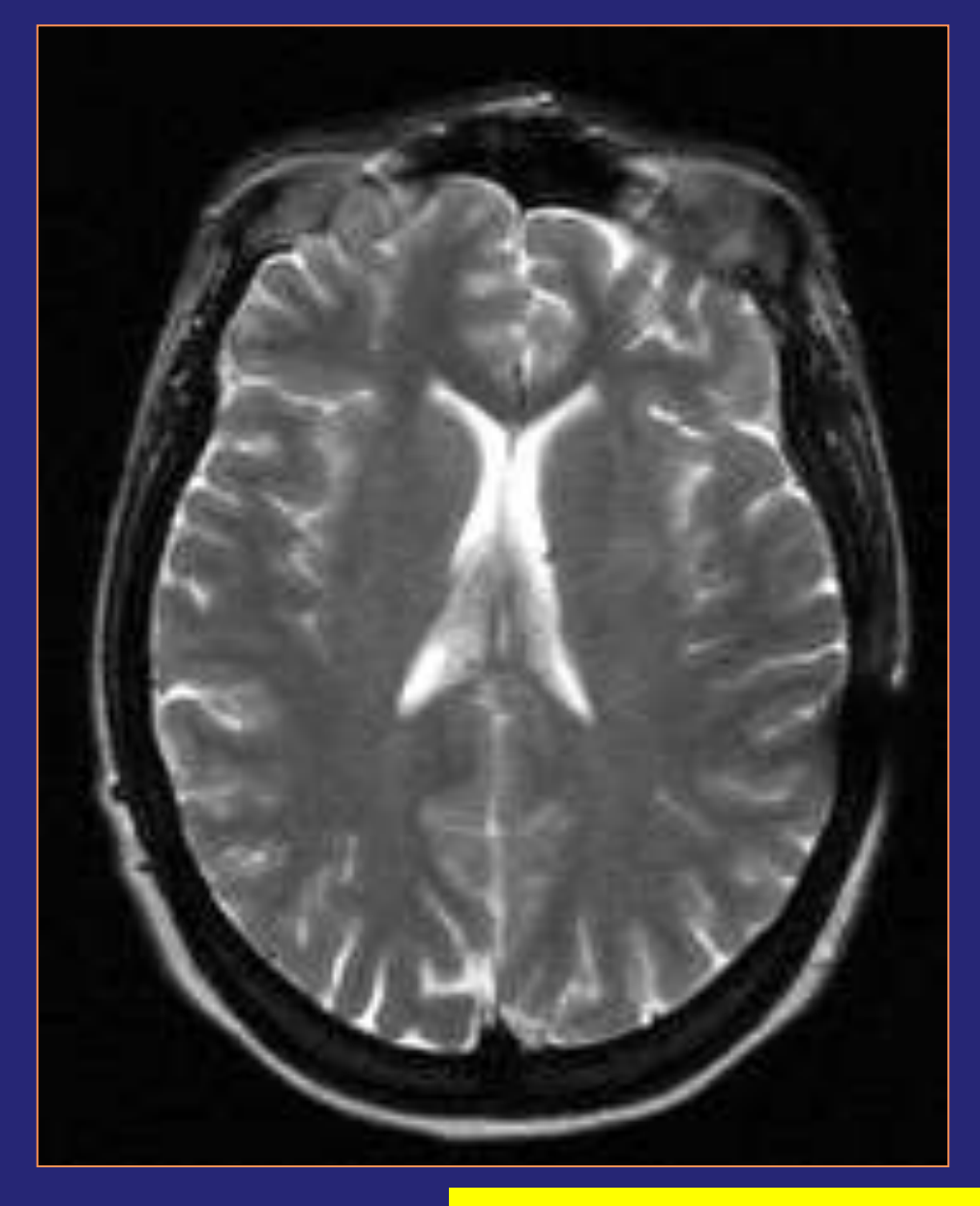




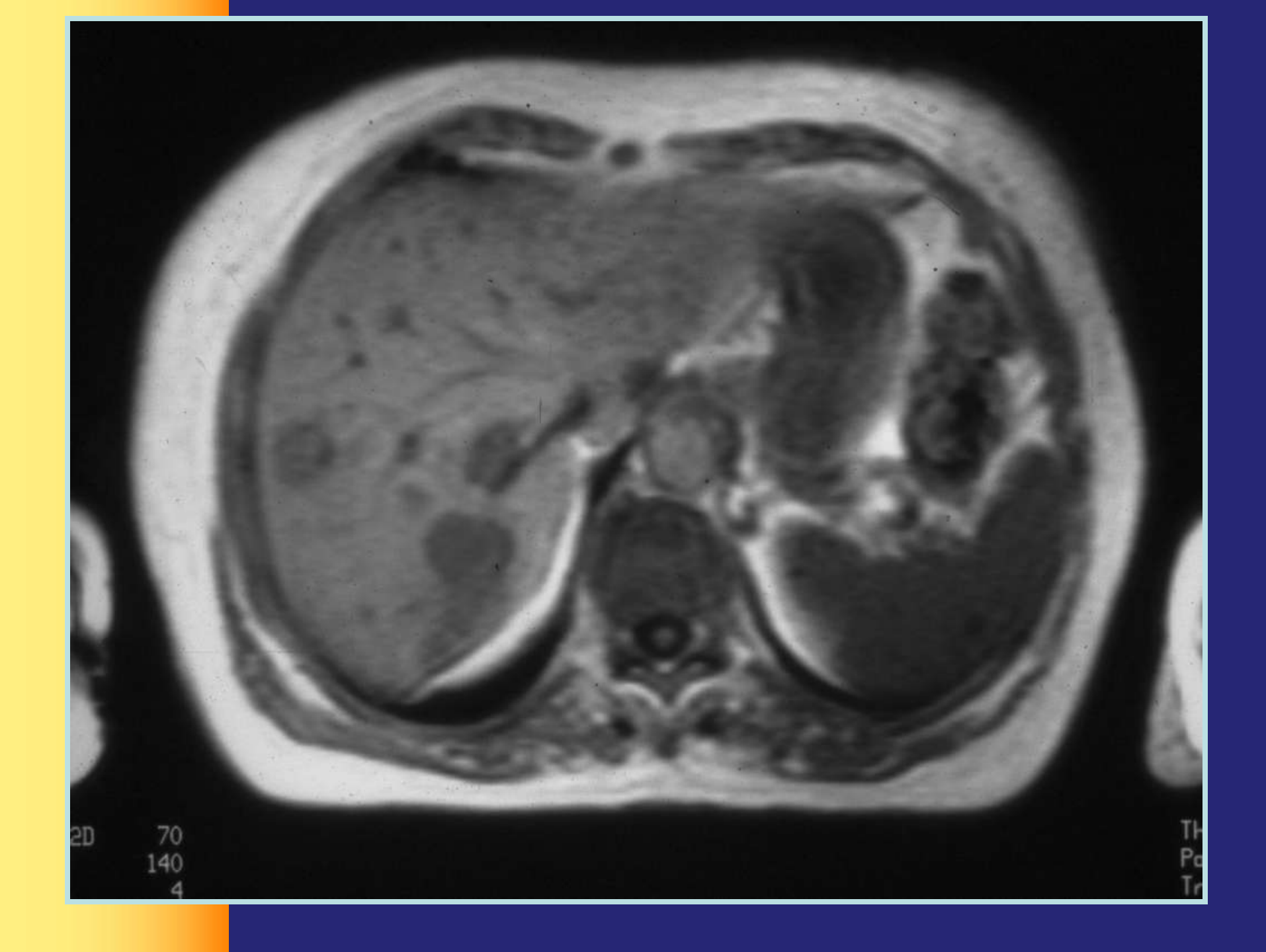
TSE T2

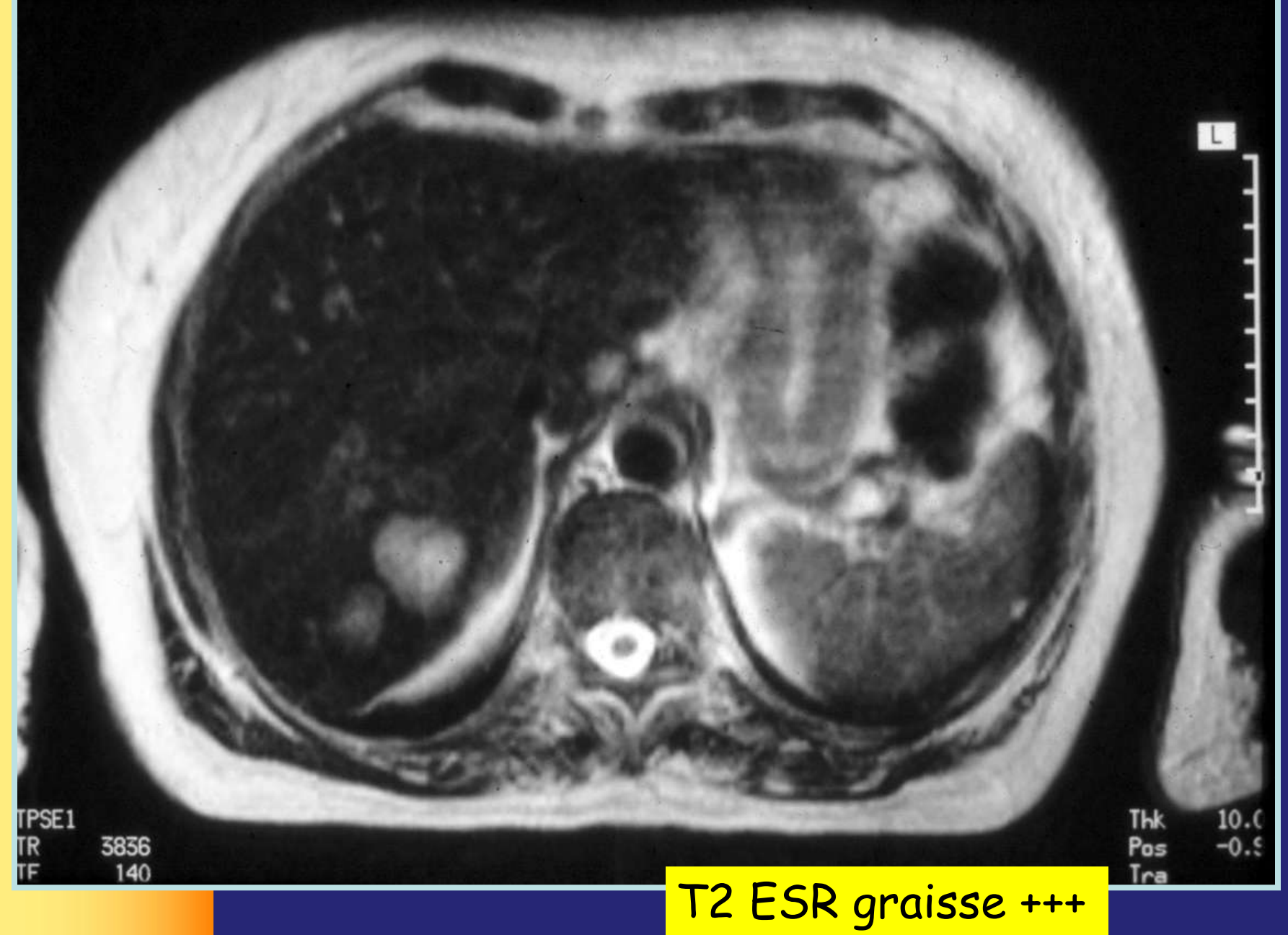






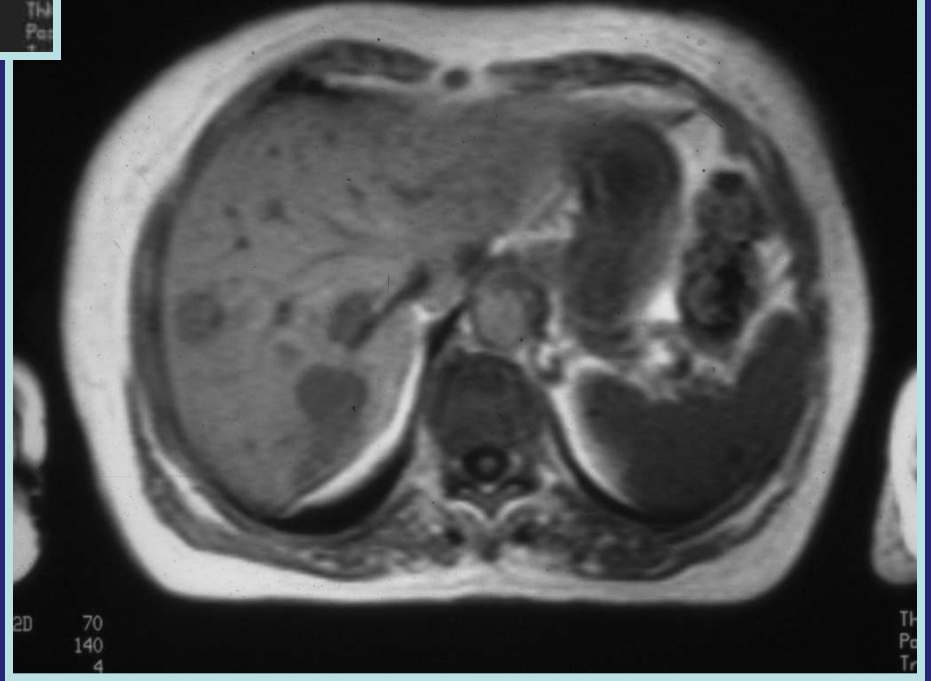
T2 (ESR) graisse +++



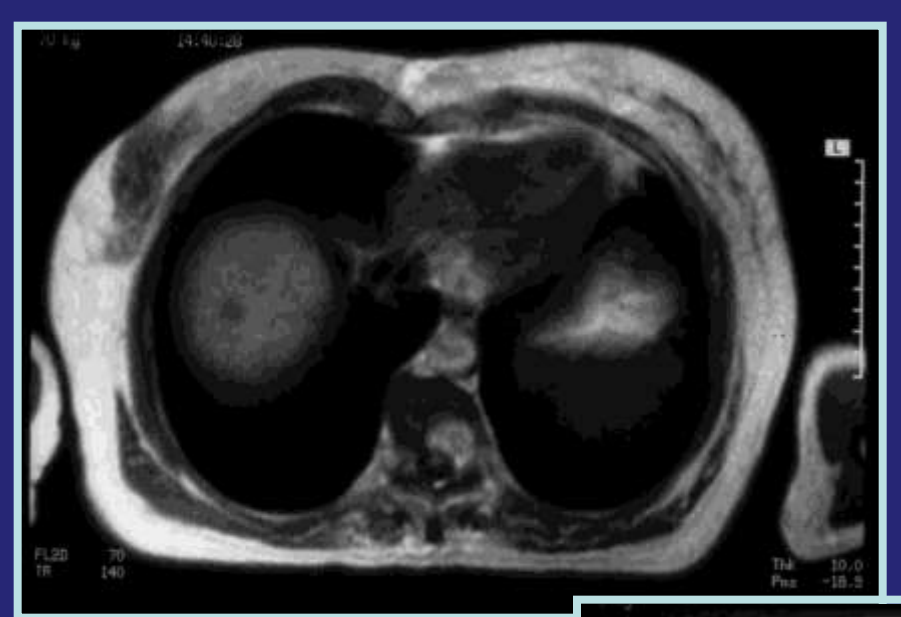


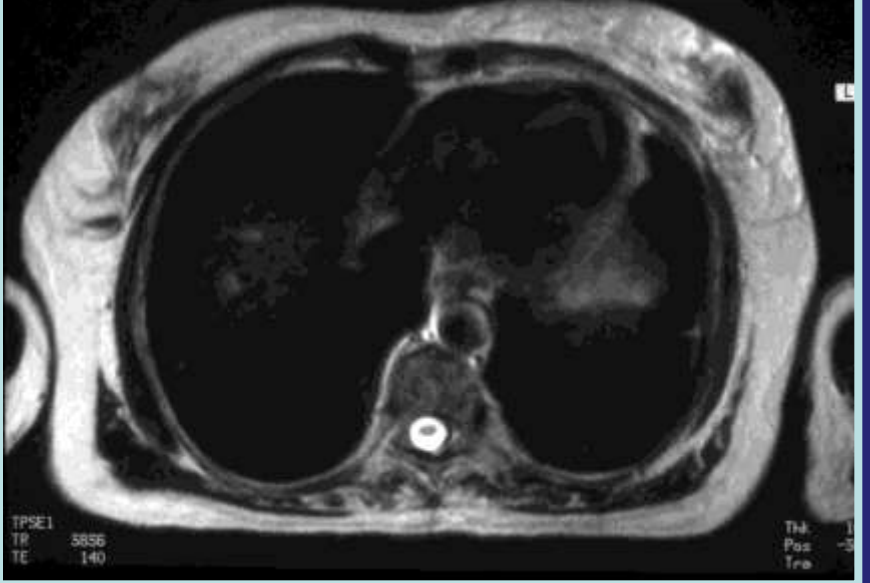
Inversion Gø et Go





Noir T1/Blanc +++ T2





0,5 T

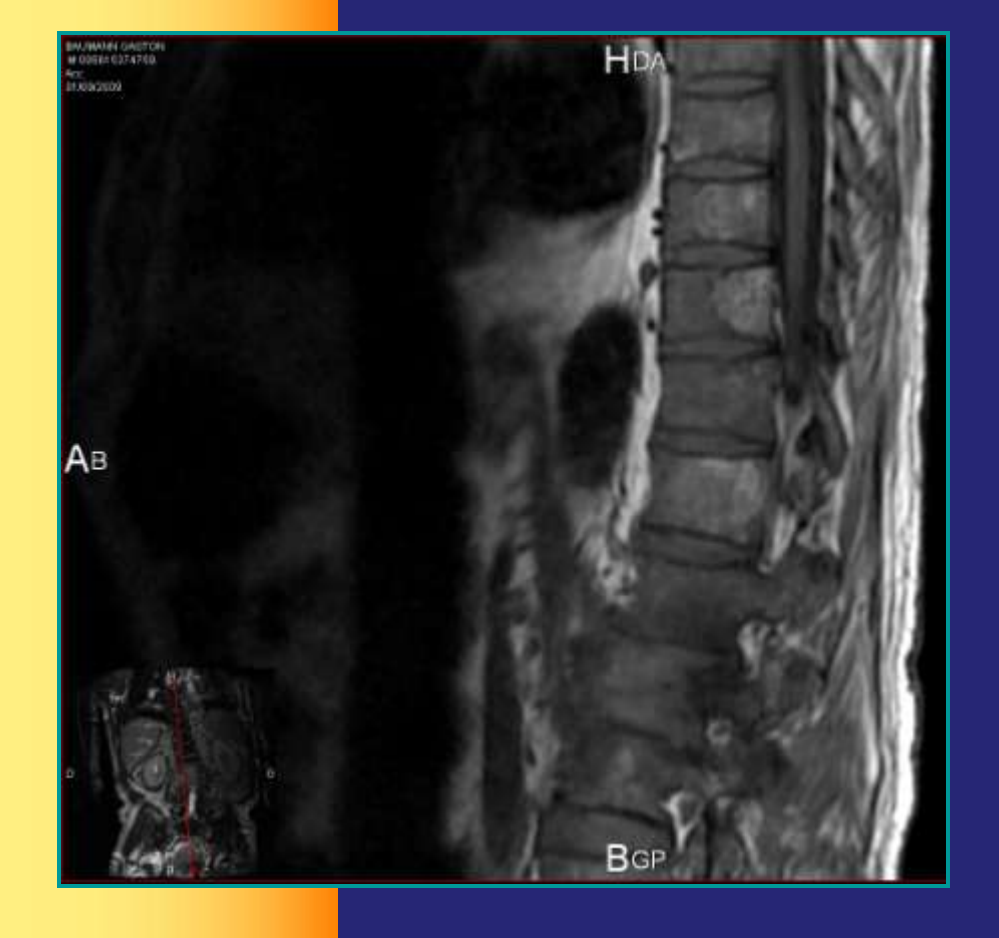
Tissu	T1 (ms)
Muscle	600
Foie	323
Rein	449
Rate	554
Graisse	215
Subst grise	656
Subst. blanch	e 539
LCR	2500
Poumon	600

1,5 T		
	Tissu	T1 (ms)
A_{0}^{B}	Muscle	870
	Foie	490
	Rein	650
	Rate	780
	Graisse	260
	Subst grise	920
	Subst. blanch	e 790
	LCR	3000
	Poumon	830

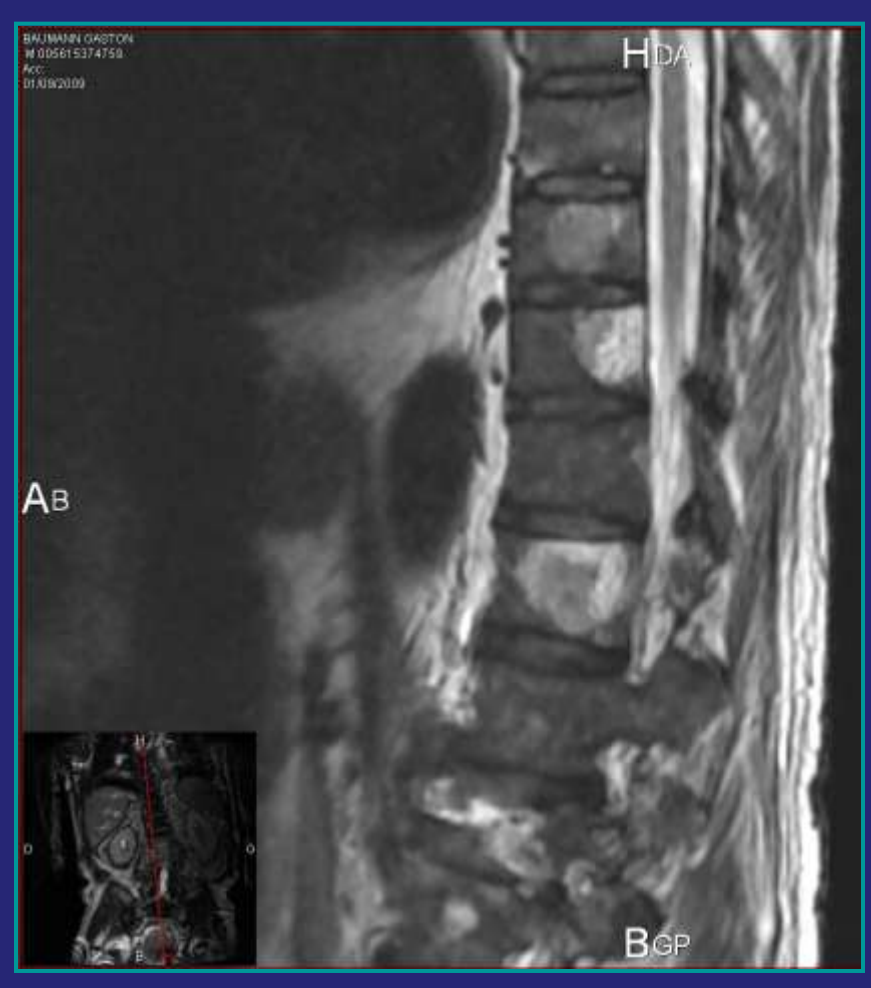


Indépendant de la valeur de B_0

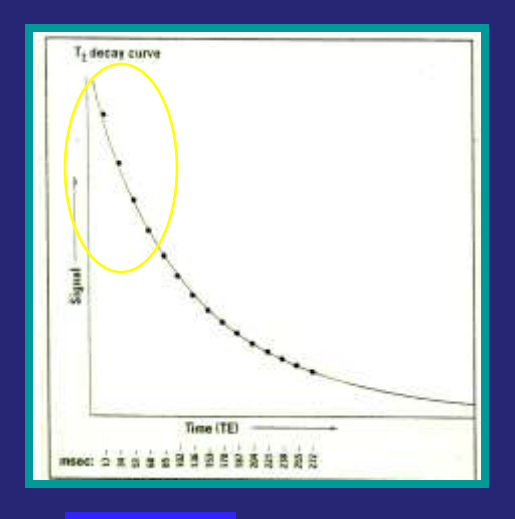
Tissu	T2 (ms)
Muscle	47
Foie	43
Rein	58
Rate	62
Subst. Grise	85
Graisse	
85	
Subst. blanch	e 101
LCR	>200
Poumon	79







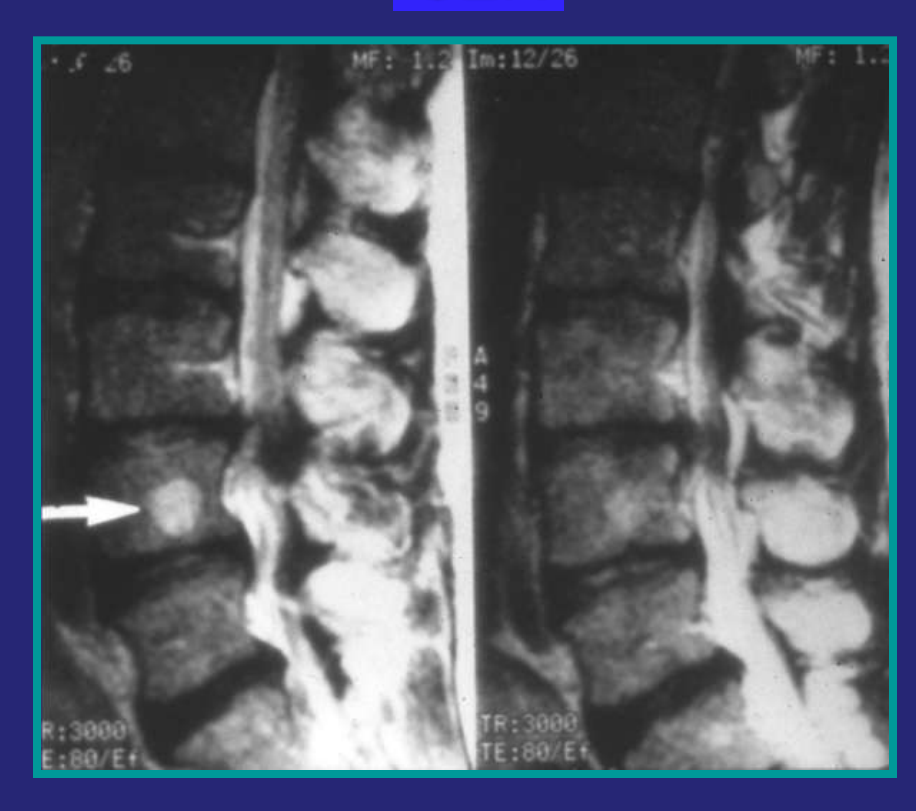
T2 ESR



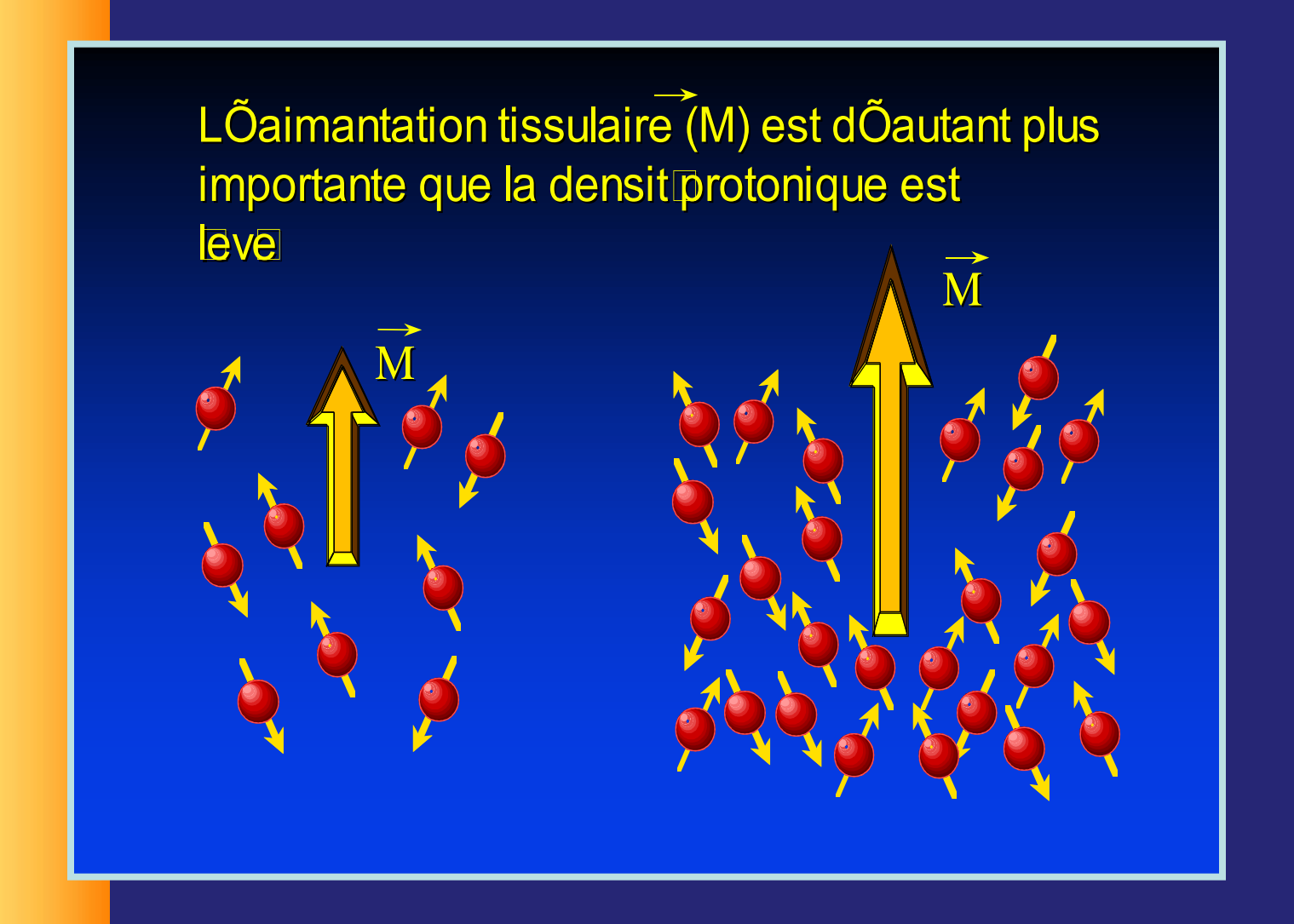
SE

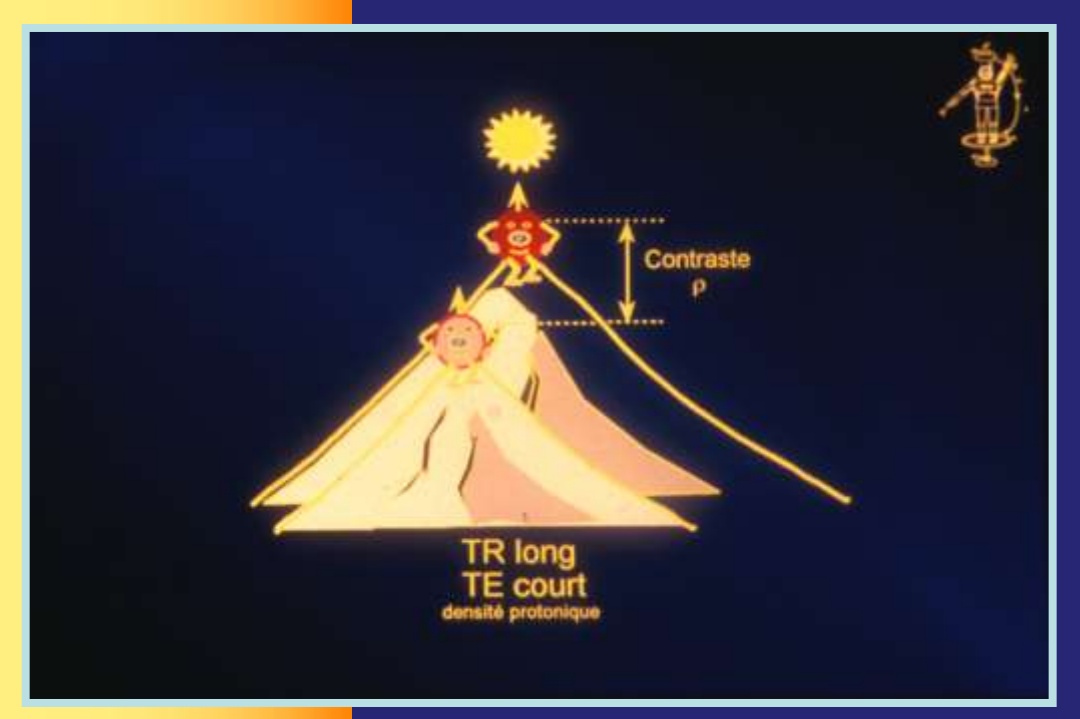
SER

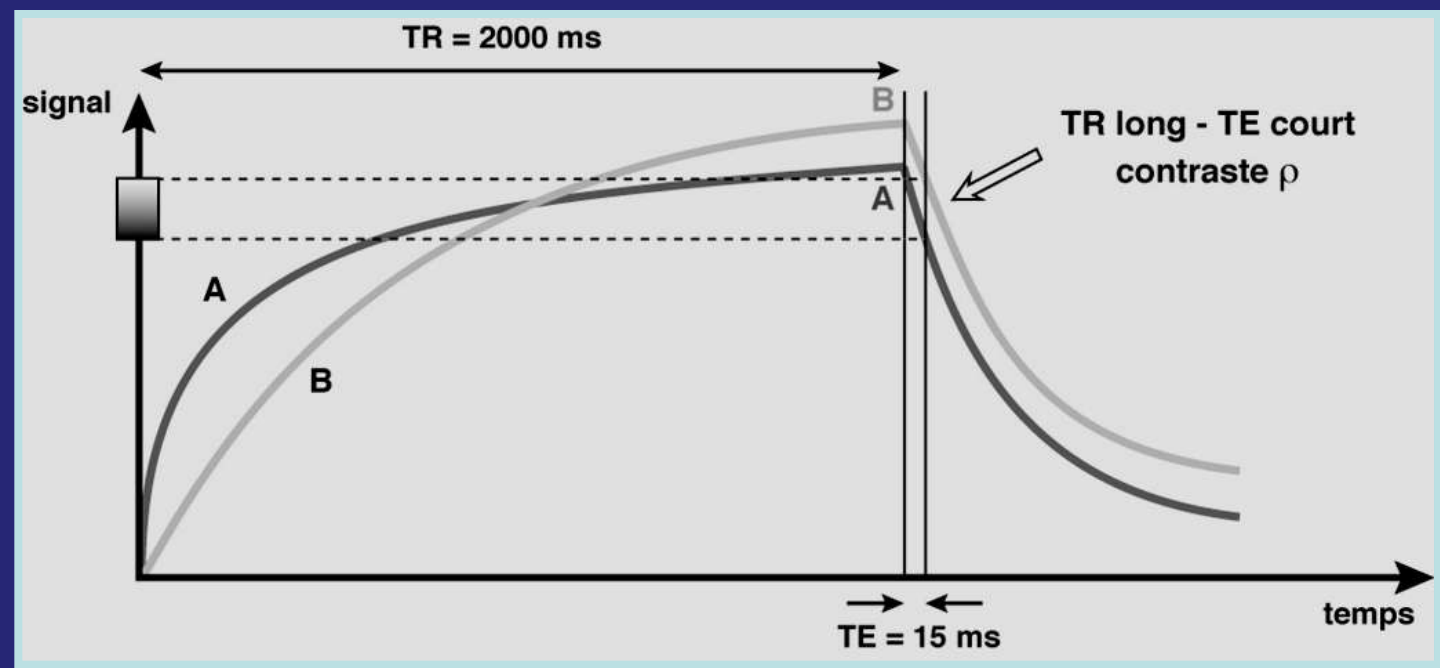




PONDERATION EN DENSITE DE PROTONS







Un peu d'histoire

Le magnétisme nucléaire

Action d'un champ magnétique

Le phénomène de résonance magnétique

La relaxation

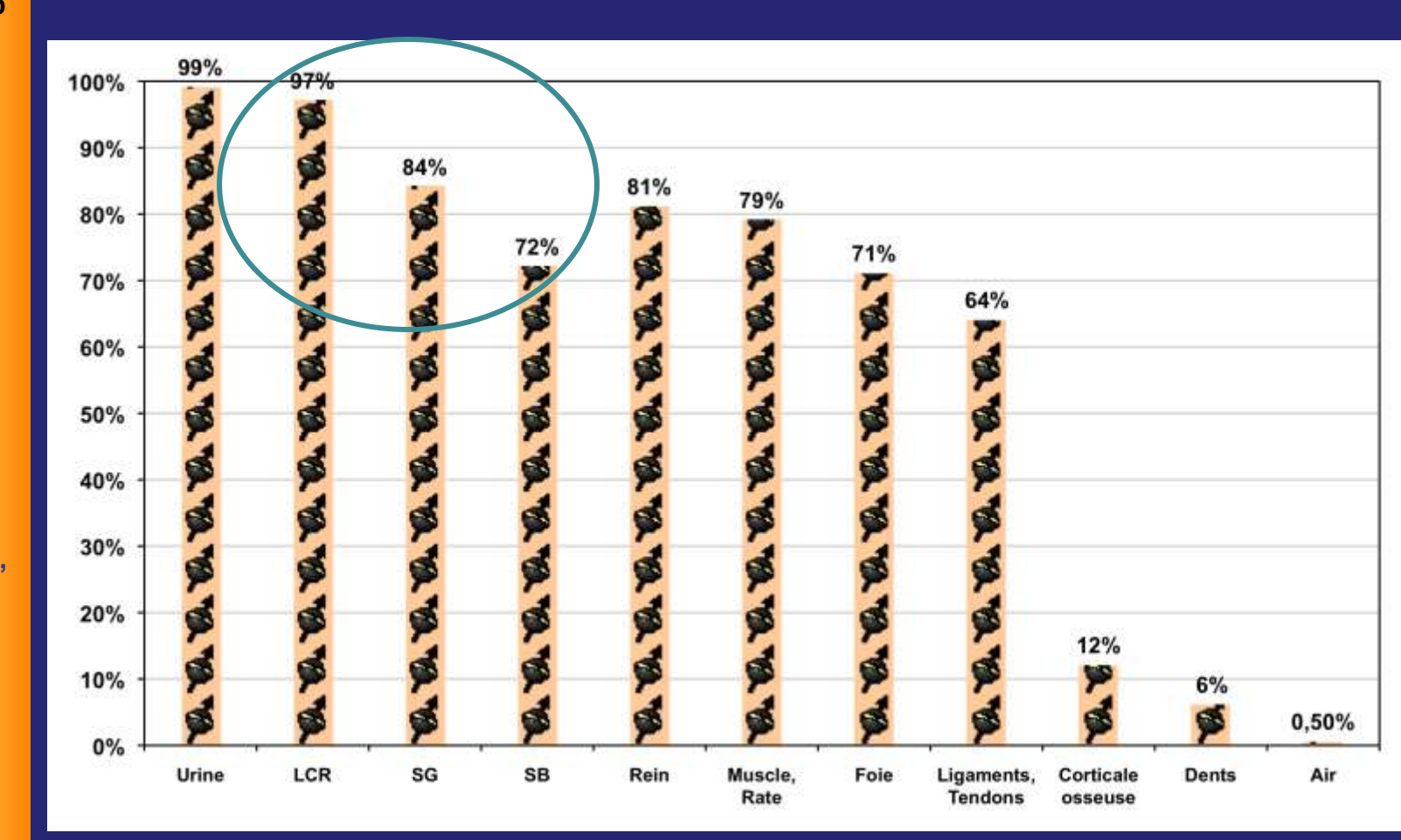
Le signal

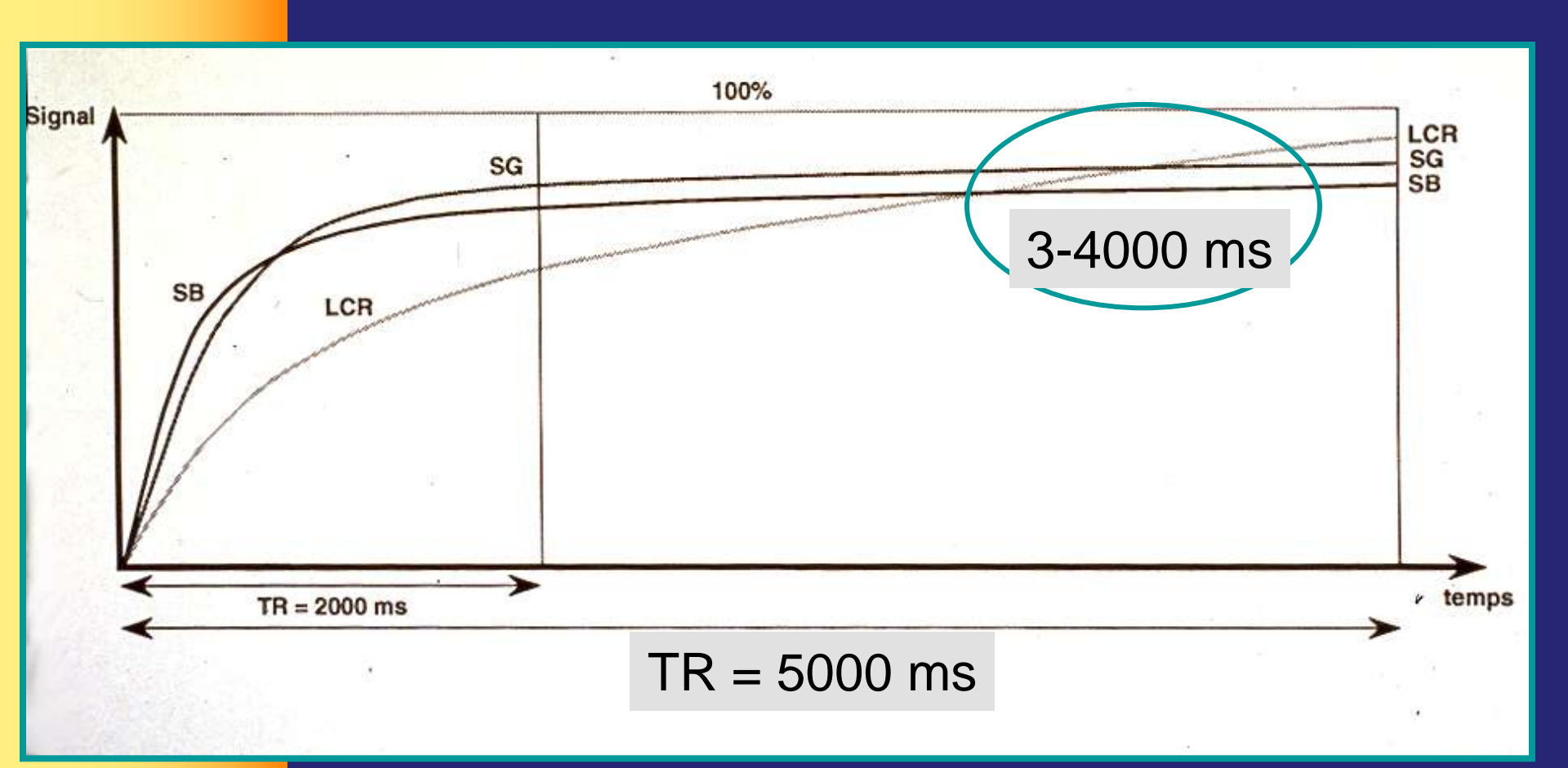
Principe de l'écho de spin

Le contraste en T1, T2 et densité protonique

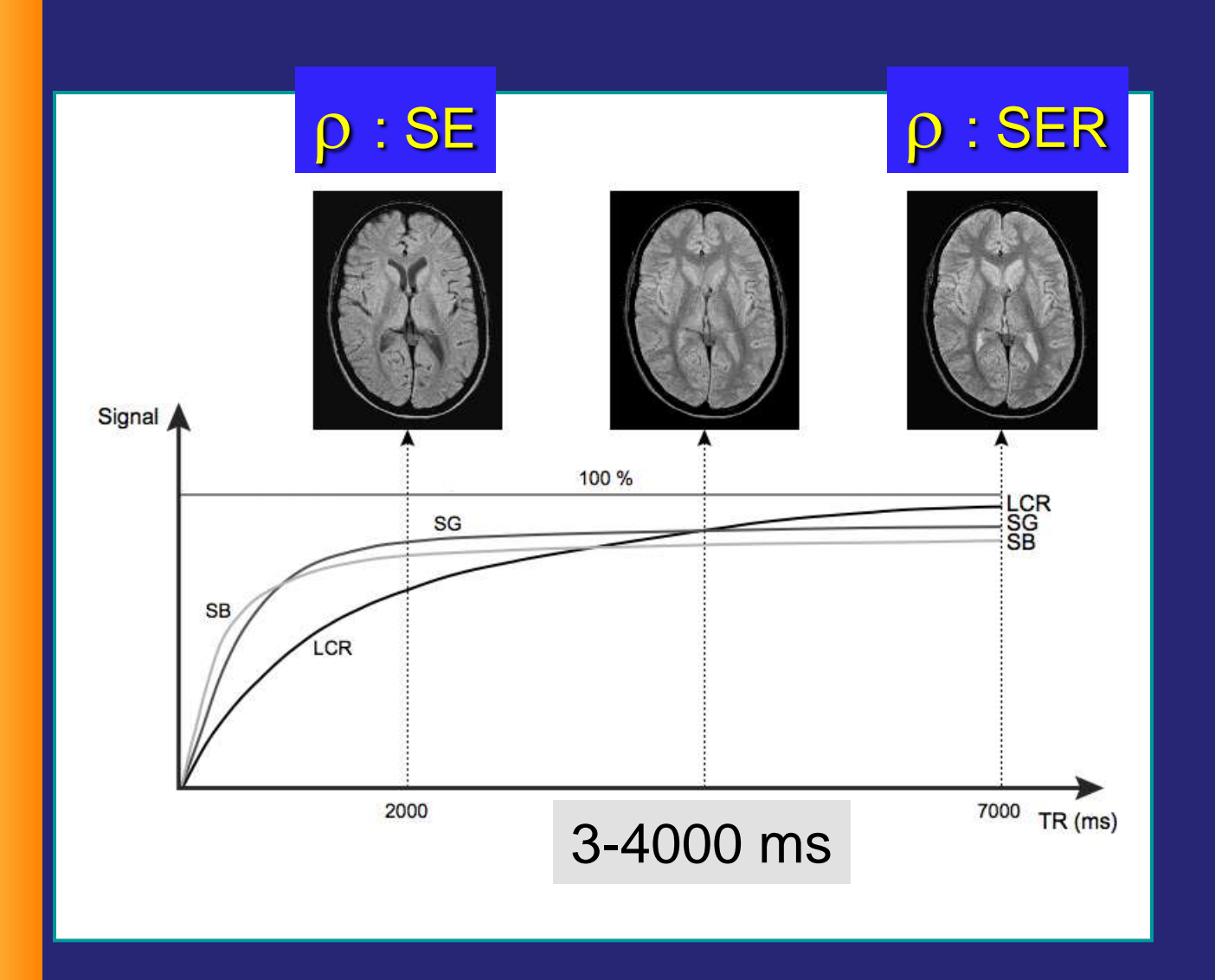
- Influence du TR
- Influence du TE
- Pondération en T1
- Pondération en p
- Pondération en T2

La teneur en eau de différents tissus biologiques permet d'évaluer leurs différences en densité de protons :



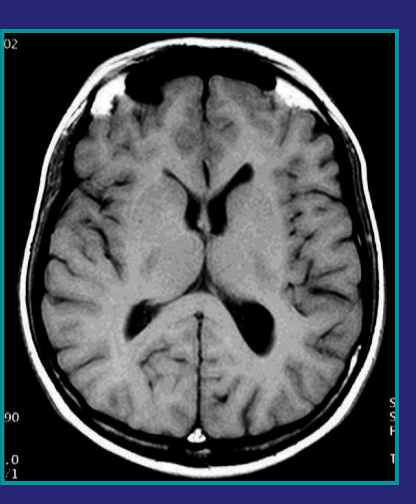


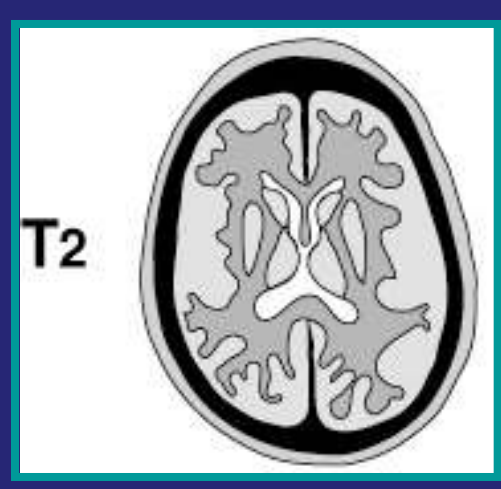
CONTRASTE / TR

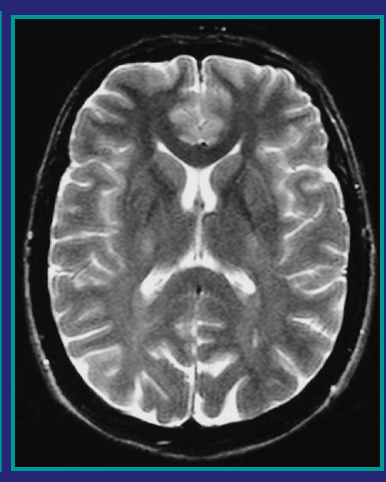


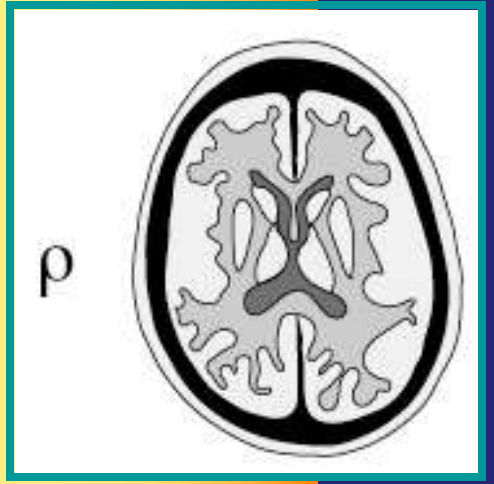
CONTRASTE EN IRM SE/SER

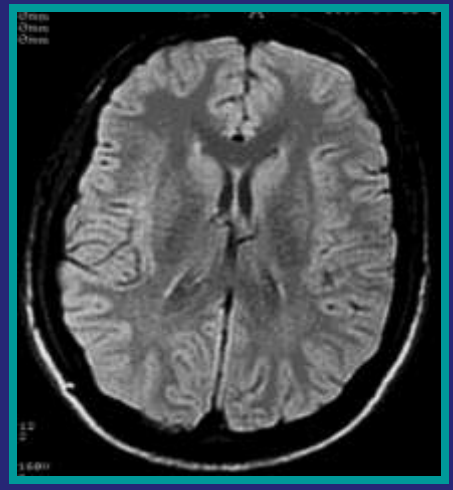


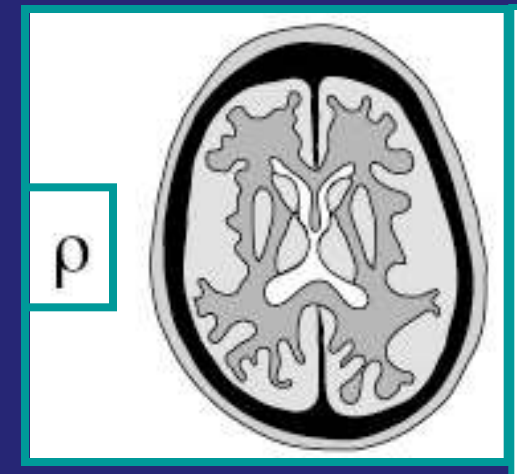


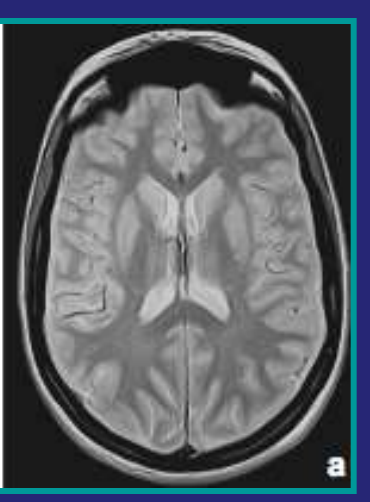








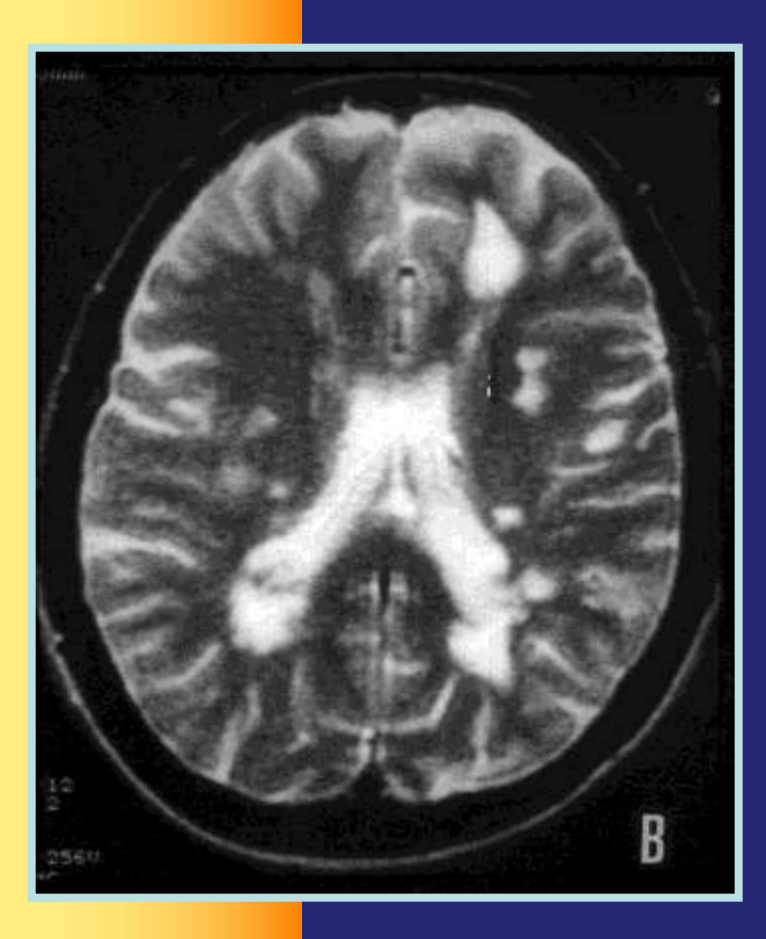


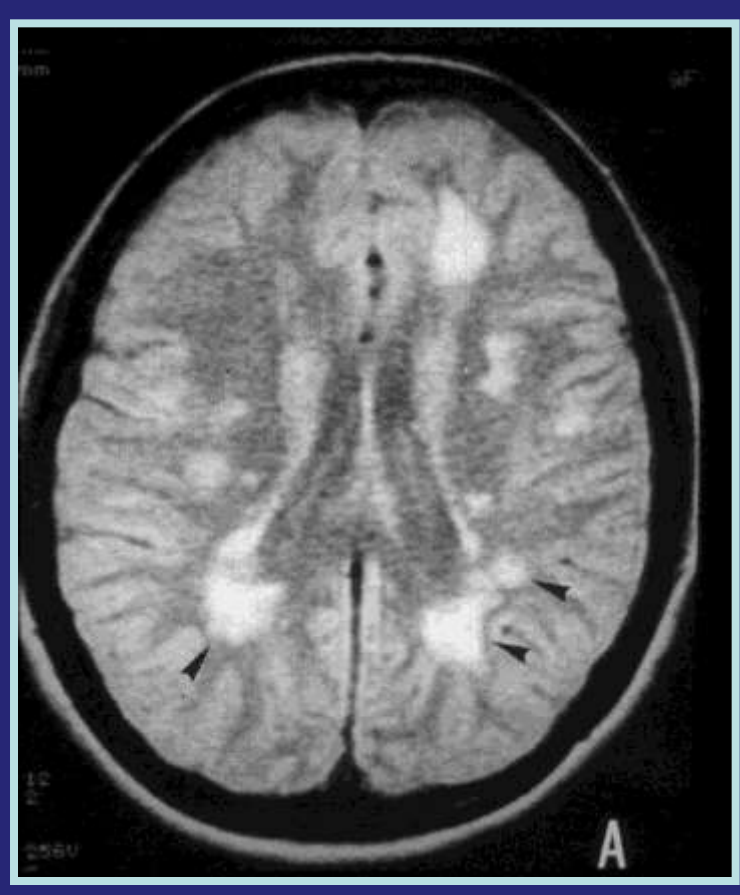


ES (pTR 2s)

ESR (pvrai TR 3,5-4s)

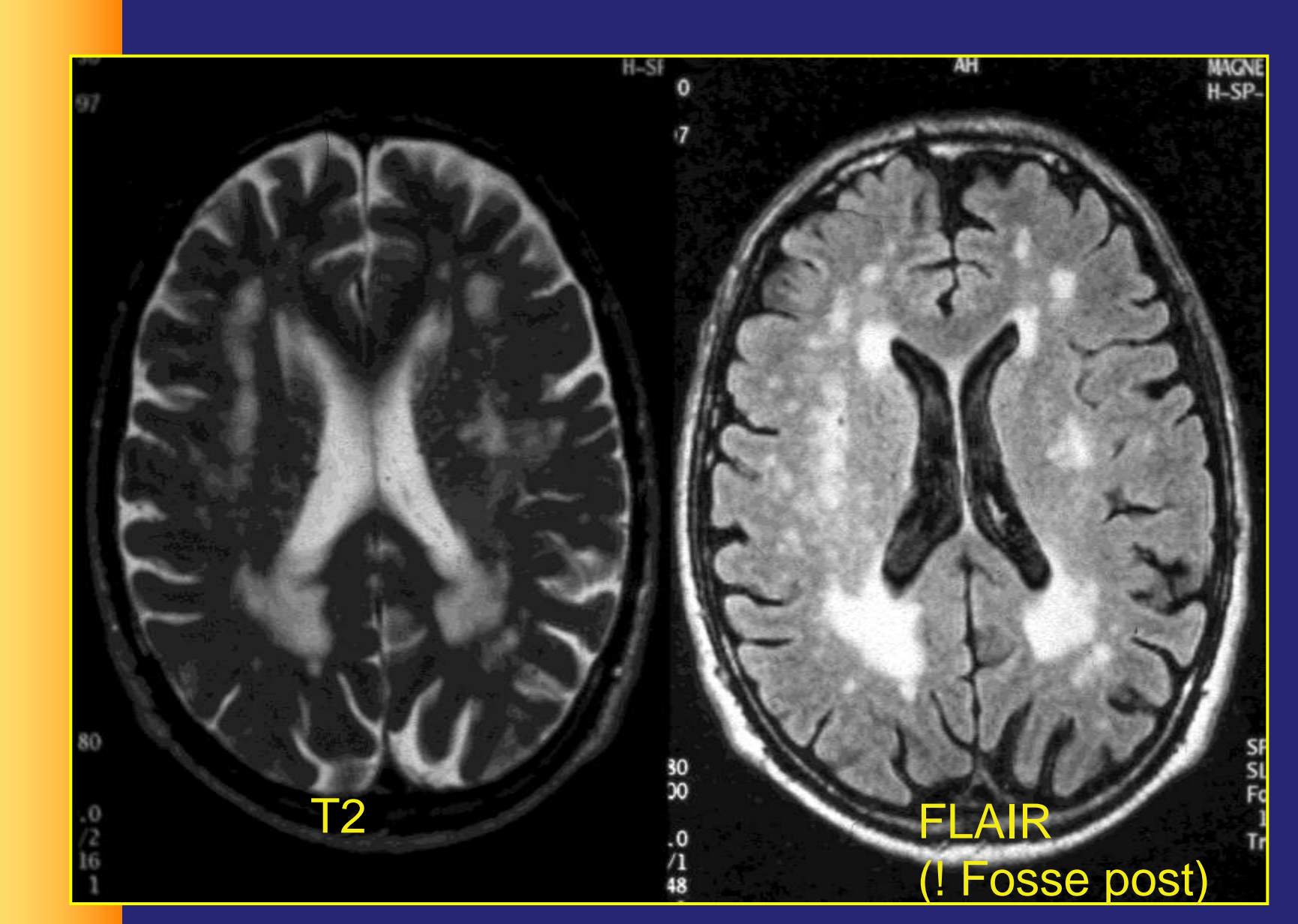
SEQUENCE rho HS périV.





FLAIR!

SEQUENCE FLAIR HS périV.

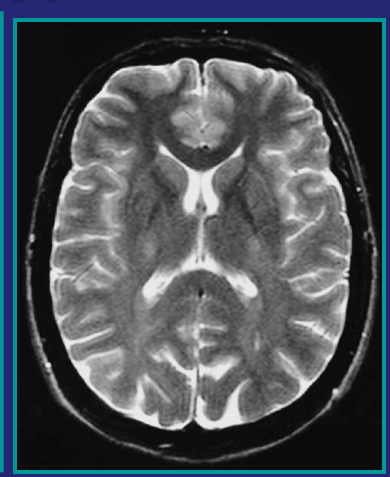


CONTRASTE EN IRM

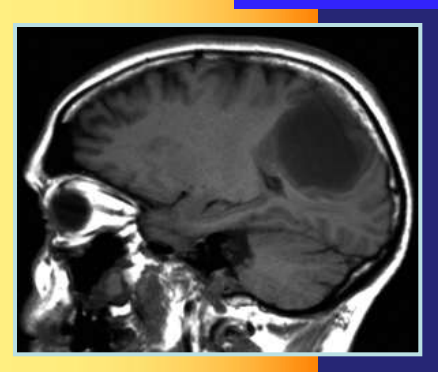




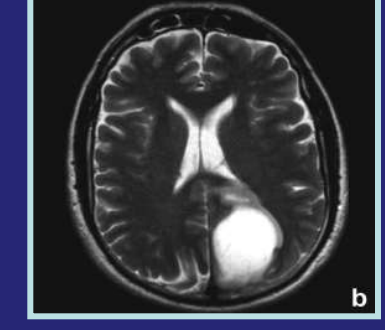


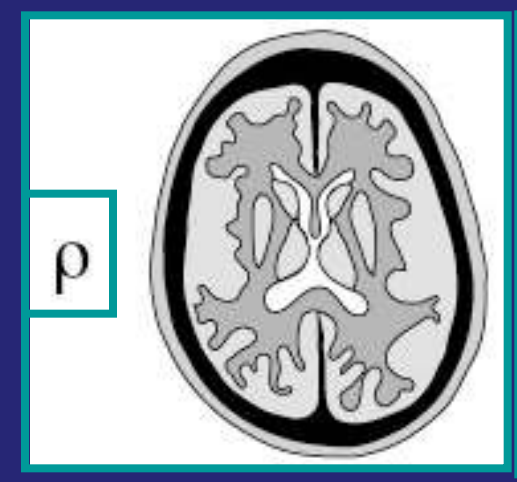


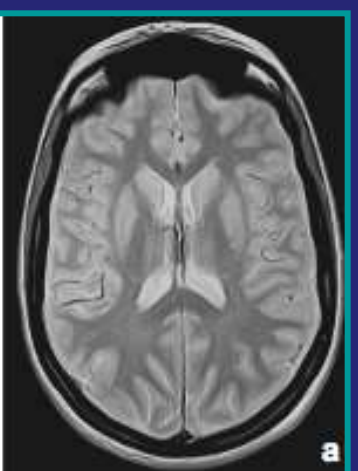
Anatomique



Inversé







Un peu d'histoire

Le magnétisme nucléaire

Action d'un champ magnétique

Le phénomène de résonance magnétique

La relaxation

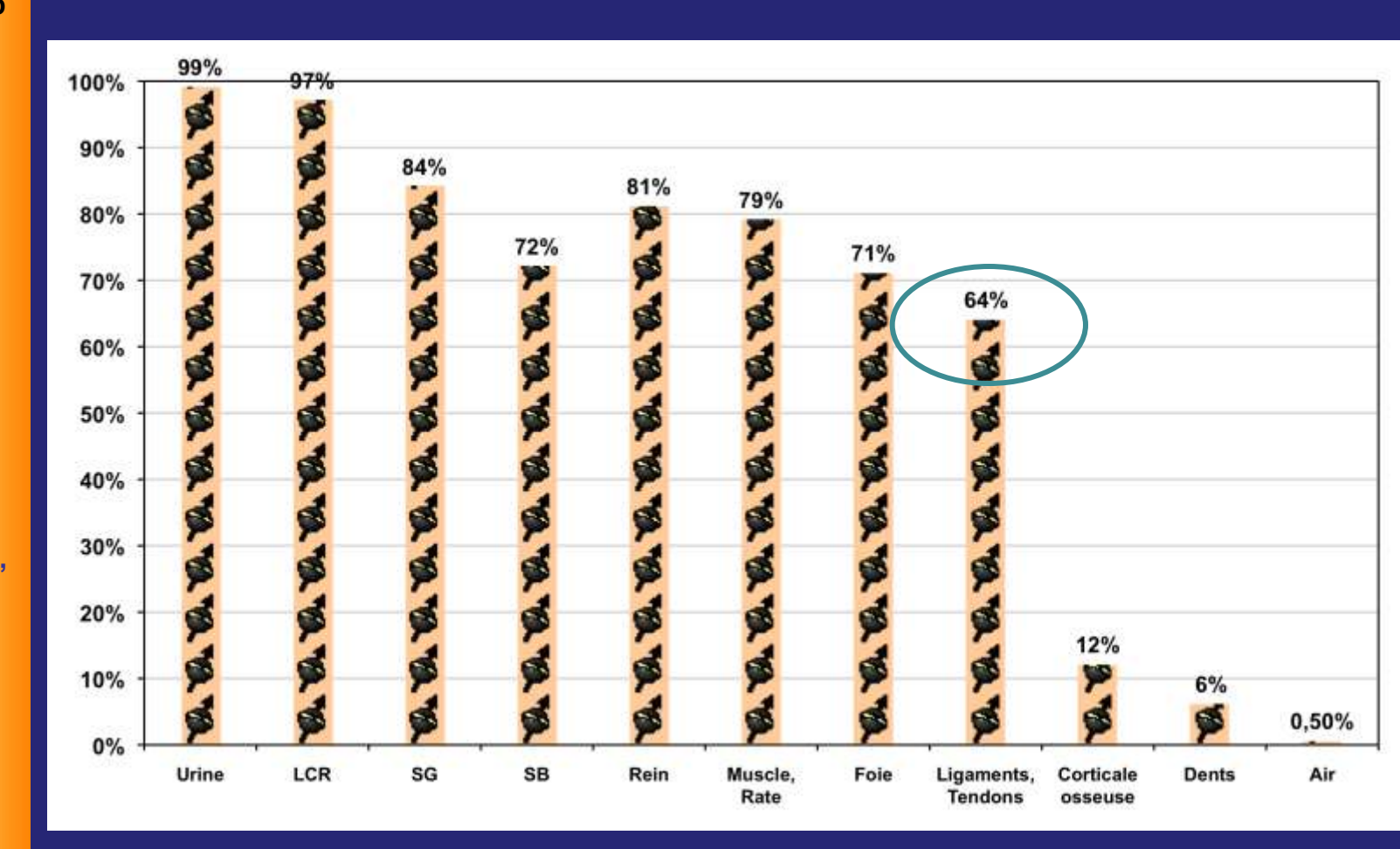
Le signal

Principe de l'écho de spin

Le contraste en T1, T2 et densité protonique

- Influence du TR
- Influence du TE
- Pondération en T1
- Pondération en p
- Pondération en T2

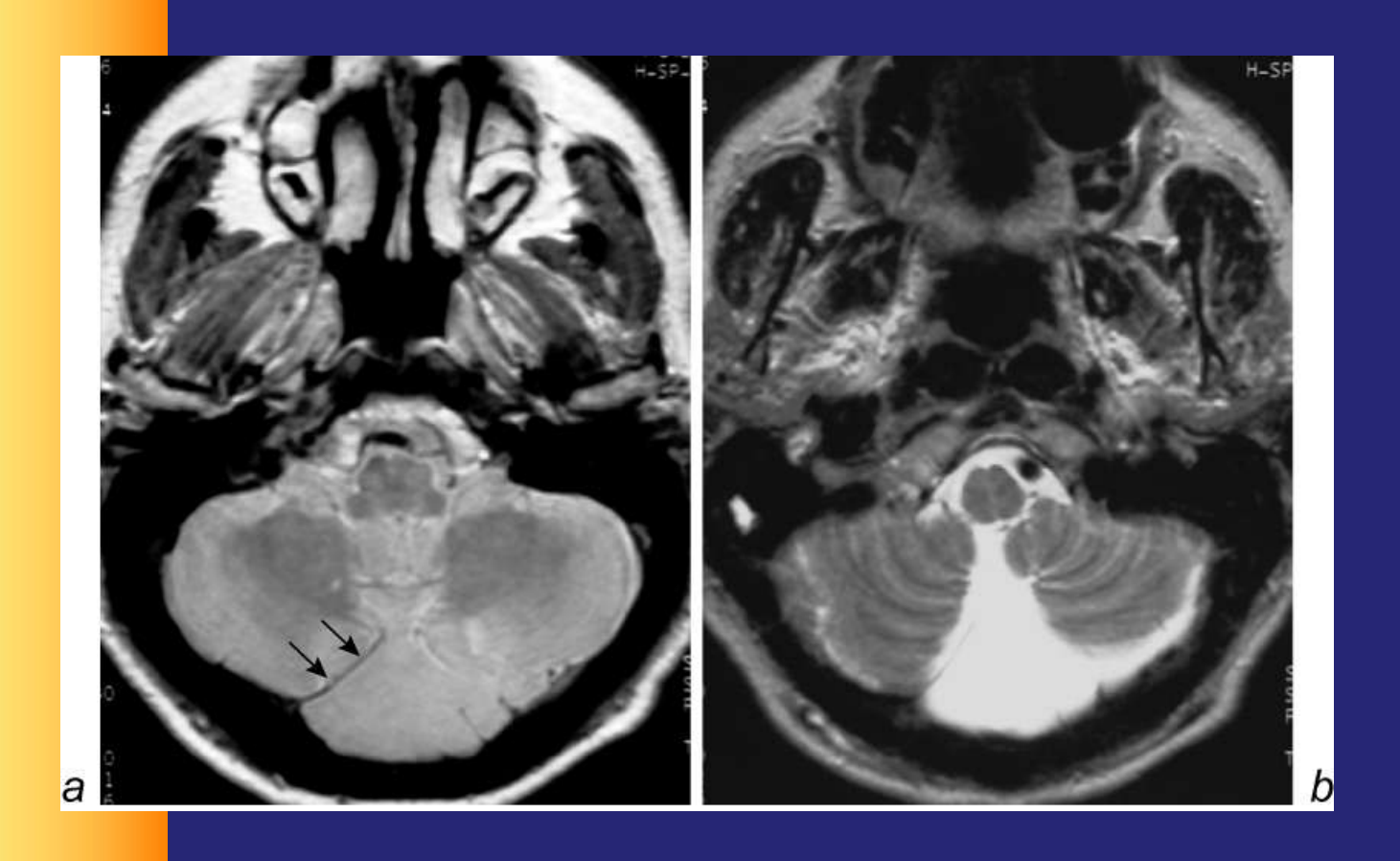
La teneur en eau de différents tissus biologiques permet d'évaluer leurs différences en densité de protons :



Tendons, ligament



dure-mère : kystes arachnoïdiens communiquants.



rho!

T₂!

Un peu d'histoire

Le magnétisme nucléaire

Action d'un champ magnétique

Le phénomène de résonance magnétique

La relaxation

Le signal

Principe de l'écho de spin

Le contraste en T1, T2 et densité protonique

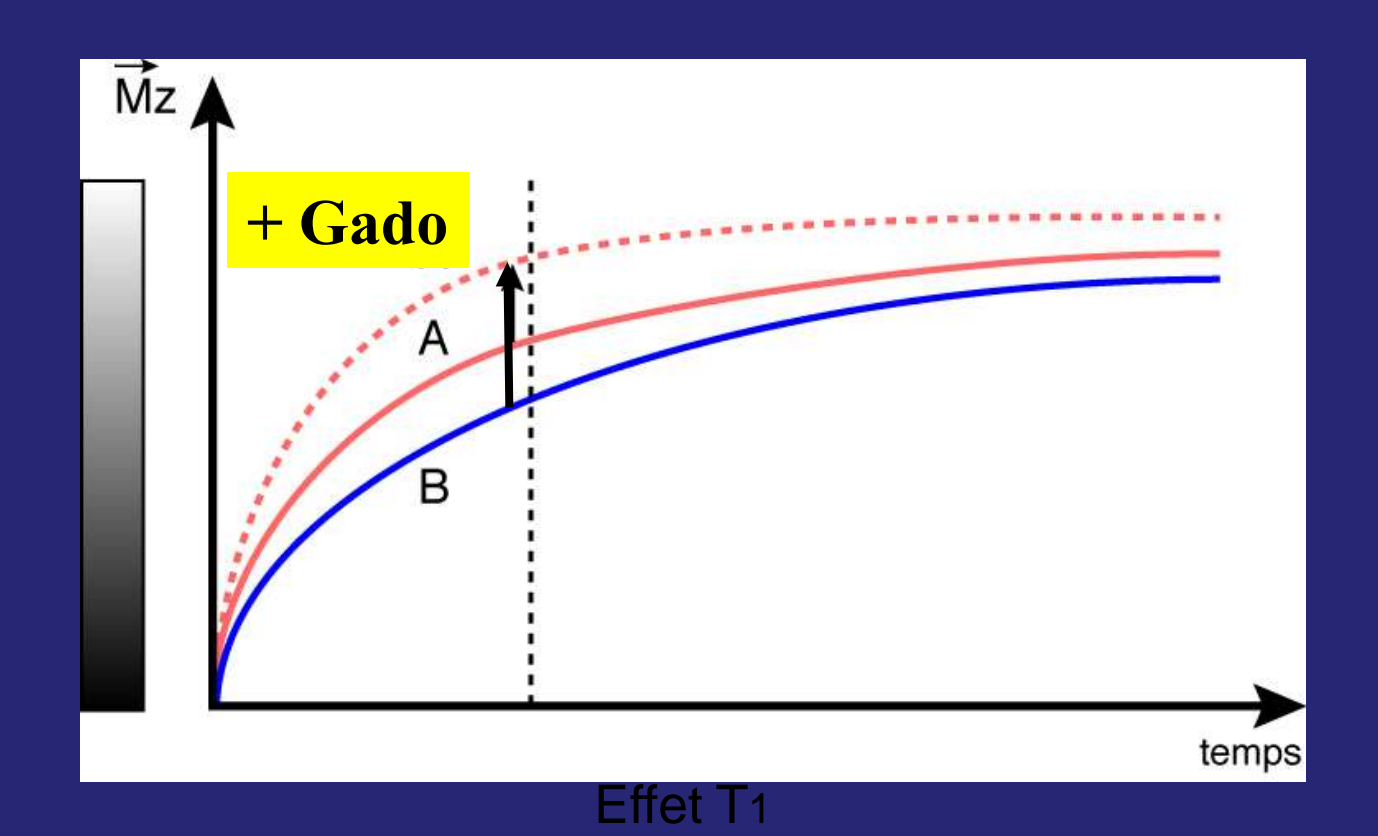
- Les produits de contraste

Mise en place des évènements d'une séquence

Produit de contraste: agents T1

Effet T1 (et T2)

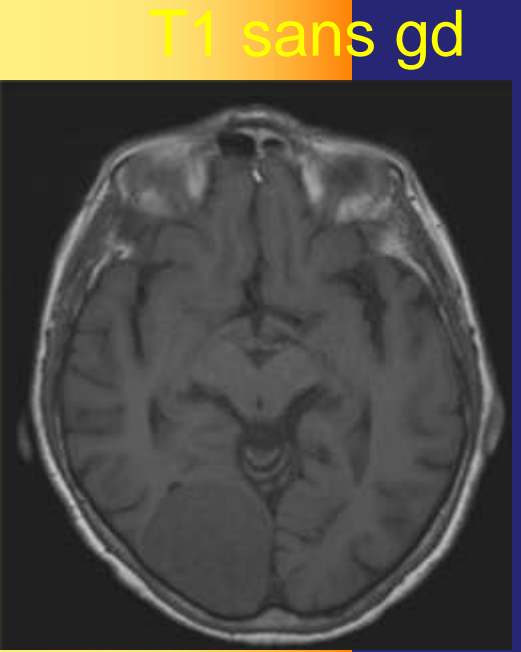
Les agents de contraste vont agir sur les temps de relaxation : ils raccourcissent le T1 et le T2.

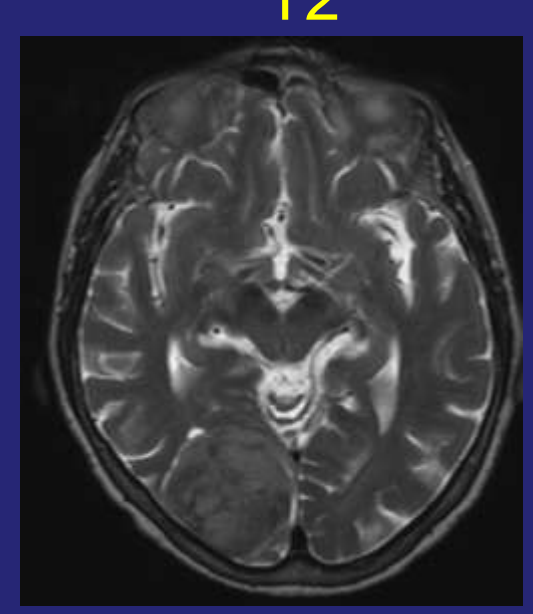




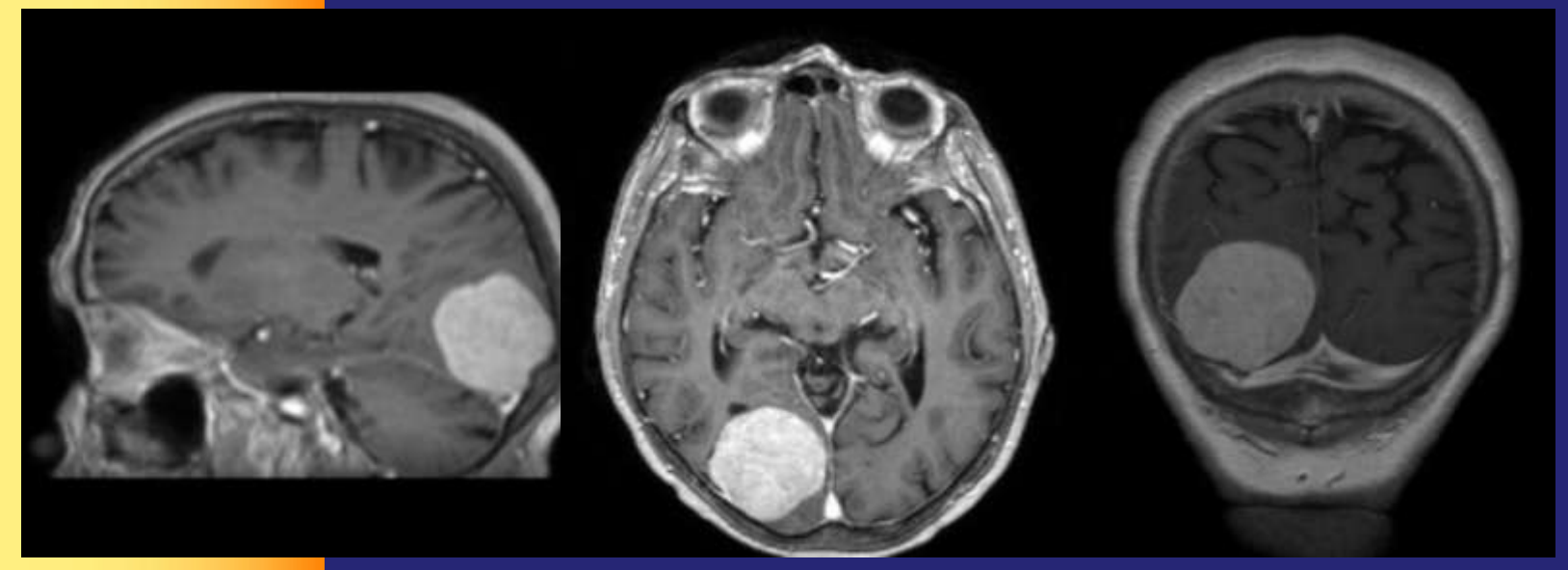


Troubles visuels d'apparition progressive T2

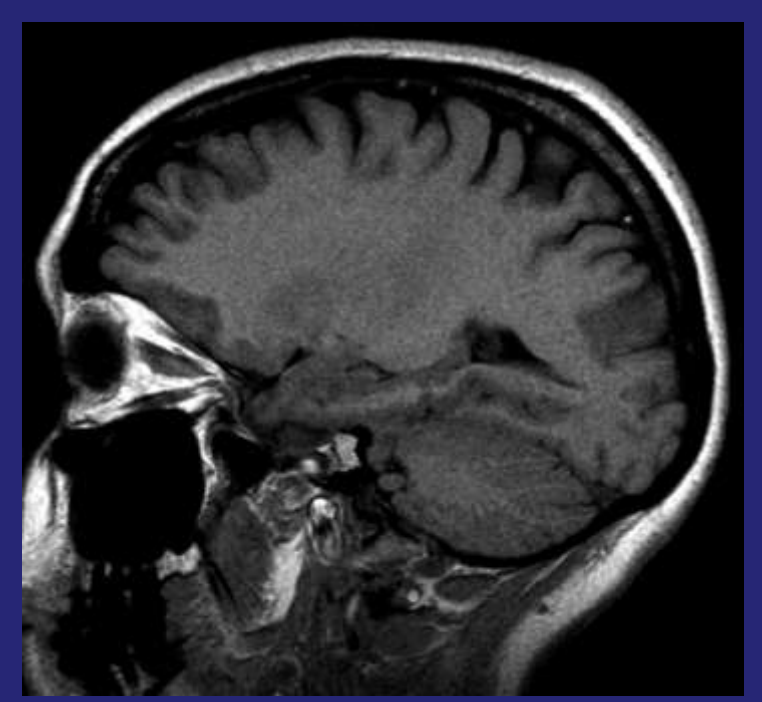


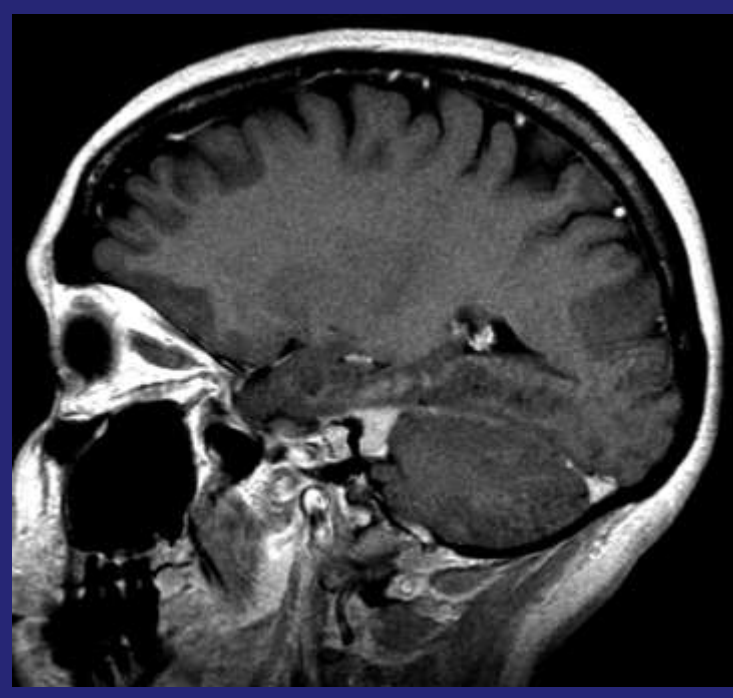


Méningiome Iso T1, Iso Hetérog. T2 Pdc GD +++ 3D EG



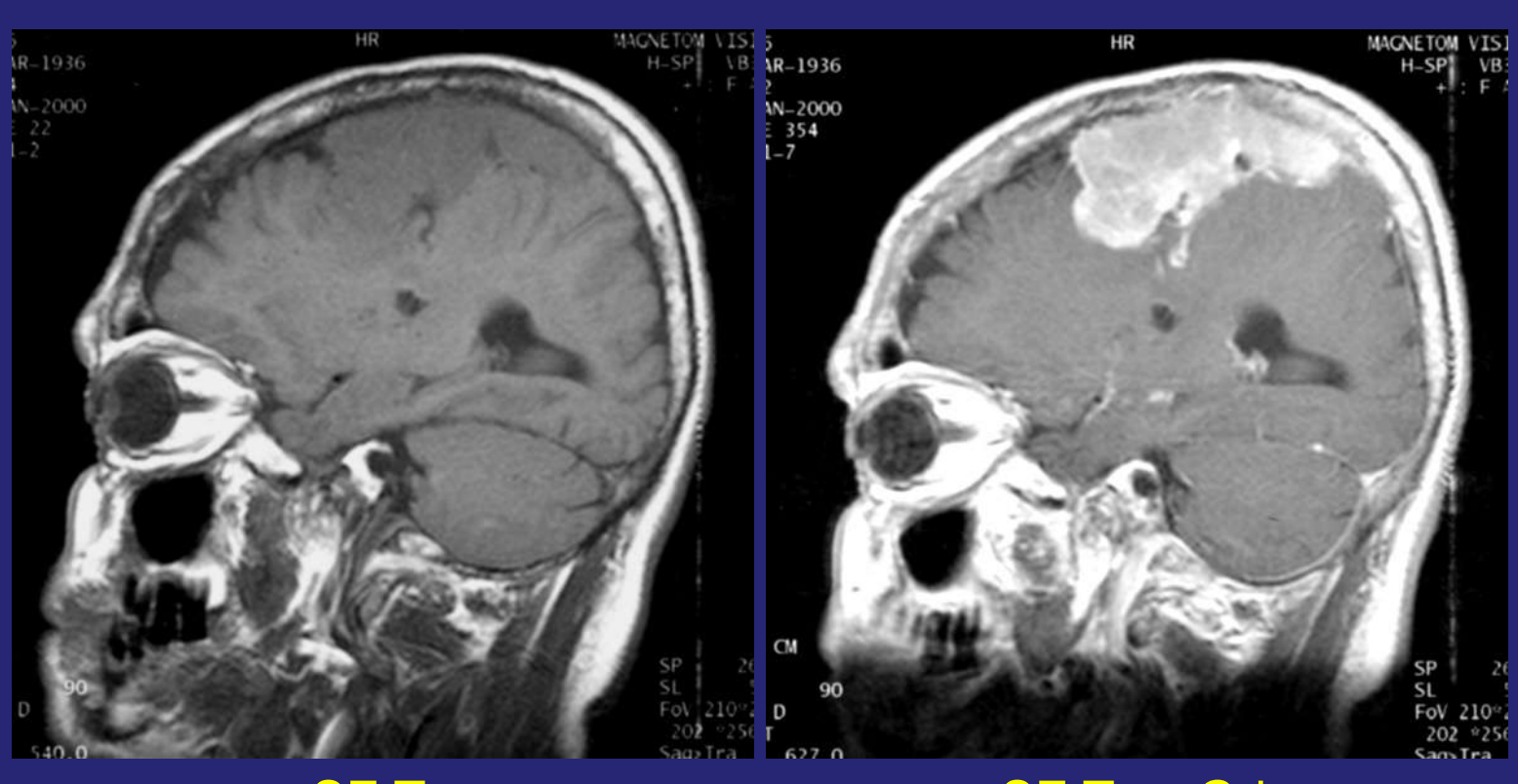
Méningiome de l'angle ponto-cérébelleux G





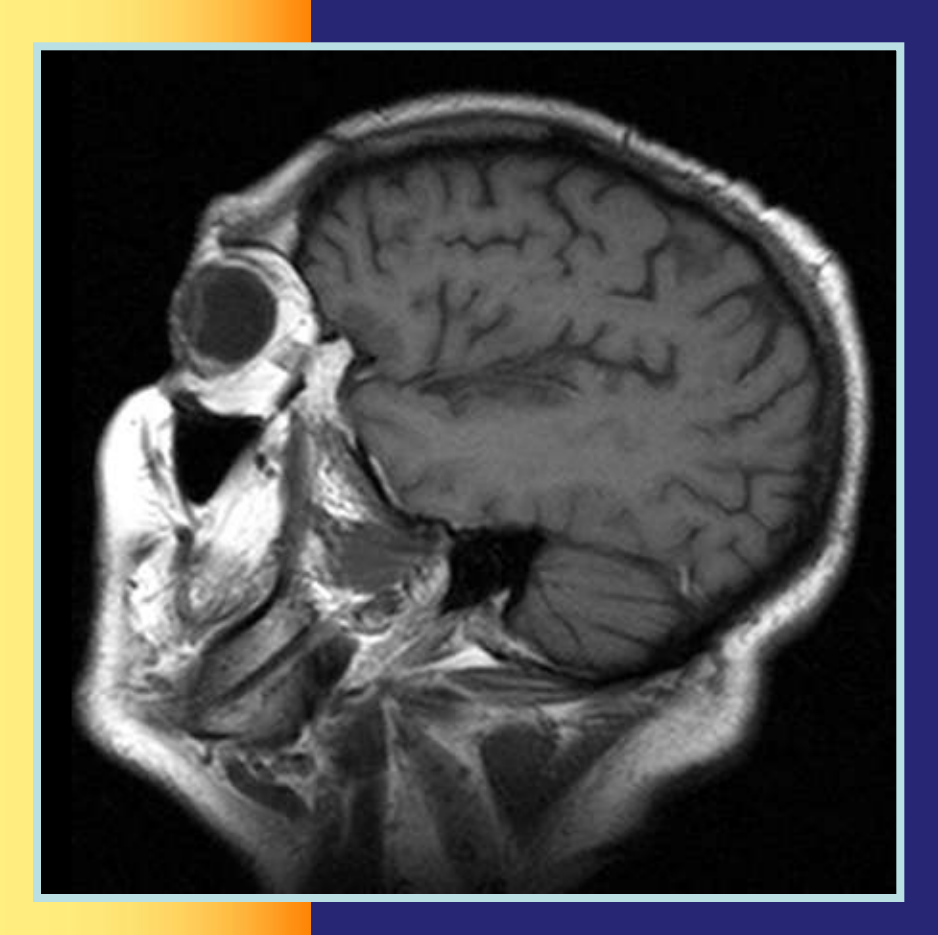
ESR T₁

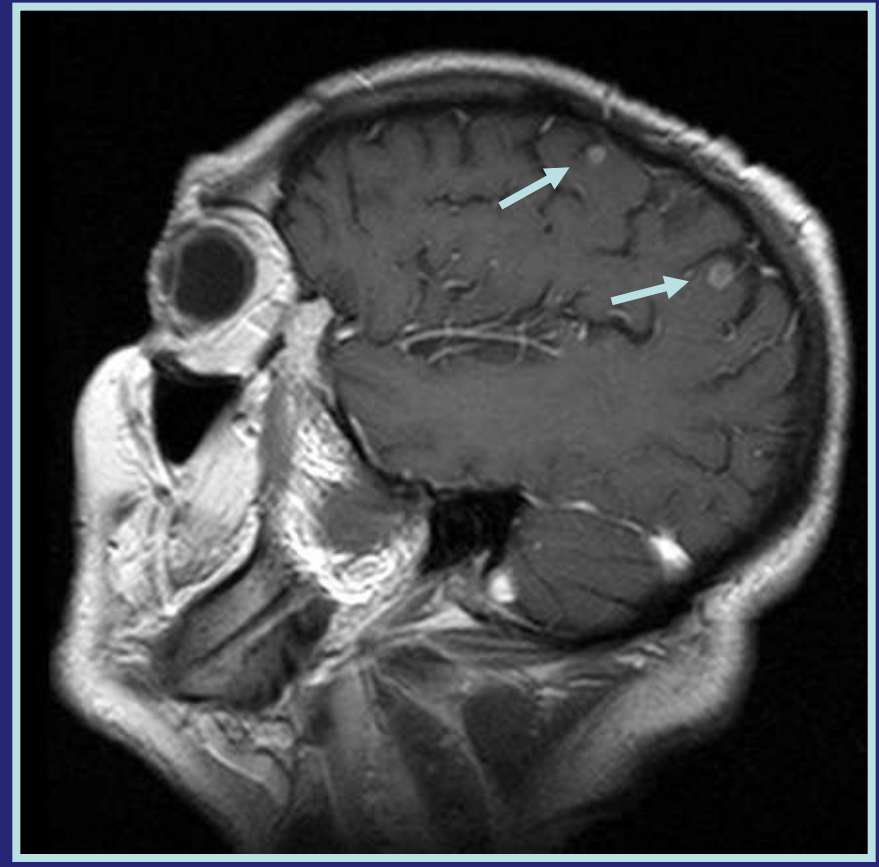
ESR T1 + Gd



SE T1 SE T1 + Gd

Néo poumon IRM bilan



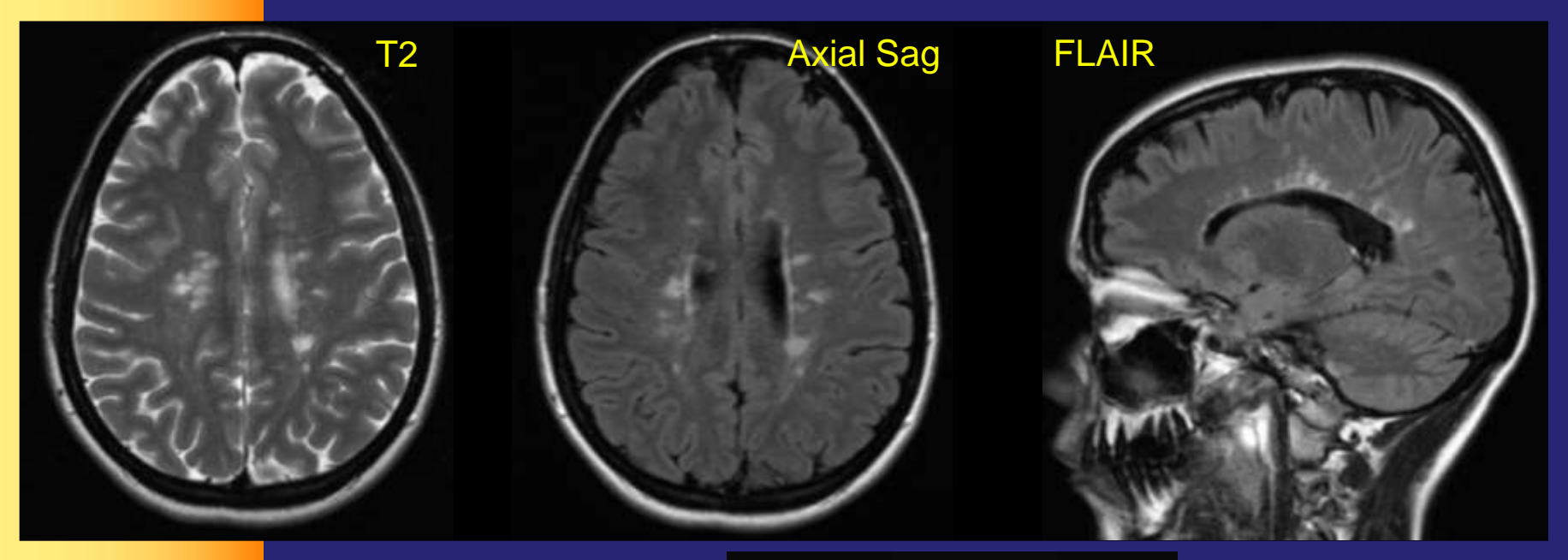


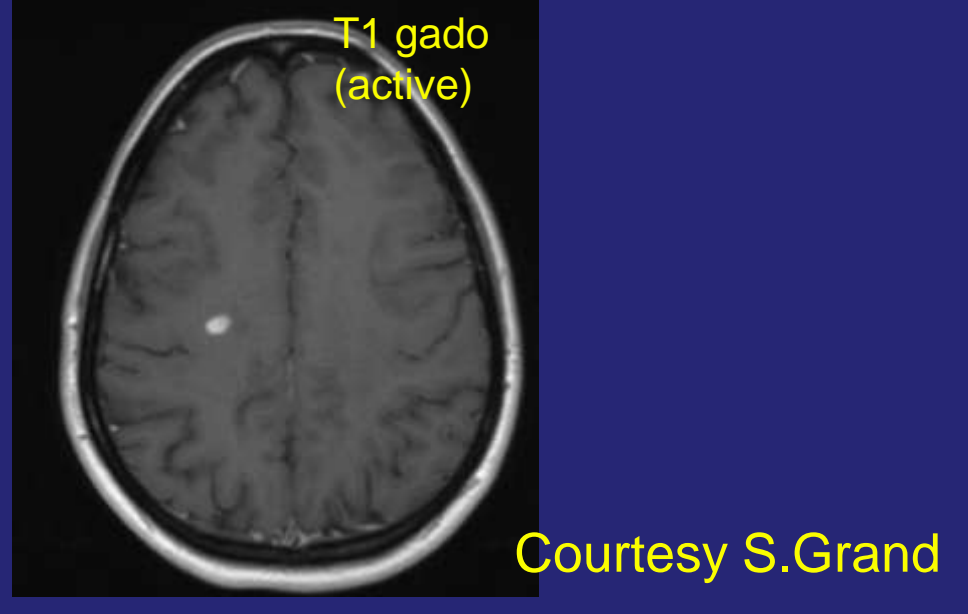




Gado

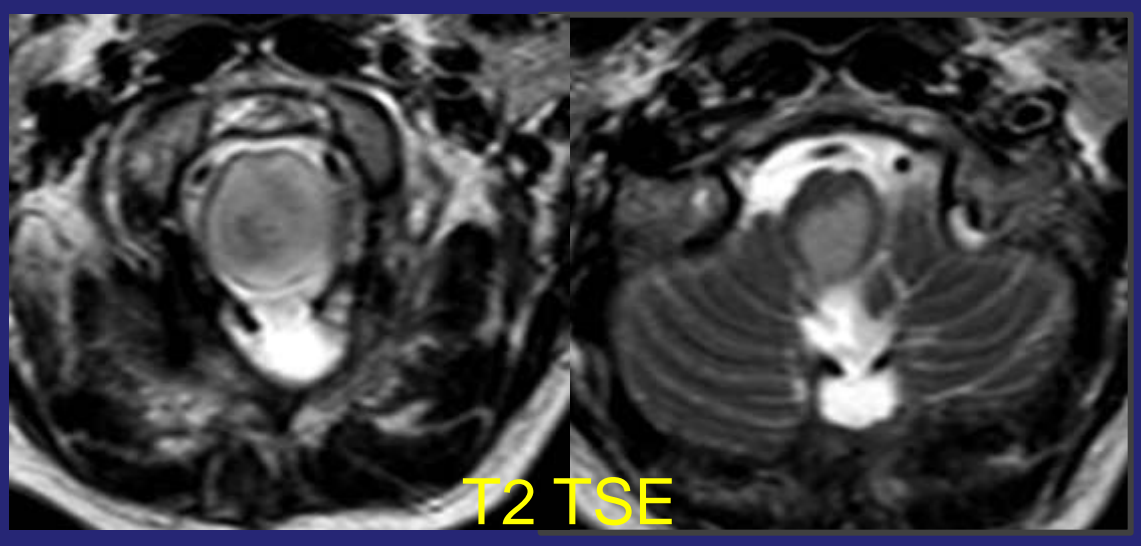
Femme de 40 ans, baisse de l'acuité visuelle



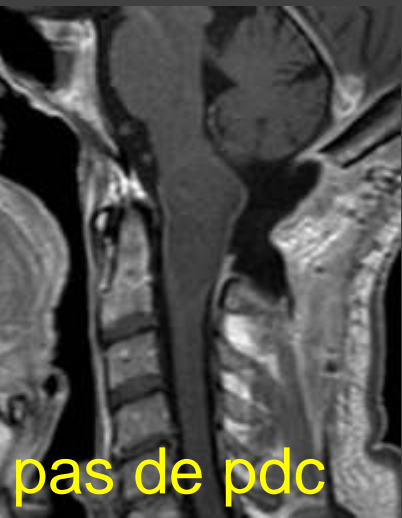


GLIOME bas grade









Patiente de 22 ans, découverte pour bilan d'épisodes cervicalgies, torticoli

Courtesy S GRAND



1995-2013